



รถหลบหลีกเลี่ยงสิ่งกีดขวางอัตโนมัติ
AUTOMATIC ESCHEWING CAR

โดย

นายเทพนิษฐ์ ยงเกียรติกานต์ 35104161

นายชัชชัย วิษณุโยธิน 35104184

นางสาวศิริพร นาคอุดม 35104418

อาจารย์ที่ปรึกษา

ดร. กิติพล ชิตสกุล

วัน เดือน ปี..... / ค.ศ. ๒๕๖๐
เลขทะเบียน..... ๐๓๗๑๐๓
เลขเรียกหนังสือ..... ร ๒๘๑๑๖: ๗๕๑๕ ๕

ปริญญานิพนธ์สำหรับปริญญาวิศวกรรมศาสตรบัณฑิต
สาขาวิชาอิเล็กทรอนิกส์
คณะวิศวกรรมศาสตร์
สถาบันเทคโนโลยีพระจอมเกล้าเจ้าคุณทหารลาดกระบัง
ปีการศึกษา ๒๕๓๘

ปริญญาานิพนธ์ปีการศึกษา 2538

ภาควิชา อิเล็กทรอนิกส์

คณะวิศวกรรมศาสตร์ สถาบันเทคโนโลยีพระจอมเกล้าเจ้าคุณทหารลาดกระบัง

เรื่อง รถหลบหลีกเลี่ยงกีดขวางอัตโนมัติ (Automatic Eschewing Car)

ผู้จัดทำ

1. นายเทพพนินธุ์ ยงเกียรติกานต์ เลขประจำตัว 35104161
2. นายธวัชชัย วิษณุโยธิน เลขประจำตัว 35104184
3. นางสาวศิริพร นาคอุดม เลขประจำตัว 35104418



เอกสารนี้เป็นเอกสารที่สงวนไว้สำหรับการใช้งานเพื่อการศึกษาเท่านั้น ไม่อนุญาตให้นำไปใช้ประโยชน์ด้านการค้า
ไม่ว่ากรณีใดๆ ทั้งสิ้น อีกทั้งห้ามมิให้ดัดแปลงเนื้อหา และต้องอ้างอิงถึงเจ้าของเอกสารทุกครั้งที่มีการนำไปใช้

รถหลบหลีกสิ่งกีดขวางอัตโนมัติ

เทพพนินิชฐ์ ขงเกียรติกานต์

ธวัชชัย วิชญ์โยธิน

ศิริพร นาคอุดม

คร. กิติพล ชิตสกุล อาจารย์ที่ปรึกษา

ปีการศึกษา 2538

บทคัดย่อ

ปริญญานิพนธ์ฉบับนี้ได้เสนอโครงการรถหลบหลีกสิ่งกีดขวางอัตโนมัติ ซึ่งเป็นการนำความรู้ 3 ส่วนมาประยุกต์ใช้ร่วมกันได้แก่ ความรู้เกี่ยวกับเซ็นเซอร์วัดระยะทางด้วยคลื่นอัลตราโซนิก ความรู้ทางการควบคุมความเร็วของมอเตอร์ และความรู้ทางด้านไมโครคอนโทรลเลอร์

รถหลบหลีกสิ่งกีดขวางอัตโนมัติ มีส่วนเซ็นเซอร์ที่ใช้อัลตราโซนิก ซึ่งสามารถตรวจจับตำแหน่งของวัตถุได้ในระยะ 1.2 เมตร ค่าระยะทางที่วัดได้จะอยู่ในรูปของข้อมูลทางดิจิทัลขนาด 8 บิต ข้อมูลนี้จะถูกส่งไปประมวลผลโดยไมโครคอนโทรลเลอร์ ทำให้รู้ตำแหน่งของวัตถุที่อยู่ทางด้านหน้าและด้านข้างของตัวรถ ไมโครคอนโทรลเลอร์จึงสามารถส่งสัญญาณไปควบคุมมอเตอร์เพื่อบังคับทิศทางการเคลื่อนที่ของรถให้วิ่งไปตรง ๆ เลี้ยวซ้าย หรือเลี้ยวขวา โดยไม่ชนกับวัตถุเหล่านั้น

AUTOMATIC ESCHEWING CAR

Thepkanith Yongkiatkant

Thawatchai Visanuyotin

Siriporn Narkudom

Kitipol Chitsakul Advisor

1995

ABSTRACT

This thesis presents the automatic eschewing car which is a project that associates with using ultrasound transducers as distance sensors, DC motor control system and knowledge of microcontroller.

Ultrasonic sensors of the automatic eschewing car can detect positions of objects in 1.2 m. range. The 8 bits digital data of distance is sent to process by microprocessor to achieve positions of objects at the front and the side of the car. So that , by control DC motor , the car can go streight on , turn left , or turn right to eschew objects .

สารบัญ

| | หน้า |
|---|------|
| บทที่ 1 บทนำ | 1 |
| บทที่ 2 ระบบขับเคลื่อน (Driver system) | 2 |
| 2.1 หลักการทำงานของ DC มอเตอร์ | 2 |
| 2.2 พัลส์วิดท์โมดูเลชันแอมพลิฟายเออร์ | 18 |
| 2.3 การใช้งาน D/A Converter (DAC) | 24 |
| 2.4 หลักการออกแบบและการสร้างระบบขับเคลื่อน | 26 |
| บทที่ 3 ระบบตรวจจับวัตถุและวัดระยะทาง | 29 |
| 3.1 ลักษณะการใช้งานทั่วไปของอัลตราโซนิกทรานสดิวเซอร์ | 30 |
| 3.2 การนำไปใช้ในวงจรวัดระยะทาง | 33 |
| บทที่ 4 ระบบไมโครคอนโทรลเลอร์ | 43 |
| 4.1 ไมโครคอนโทรลเลอร์ 8031 | 43 |
| 4.2 การใช้ 8255 กับ 8031 | 48 |
| 4.3 การใช้งาน DOT MATRIX LCD MODULE | 50 |
| 4.4 การออกแบบระบบไมโครคอนโทรลเลอร์ | 60 |
| บทที่ 5 โปรแกรมควบคุมการทำงาน | 63 |
| 5.1 โปรแกรมหลักควบคุมการทำงานของรถ | 63 |
| 5.2 โปรแกรมย่อยควบคุมให้รถวิ่งไปยังเป้าหมาย | 63 |
| 5.3 โปรแกรมย่อยควบคุมรถให้เคลื่อนที่ได้ตรงและวัดระยะทาง | 66 |
| 5.4 โปรแกรมย่อยควบคุมการเลี้ยว | 67 |
| 5.5 โปรแกรมย่อยควบคุมการตรวจจับระยะวัตถุ | 70 |
| บทที่ 6 การทดลองและสรุปผล | 72 |
| 6.1 การทดลองวงจรควบคุมความเร็วดีซีมอเตอร์ | 72 |
| 6.2 การทดลองโปรแกรมย่อยและวงจรวัดระยะทางโดยใช้อัลตราโซนิก | 74 |
| 6.3 การทดลองโปรแกรมย่อยให้รถเคลื่อนที่ได้ตรง | 76 |
| 6.4 การทดลองโปรแกรมย่อยในการวัดระยะทาง | 77 |
| 6.5 การทดลองโปรแกรมย่อยควบคุมการเลี้ยว | 78 |

เอกสารนี้เป็นเอกสารที่สงวนไว้สำหรับการใช้งานเพื่อการศึกษาเท่านั้น ไม่อนุญาตให้นำไปใช้ประโยชน์ด้านการค้า
ไม่ว่ากรณีใดๆ ทั้งสิ้น อีกทั้งห้ามมิให้ตัดแปลงเนื้อหา และต้องอ้างอิงถึงเจ้าของเอกสารทุกครั้งที่มีการนำไปใช้

6.6 การทดลองโปรแกรมหลักควบคุมการทำงาน

ภาคผนวก ก. รายละเอียดโปรแกรมทั้งหมด

ภาคผนวก ข. ข้อมูลการใช้งานไอซีที่สำคัญ

กิตติกรรมประกาศ

หนังสืออ้างอิง



สารบัญรูป

| | หน้า |
|---|------|
| รูป 1.1 บล็อกไดอะแกรมแสดงส่วนประกอบของรถหลบหลีกเลี่ยงกีดขวางอัตโนมัติ | 1 |
| รูป 2.1 แสดงถึงการเกิดแรงบิดในดีซีมอเตอร์ | 3 |
| รูป 2.2 ดีซีมอเตอร์แบบอาร์เมเจอร์ต่ออนุกรมกับขดลวดสนามแม่เหล็ก | 4 |
| รูป 2.3 คุณสมบัติระหว่างความเร็วและแรงบิดของดีซีมอเตอร์อนุกรมภายใต้สภาวะโวลต์เตจคงที่ | 4 |
| รูป 2.4 ดีซีมอเตอร์แบบปรับแยกสนามแม่เหล็กได้ | 5 |
| รูป 2.5 คุณสมบัติระหว่างความเร็วและแรงบิดของซันท์มอเตอร์ภายใต้สภาวะอาร์เมเจอร์โวลต์เตจคงที่และการกระตุ้นสนามแม่เหล็กคงที่ | 5 |
| รูป 2.6 ดีซีมอเตอร์แบบฟิลด์แม่เหล็กถาวร | 5 |
| รูป 2.7 แสดงรูปหน้าตัดของดีซีมอเตอร์แบบมีขดลวดบนพื้นผิวและฟิลด์เป็นแม่เหล็กถาวร | 7 |
| รูป 2.8 หน้าตัดของดีซีมอเตอร์แบบมีโรเตอร์เป็นขดลวดเคลื่อนที่และฟิลด์เป็นแม่เหล็กถาวร | 7 |
| รูป 2.9 รูปหน้าตัดซึ่งมองด้านข้างของดีซีมอเตอร์แบบมีโรเตอร์เป็นขดลวดเคลื่อนที่ | 8 |
| รูป 2.10 อาร์เมเจอร์แบบเป็นขดลวดเคลื่อนที่ซึ่งมีรูปร่างเป็นถ้วยทรงกระบอกและเพลอาแท่ที่ทำด้วยเซรามิกอลูมิเนียมเพื่อให้ทนต่อแรงดึงสูง | 8 |
| รูป 2.11 แสดงรูปร่างและโครงสร้างแม่เหล็กของมอเตอร์แบบขดลวดเคลื่อนที่ | 9 |
| รูป 2.12 แสดงถึงดีซีมอเตอร์แบบโรเตอร์เป็นขดลวดหมุนมีรูปร่างเป็นจาน | 9 |
| รูป 2.13 ดีซีมอเตอร์แบบโรเตอร์เป็นขดลวดหมุนชนิดที่ใช้ในงานอุตสาหกรรม | 10 |
| รูป 2.14 รูปหน้าตัดของดีซีมอเตอร์แบบไม่มีแปรงถ่านและโรเตอร์เป็นแม่เหล็กถาวร | 10 |
| รูป 2.15 ระบบเอนโค้ดเดอร์แบบโรตารี | 11 |
| รูป 2.16 อินคริเมนต์เอนโค้ดเดอร์แบบลิเนียร์ | 12 |
| รูป 2.17 ตัวอย่างกลไกของออปโตอินคริเมนต์ | 12 |
| รูป 2.18 แสดงถึงตัวเซ็นเซอร์แบบมีช่องเปิดให้แสงผ่านได้ช่องเดียวและแบบมีหลายช่อง | 13 |
| รูป 2.19 แสดงถึงผลของแสงที่เดินทางในแนวเดียวกันและแสงที่แตกกระจาย | 14 |
| รูป 2.20 ความสัมพันธ์ระหว่างความเป็นลิเนียร์กับความไม่ได้ศูนย์กลาง | 14 |

เอกสารนี้เป็นเอกสารที่สงวนไว้สำหรับการใช้งานเพื่อการศึกษาเท่านั้น ไม่อนุญาตให้นำไปใช้ประโยชน์ด้านการค้า

ไม่ว่ากรณีใดๆ ทั้งสิ้น อีกทั้งห้ามมิให้ดัดแปลงเนื้อหา และต้องอ้างอิงถึงเจ้าของเอกสารทุกครั้งที่มีการนำไปใช้

| | |
|---|----|
| รูป 2.21 (ก) ตัวอย่างลูกคลื่นเอาท์พุทที่เหลี่ยมของอุปกรณ์เอนโค้ดเดอร์ ช่องเดียว (ไบโคเรคชั่น) | |
| (ข) ตัวอย่างสัญญาณเอนโค้ดเดอร์ 2 ช่องมีมุมเฟสต่างกัน 90 องศา (สองทิศทาง) | 15 |
| รูป 2.22 ลักษณะการวางรูปของแมกนิตติคัพอิฟเอนโค้ดเดอร์ | 16 |
| รูป 2.23 โครงสร้างภายในของตัวแมกนิตติคัพอิฟ | 17 |
| รูป 2.24 ตัวอย่างของแมกนิตติคัพอิฟ | 17 |
| รูป 2.25 ตัวอย่างลูกคลื่นโวลต์เดจเอาท์พุทของแมกนิตติคัพอิฟเซ็นเซอร์ | 17 |
| รูป 2.26 ลูกคลื่นเอาท์พุทของตัวคัพอิฟความเร็วแบบแม่เหล็ก | 18 |
| รูป 2.27 แอมพลิฟายเออร์แบบ PWM และดีซีมอเตอร์ | 20 |
| รูป 2.28 ค่าเส้นโค้งของความเร็ว-แรงบิด | 21 |
| รูป 2.29 ลูกคลื่นของกระแสสามเหลี่ยม | 23 |
| รูป 2.30 วงจร Unipolar D/A | 24 |
| รูป 2.31 วงจร D/A แบบ Bipolar เอาท์พุทของวงจรสามารถ เปลี่ยนแปลงจากแรงดันลบจนถึงแรงดันบวกได้ | 25 |
| รูป 2.32 แสดงบล็อกไดอะแกรมของระบบขับเคลื่อน | 26 |
| รูป 2.33 วงจรควบคุมดีซีมอเตอร์ | 28 |
| รูป 3.1 (ก) โครงสร้างภายในตัวอุลตราโซนิคทรานสดิวเซอร์แบบเปียโซอิเล็กทริก ที่ใช้สารเซรามิก | |
| (ข) เมื่อป้อนแรงดันให้แก่ตัวมันจะทำให้ชั้นสารเซรามิกโค้งงอไปมาทำให้เกิดคลื่น เสียงอุลตราโซนิคกระจายไปในอากาศ | 31 |
| รูป 3.2 แสดงตัวอย่างการเขียนสัญลักษณ์ของอุลตราโซนิคทรานสดิวเซอร์แบบต่าง ๆ กัน | 32 |
| รูป 3.3 บล็อกไดอะแกรมการทำงานของระบบอุลตราโซนิค | 35 |
| รูป 3.4 วงจรวัฏระยะทางด้วยอุลตราโซนิคเซ็นเซอร์ | 36 |
| รูป 3.5 (ก) การส่งสัญญาณอินเทอร์รัปต์ให้ 8031 | 37 |
| (ข) แสดงการส่งข้อมูลระยะทาง 8 บิต เข้า 8031 | 37 |
| รูป 3.6 วงจรโมโนสเตเบิล | 38 |
| รูป 3.7 ไลน์มิ่งไดอะแกรมของสัญญาณควบคุมต่าง ๆ | 41 |

| | | |
|----------|--|----|
| รูป 4.1 | แผนภาพแสดงหน่วยทำงานพื้นฐานของ 8031 | 43 |
| รูป 4.2 | แสดงการกำหนดหน้าที่ขาสัญญาณของ ไอซี 8031 | 45 |
| รูป 4.3 | แสดงการจัดพื้นที่หน่วยความจำข้อมูลภายในเพื่อใช้งานเป็นรีจิสเตอร์ | 46 |
| รูป 4.4 | แสดงแผนผังวงจรภายในและการจัดขาของ ไอซี 8255 | 48 |
| รูป 4.5 | แสดงคำสั่ง CLEAR DISPLAY | 54 |
| รูป 4.6 | แสดงคำสั่ง RETURN HOME | 54 |
| รูป 4.7 | แสดงคำสั่ง ENTRY MODE SET | 54 |
| รูป 4.8 | แสดงคำสั่ง DISPLAY ON/OFF CONTROL | 55 |
| รูป 4.9 | แสดงคำสั่ง CURSOR OR DISPLAY SHIFT | 55 |
| รูป 4.10 | แสดงคำสั่ง FUNCTION SET | 56 |
| รูป 4.11 | แสดงคำสั่ง SET CG ADDRESS | 57 |
| รูป 4.12 | แสดงคำสั่ง SET DD RAM ADDRESS | 57 |
| รูป 4.13 | แสดงการจัดแอดเดรสของ DD RAM หน้าจอ LCD | 58 |
| รูป 4.14 | แสดงคำสั่ง READ BUSRY FLAG AND ADDRESS | 58 |
| รูป 4.15 | แสดงคำสั่ง WRITE DATA TO CG DD หรือ RAM | 59 |
| รูป 4.16 | แสดงคำสั่ง READ DATA FROM CG OR DD RAM | 59 |
| รูป 4.17 | ระบบไมโครคอนโทรลเลอร์ของรถหลบหลีกสิ่งกีดขวางอัตโนมัติ | 62 |
| รูป 5.1 | แผนภาพการไหลของโปรแกรมหลักควบคุมการทำงานของรถ | 64 |
| รูป 5.2 | แผนภาพการไหลของโปรแกรมย่อยควบคุมให้รถวิ่งไปยังเป้าหมาย | 65 |
| รูป 5.3 | แผนภาพการไหลของโปรแกรมย่อยควบคุมให้รถเคลื่อนที่ได้ตรงและวัดระยะทาง | 68 |
| รูป 5.4 | แผนภาพการไหลของโปรแกรมย่อยควบคุมการเลี้ยวซ้าย | 69 |
| รูป 5.5 | แผนภาพการไหลของโปรแกรมย่อยควบคุมการตรวจจับระยะวัตถุ | 71 |
| รูป 6.1 | กราฟแสดงความสัมพันธ์ระหว่าง Duty cycle (%) และ Speed (rpm) ที่ได้จากการทดลอง | 73 |

สารบัญตาราง

| | หน้า |
|---|------|
| ตาราง 4.1 แสดงการกำหนดการรับเขียนอ่านข้อมูล | 51 |
| ตาราง 4.2 แสดงขาต่าง ๆ ในการต่อใช้งาน LCD | 52 |
| ตาราง 4.3 แสดงคำสั่ง DH44780 | 53 |
| ตาราง 4.4 แสดงการกำหนดบิตต่าง ๆ ในการกำหนดแบบตัวอักษร | 56 |
| ตาราง 6.1 ผลการทดลองวงจรควบคุมความเร็วดีซีมอเตอร์ | 73 |
| ตาราง 6.2 ผลการทดลองโปรแกรมและวงจรวัฏระยะทางโดยใช้อัลตราโซนิก | 75 |
| ตาราง 6.3 ผลการทดลองโปรแกรมช่วยให้รถเคลื่อนที่ได้ตรง | 76 |
| ตาราง 6.4 ผลการทดลองโปรแกรมช่วยในการวัฏระยะทาง | 77 |
| ตาราง 6.5 ผลการทดลองโปรแกรมช่วยควบคุมการเลี้ยว | 78 |
| ตาราง 6.6 แสดงผลการทดลองโปรแกรมหลักเมื่อไม่คำนึงถึงชุดเซ็นเซอร์ | 79 |

บทที่ 1

บทนำ

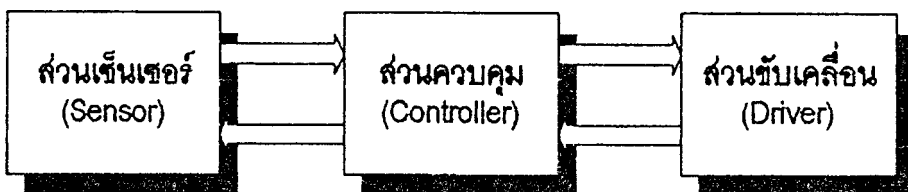
ปัจจุบันนี้มีการนำเอาหุ่นยนต์(Robot) มาใช้งานแทนมนุษย์ และอำนวยความสะดวกต่าง ๆ อย่างกว้างขวาง หุ่นยนต์เหล่านี้มีอยู่หลายรูปแบบแล้วแต่ลักษณะการใช้งาน เช่น แขนกล จะทำหน้าที่เสมือนเป็นมือของมนุษย์ สามารถหยิบ จับ ยก สิ่งของต่าง ๆ ได้ หุ่นยนต์เตะฟุตบอล สามารถใช้เล่นฟุตบอลได้เหมือนมนุษย์ เป็นต้น

รถหลบหลีกสิ่งกีดขวางอัตโนมัติ ถือว่าเป็นหุ่นยนต์รูปแบบหนึ่งซึ่งสามารถกำหนดจุดหมายปลายทางให้รถวิ่งไปได้ โดยไม่ชนกับวัตถุสิ่งของใด ๆ ที่กีดขวางการเคลื่อนที่ของรถ ซึ่งโครงงานนี้เป็นเพียงแบบจำลองยังไม่สามารถนำไปใช้งานได้จริง แต่สามารถนำเอาแนวคิดไปประยุกต์ใช้กับหุ่นยนต์ที่มีขนาดใหญ่กว่านี้ เพื่อให้ใช้งานได้จริง เช่น ทำเป็นหุ่นยนต์ส่งของ เครื่องดูดฝุ่นอัตโนมัติ หรืออื่น ๆ แล้วแต่ว่าจะเอาไปใช้งานอย่างไร

รถหลบหลีกสิ่งกีดขวางอัตโนมัติ ประกอบด้วย 3 ส่วนใหญ่ ๆ ได้แก่

1. ส่วนขับเคลื่อน (Driver)
2. ส่วนเซ็นเซอร์ (Sensor)
3. ส่วนควบคุม (Controller)

ทั้ง 3 ส่วน จะประกอบกันดังบล็อกไดอะแกรมรูป 1.1 โดยใช้โปรแกรมภาษาแอสเซมบลีควบคุมการทำงาน รายละเอียดของแต่ละส่วน พร้อมทั้งโปรแกรมควบคุมการทำงาน จะกล่าวถึงในบทต่อไป



รูป 1.1 บล็อกไดอะแกรมแสดงส่วนประกอบของรถหลบหลีกสิ่งกีดขวางอัตโนมัติ

เอกสารนี้เป็นเอกสารที่สงวนไว้สำหรับการใช้งานเพื่อการศึกษาเท่านั้น ไม่อนุญาตให้นำไปใช้ประโยชน์ด้านการค้า ไม่ว่าจะกรณีใดๆ ทั้งสิ้น อีกทั้งห้ามมิให้ดัดแปลงเนื้อหา และต้องอ้างอิงถึงเจ้าของเอกสารทุกครั้งที่มีการนำไปใช้

บทที่ 2

ระบบขับเคลื่อน (Driver system)

ระบบขับเคลื่อนของรถหลายหลักสิ่งก็คขวางอัตโนมัติจะใช้ดีซีมอเตอร์ (DC Motor) ซึ่งจะต้องมีการควบคุมการทำงาน ควบคุมความเร็วและทิศทางการหมุน ทั้งยังต้องมีชุดเซ็นเซอร์ตรวจับการทำงานแล้วป้อนกลับไปสู่ส่วนประมวลผลกลางอีกด้วย ดังนั้นในการออกแบบระบบขับเคลื่อนจึงต้องอาศัยหลักการต่าง ๆ ดังต่อไปนี้

2.1 หลักการทำงานของดีซีมอเตอร์[3]

ดีซีมอเตอร์เป็นทรานสดิวเซอร์แรงบิด มีการออกแบบให้มีคุณลักษณะพิเศษคือแรงบิดของเพลลาของดีซีมอเตอร์จะเป็นสัดส่วนโดยตรงกับกระแสอาร์เมเจอร์ แรงบิดของเพลลาของดีซีมอเตอร์จะ ได้จากผลระหว่างสนามแม่เหล็กและขลวดคตัวนำ หลักการนี้แสดงได้ในรูป 2.1 ในที่นี้กระแสที่ไหลในขลวดคตัวนำจะสร้างฟิลด์ที่ประกอบด้วยเส้นแรงแม่เหล็ก ϕ และขลวดคตัวนำเหล่านั้นอยู่ห่างจากศูนย์กลางการหมุนเท่ากับ r ความสัมพันธ์ระหว่างแรงบิดของเพลลาและกระแสเท่ากับ

$$T = K\phi I \quad (2.1)$$

เมื่อ T คือแรงบิดของเพลลา มีหน่วยเป็น นิวตัน-เมตร (N-m)

ϕ คือเส้นแรงแม่เหล็กมีหน่วยเป็น เวเบอร์ (Weber)

I คือกระแสเป็น แอมแปร์ (A)

K คือค่าคงที่

ดังนั้น แรงบิดของเพลลาเป็นสัดส่วนโดยตรงกับผลคูณของเส้นแรงแม่เหล็กและกระแส เมื่อขลวดคตัวนำเคลื่อนที่ในสนามแม่เหล็กก็จะทำให้เกิดโวลต์แดงตกคร่อมตัวมันเอง โวลต์แดงนี้จะเป็นสัดส่วนกับความเร็วของมอเตอร์ และด้านการไหลของกระแส ความสัมพันธ์ระหว่างโวลต์แดงย้อนกลับนี้และความเร็วของเพลลามอเตอร์คือ

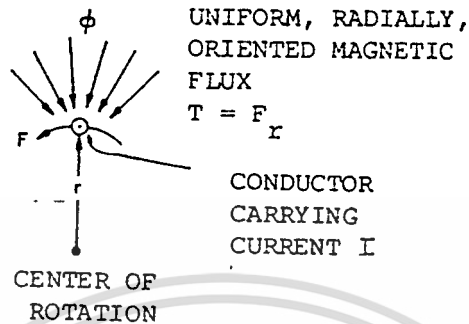
$$E = K\phi\omega \quad (2.2)$$

เมื่อ E คือ โวลต์แดงย้อนกลับ (back emf) มีหน่วยเป็น โวลต์ (V)

ϕ คือ เส้นแรงแม่เหล็กมีหน่วยเป็น เวเบอร์

ω คือ ความเร็วของมอเตอร์มีหน่วยเป็น เรเดียน/วินาที (rad/s)

เอกสารนี้เป็นเอกสารที่สงวนลิขสิทธิ์ 2.1 และ 2.2 เป็นสมการที่แสดงหลักการทำงานพื้นฐานของดีซีมอเตอร์ การค้าไม่ว่ากรณีใดๆ ทั้งสิ้น อีกทั้งห้ามมิให้ตัดแปลงเนื้อหา และต้องอ้างอิงถึงเจ้าของเอกสารทุกครั้งที่มีการนำไปใช้



รูป 2.1 แสดงถึงการเกิดแรงบิดในคีมอเตอร์

2.1.1 การแยกประเภทของคีมอเตอร์

คีมอเตอร์สามารถแบ่งออกได้เป็นหลายประเภท ขึ้นอยู่กับลักษณะและวิธีการ
สร้างสนามแม่เหล็กของคีมอเตอร์ และขึ้นอยู่กับพื้นฐานการออกแบบโครงสร้างของอาร์เมเจอร์
(Armature) การแบ่งประเภทตามลักษณะการจ่ายสนามแม่เหล็กแยกออกได้เป็น 2 แบบ คือ

- คีมอเตอร์แบบปรับเส้นแรงแม่เหล็กได้
- คีมอเตอร์แบบเส้นแรงแม่เหล็กมีค่าคงที่

ถ้าเราจะพิจารณาแยกประเภทตามลักษณะการออกแบบ โครงสร้างอาร์เมเจอร์
สามารถแยกออกได้เป็น 3 แบบ คือ

- คีมอเตอร์แบบอาร์เมเจอร์เป็นแกนเหล็ก
- คีมอเตอร์แบบอาร์เมเจอร์ที่มีขดลวดพันอยู่บนพื้นผิว
- คีมอเตอร์แบบอาร์เมเจอร์เป็นขดลวดหมุน

นอกจากนี้ยังมีคีมอเตอร์ชนิดพิเศษอีกแบบหนึ่ง คือ แบบ ไม่มีแปรงถ่าน
(brushless dc motor) ซึ่งมีหลักการทางเทคโนโลยีเหมือนกับคีมอเตอร์ชนิดแปรงถ่าน ยกเว้น
การคอมมิวเตชันกระทำโดยเทคนิคทางอิเล็กทรอนิกส์แทนที่จะกระทำโดยวิธีทางเชิงกล

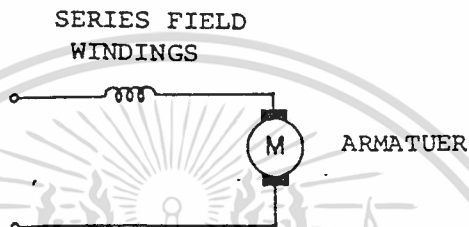
1) คีมอเตอร์แบบปรับเส้นแรงแม่เหล็กได้

คีมอเตอร์แบบปรับเส้นแรงแม่เหล็กได้ ยังแบ่งแยกได้เป็น 2 แบบ คือ

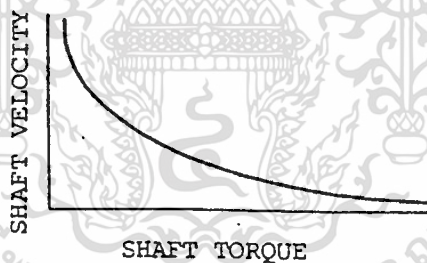
ก. แบบขดลวดสนามแม่เหล็กค่อนุกรมกับขดลวดอาร์เมเจอร์

ข. แบบขดลวดสนามแม่เหล็กแยกกระตุ้น

ตัวอย่างของมอเตอร์แบบขดลวดสนามแม่เหล็กต่ออนุกรม แสดงดังในรูป 2.2 มอเตอร์แบบนี้จะมีเส้นแรงแม่เหล็กเป็นสัดส่วนกับกระแส ดังนั้นเส้นแรงของสนามแม่เหล็กจึงสามารถปรับค่าได้ จะได้ความสัมพันธ์ระหว่างความเร็วและแรงบิดเป็นนอนลิเนียร์ (Non-linear) ดังในรูป 2.3 มอเตอร์ต่อดังกล่าวจะใช้งานในภาวะเฉพาะเมื่อต้องแรงบิดสูงที่ความเร็วต่ำ และแรงบิดต่ำที่ความเร็วสูง เช่นระบบการขับเคลื่อนของรถลาก

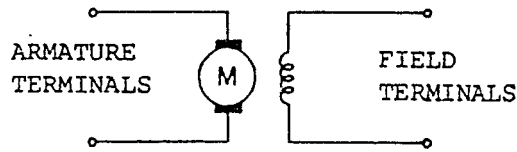


รูป 2.2 คิวซีมอเตอร์แบบอาร์เมเจอร์ต่ออนุกรมกับขดลวดสนามแม่เหล็ก

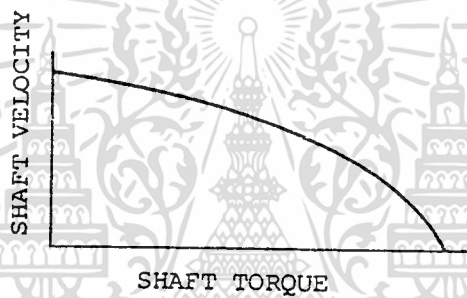


รูป 2.3 คุณสมบัติระหว่างความเร็วและแรงบิดของคิวซีมอเตอร์อนุกรม ภายใต้สภาวะโวลต์เดจคงที่

คิวซีมอเตอร์แบบขดลวดสนามแม่เหล็กกระตุ้น นิยมเรียกกันว่า ชันท์มอเตอร์ (shunt motor) มอเตอร์แบบนี้สามารถปรับเส้นแรงแม่เหล็กได้อย่างอิสระต่อกระแสของอาร์เมเจอร์ ยังผลให้สามารถควบคุมพารามิเตอร์ของมอเตอร์ให้มีค่าคงที่ได้ตลอดช่วงพิสัยที่กว้าง มักจะใช้งานในกรณีระบบบังคับการเคลื่อนที่ต้องการแรงบิดสูง แสดงตัวอย่างของมอเตอร์แบบนี้ได้ดังรูป 2.4 คุณสมบัติระหว่างแรงบิดกับความเร็วของชันท์มอเตอร์ภายใต้ภาวะการกระตุ้นสนามแม่เหล็กคงที่และอาร์เมเจอร์โวลต์เดจคงที่ แสดงได้ดังรูป 2.5



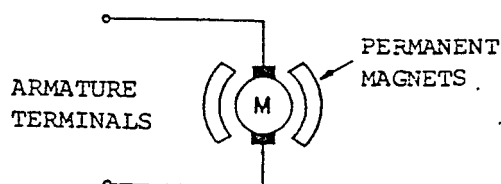
รูป 2.4 คีซีมอเตอร์แบบแยกปรับสนามแม่เหล็กได้



รูป 2.5 แสดงคุณสมบัติระหว่างความเร็วและแรงบิดของขั้วที่มอเตอร์ภายใต้ภาวะอาร์เมเจอร์โวลต์เตจคงที่และการกระตุ้นสนามแม่เหล็กคงที่

2) คีซีมอเตอร์แบบเส้นแรงแม่เหล็กคงที่

ระบบการกระตุ้นฟิลด์ของมอเตอร์โดยทั่วไปในปัจจุบัน มักจะใช้เป็นแบบแม่เหล็กถาวร แสดงดังในรูป 2.6



เอกสารนี้เป็นเอกสารที่สงวนไว้สำหรับรูป 2.6 คีซีมอเตอร์แบบฟิลด์แม่เหล็กถาวรให้นำไปใช้ประโยชน์ด้านการค้าไม่ว่ากรณีใดๆ ทั้งสิ้น อีกทั้งห้ามมิให้ดัดแปลงเนื้อหา และต้องอ้างอิงถึงเจ้าของเอกสารทุกครั้งที่มีการนำไปใช้

ในระบบนี้เส้นแรงของฟิวด์จะมีค่าคงที่ ดังนั้นอัตราส่วนระหว่างกระแสอาร์เมเจอร์และแรงบิดจะมีค่าคงที่ ดังนั้นสมการ 2.1 เขียนให้ง่ายขึ้นเป็น

$$T = K_t I \quad (2.3)$$

และสมการ 2.2 ได้เป็น

$$E = K_e \omega \quad (2.4)$$

ในระบบนี้จะให้ความสัมพันธ์ระหว่างกระแสอาร์เมเจอร์ แรงบิดและความเร็วอยู่ในลักษณะลิเนียร์ สมการทางไฟฟ้าของคิซิมอเตอร์แบบนี้เขียนได้เป็น

$$V = K_e \omega + L di/dt + Ri \quad (2.5)$$

เมื่อ V คือ โวลต์เตจที่ป้อนให้กับมอเตอร์

K_e คือ ค่าคงที่ของโวลต์เตจย้อนกลับ

L คือ อินดักแตนซ์ของอาร์เมเจอร์

R คือ ความต้านทานของขั้วมอเตอร์

สมการไดนามิกของมอเตอร์คือ

$$T_g = J d\omega/dt + B\omega + T_r + T_L \quad (2.6)$$

เมื่อ T_g คือ แรงบิดที่กำเนิดโดยอาร์เมเจอร์

J คือ ผลรวมของโมเมนต์ของแรงเฉื่อยของมอเตอร์และโหลด

B คือ สัมประสิทธิ์ของวิสกอสแคมป์ปิ้ง

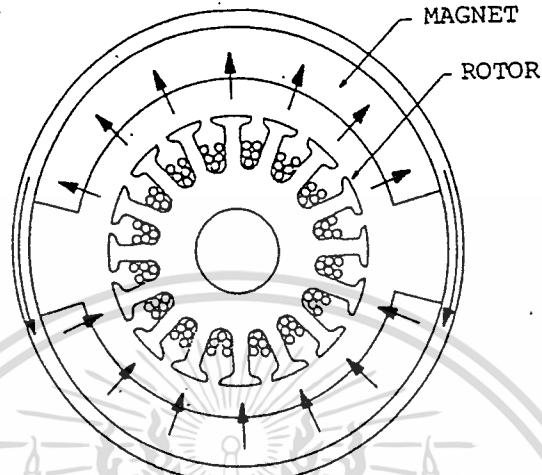
T_r คือ แรงบิดเสียดทานภายใน

T_L คือ แรงบิดโหลด

สมการต่าง ๆ ของมอเตอร์แบบแยกกระตุ้นฟิวด์ จะเหมือนกับแบบกระตุ้นฟิวด์คงที่ อย่างไรก็ตามข้อดีของมอเตอร์แบบฟิวด์แม่เหล็กถาวร ซึ่งเหนือกว่ามอเตอร์แบบมีโครงสร้างของฟิวด์ ด้วยการใช้ขดลวด คือ ไม่มีกำลังสูญเสียในฟิวด์ มีประสิทธิภาพสูงกว่าและมีขนาดเล็กกว่าเมื่อเทียบกับมอเตอร์ที่มีขนาดของกำลังม้าเท่ากัน นอกจากนั้นความสัมพันธ์เชิงเส้นในสมการ 2.1 ยังให้ค่าของกระแสอาร์เมเจอร์ที่สูงกว่าคิซิมอเตอร์แบบฟิวด์เป็นขดลวด การประยุกต์ใช้งานเหมาะสำหรับระบบที่ต้องการแรงบิดของโหลดสูง

3) คิซิมอเตอร์แบบอาร์เมเจอร์มีขดลวดพันอยู่บนพื้นผิว

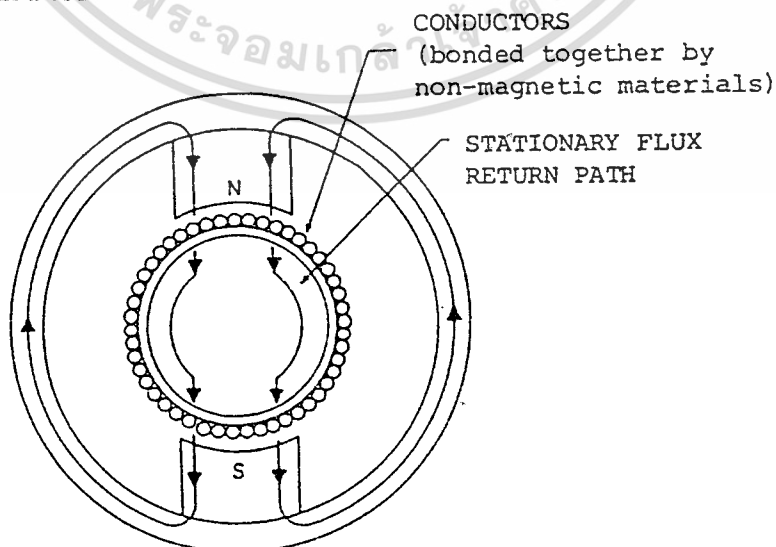
รูป 2.7 แสดงถึงการออกแบบของโรเตอร์ที่มีขดลวดพันอยู่บนพื้นผิว โดยไม่มีสล้อต ทำให้ได้อินดักแตนซ์ของโรเตอร์ต่ำกว่าแบบแกนเหล็ก ข้อเสียคือทำให้ขนาดของมอเตอร์แบบนี้ใหญ่ขึ้นและราคาแพงกว่าแบบแกนเหล็กด้วย



รูป 2.7 แสดงรูปหน้าตัดของคีมอเตอร์แบบมีขั้วควคบนพื้นผิวและฟิลด์เป็นแม่เหล็กถาวร

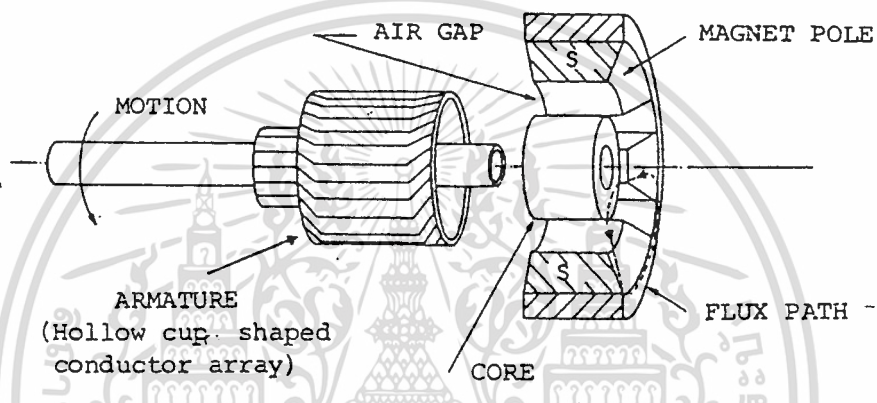
4) คีมอเตอร์แบบอาร์เมเจอร์เป็นขั้วควคหมุน

มอเตอร์แบบขั้วควคหมุน ได้รับการออกแบบเพื่อให้มีโมเมนต์ของแรงเฉื่อยน้อยมากดังแสดงในรูป 2.8 และรูปหน้าตัดซึ่งมองด้านข้างของมอเตอร์ดังกล่าวแสดงในรูป 2.9 นอกจากนั้นในรูป 2.10 และรูป 2.11 เป็นรูปถ่ายของอาร์เมเจอร์แบบเป็นขั้วควคเคลื่อนที่ และรูปลักษณะโครงสร้างภายนอก

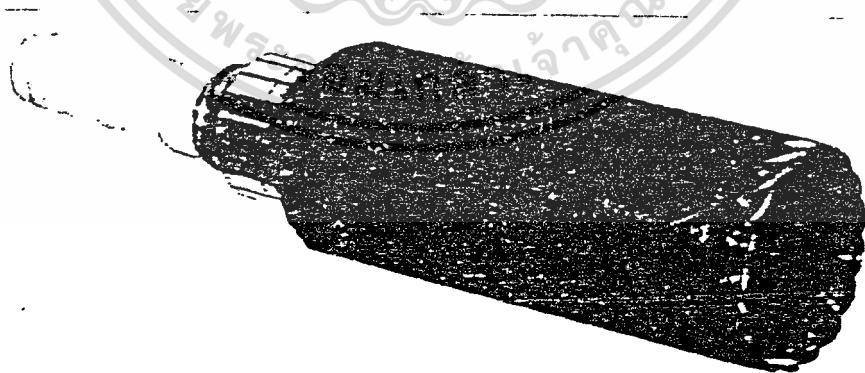


เอกสารนี้รูป 2.8 หน้าตัดของคีมอเตอร์แบบมีโรเตอร์เป็นขั้วควคเคลื่อนที่และฟิลด์เป็นแม่เหล็กถาวร การค้า
ไม่ว่ากรณีใดๆ ทั้งสิ้น อีกทั้งห้ามมิให้ตัดแปลงเนื้อหา และต้องอ้างอิงถึงเจ้าของเอกสารทุกครั้งที่มีการนำไปใช้

แม่เหล็กมอเตอร์แบบนี้มีช่องว่างอากาศ (air gap) ระหว่างแม่เหล็กมากกว่ามอเตอร์ทั้งสองแบบที่กล่าวมาแล้ว ดังนั้นจำเป็นต้องออกแบบให้โครงสร้างของแม่เหล็กให้ใหญ่ขึ้น เพื่อให้ได้ช่องว่างของอากาศระหว่างเส้นแรงแม่เหล็กที่เท่ากับของมอเตอร์ทั้งสองแบบดังกล่าว ดังนั้นราคาของมอเตอร์แบบนี้จึงมีราคาแพง นอกจากนั้นโครงสร้างของโรเตอร์มีความจุความร้อนต่ำมาก ถ้าหากเกิดโอเวอร์โหลดก็จะทำให้มอเตอร์เสียหายและโรเตอร์ลักษณะนี้จะมีค่าอินдукแตนซ์ต่ำมากคือ น้อยกว่า 10 ไมโครเฮนรี่



รูป 2.9 รูปหน้าตัดซึ่งมองด้านข้างของคีมอเตอร์แบบมีโรเตอร์เป็นขดลวดเคลื่อนที่



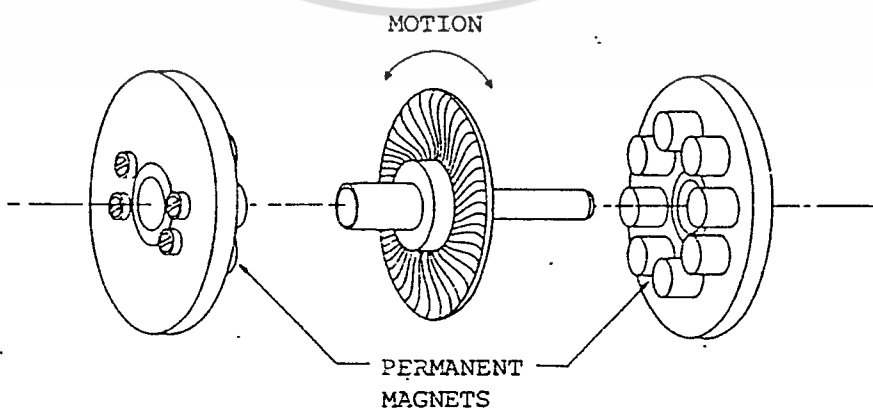
รูป 2.10 อาร์เมเจอร์แบบเป็นขดลวดเคลื่อนที่ซึ่งมีรูปร่างเป็นถ้วยทรงกระบอก และเพลอาเออร์ทุกทำด้วยเซรามิกอลูมิเนียมเพื่อให้ทนต่อแรงดึงสูง

เอกสารนี้เป็นเอกสารที่สงวนไว้สำหรับการใช้งานเพื่อการศึกษาเท่านั้น ไม่อนุญาตให้นำไปใช้ประโยชน์ด้านการค้า ไม่ว่าจะกรณีใดๆ ทั้งสิ้น อีกทั้งห้ามมิให้ตัดแปลงเนื้อหา และต้องอ้างอิงถึงเจ้าของเอกสารทุกครั้งที่มีการนำไปใช้



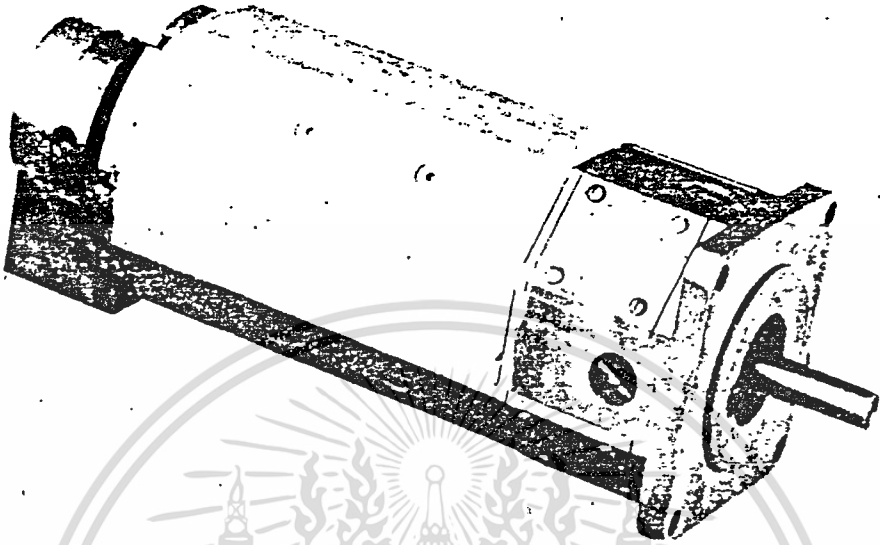
รูป 2.11 แสดงรูปร่างและโครงสร้างแม่เหล็กของมอเตอร์แบบขดลวดเคลื่อนที่

ในรูป 2.12 แสดงถึงมอเตอร์แบบขดลวดเคลื่อนที่อีกลักษณะหนึ่ง ซึ่งมีโครงสร้างของอาร์เมเจอร์เป็นรูปร่างจาน ทำขึ้นจากขดลวดตัวนำซ้อนกันหลาย ๆ ชั้น และเรามักจะเรียกกันว่า “printed motor” ตัวอย่างอีกอันหนึ่งของมอเตอร์แบบขดลวดเคลื่อนที่ (หมุน) แสดงในรูป 2.13 ซึ่งเป็นมอเตอร์ขนาด 7 แรงม้า สามารถนำมาประยุกต์ใช้ในงานเครื่องมือกลได้ดี ให้แรงบิดได้สูงถึง 100 ฟุต-ปอนด์ (ft-lb) และพัลส์กระแสได้ถึง 800 แอมป์ ในปัจจุบันคีมอเตอร์แบบโรเตอร์เป็นขดลวดหมุนนี้ให้คุณสมบัติการทำงานที่ดีเยี่ยม เหมาะสำหรับเป็นตัวขับเคลื่อนในระบบการบังคับตำแหน่ง และยังให้อัตราส่วนระหว่างแรงบิดและแรงเฉื่อยได้สูง มีค่าอินดักแตนซ์ต่ำที่สุดเมื่อเทียบกับมอเตอร์แบบอื่น ๆ นอกจากนั้นความสามารถในการเพิ่มอัตราเร่งยังกระทำได้สูง 10^6 เรเดียน/วินาที² (rad/s²)



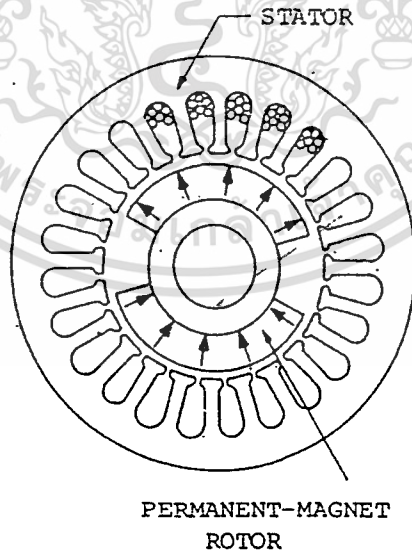
รูป 2.12 แสดงถึงคีมอเตอร์แบบโรเตอร์เป็นขดลวดหมุนมีรูปร่างเป็นจาน

เอกสารนี้เป็นเอกสารลิขสิทธิ์ของมหาวิทยาลัยเทคโนโลยีพระจอมเกล้าเจ้าคุณทหารลาดกระบัง ไม่ควรเผยแพร่โดยไม่ได้รับอนุญาตจากทางมหาวิทยาลัยฯ



รูป 2.13 คีชีมอเตอร์แบบโรเตอร์เป็นขดลวดหมุนชนิดที่ใช้ในงานอุตสาหกรรม

5) คีชีมอเตอร์แบบไม่มีแปรงถ่าน



รูป 2.14 รูปหน้าตัดของคีชีมอเตอร์แบบไม่มีแปรงถ่านและโรเตอร์เป็นแม่เหล็กถาวร

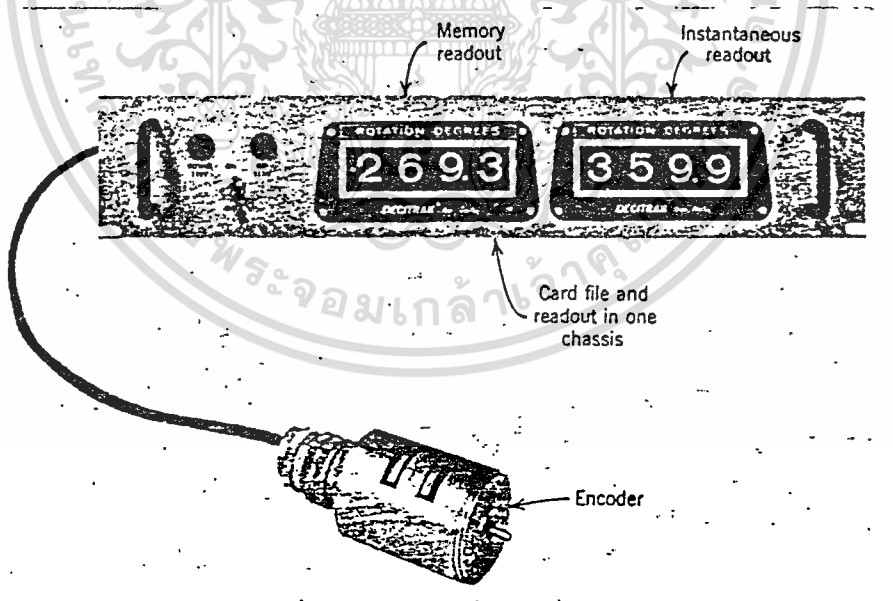
คีชีมอเตอร์แบบไม่มีแปรงถ่านต่างจากคีชีมอเตอร์ที่กล่าวมาแล้วคือ การคอมมิวเตชันของกระแสแอมเพอร์จะใช้วิธีทางอิเล็กทรอนิกส์ โครงสร้างของมอเตอร์แบบนี้จะมีโรเตอร์เป็นแม่เหล็กถาวร ไม่จำเป็นต้องใช้แปรงถ่านและคอมมิวเตเตอร์ ซึ่งทำให้การบำรุงรักษาทำได้ง่ายและอายุการใช้งานยาวนานกว่ามอเตอร์แบบมีแปรงถ่าน อย่างไรก็ตาม มอเตอร์แบบนี้มีต้นทุนการผลิตที่สูงกว่ามอเตอร์แบบมีแปรงถ่าน และต้องอ้างอิงถึงเจ้าของเอกสารทุกครั้งที่มีการนำไปใช้

แม่เหล็กชื่อ “back iron” และขดลวดคอมมิวเตทจะอยู่ภายนอกส่วนของตัวโรเตอร์ ดังแสดงในรูป 2.14 (เปรียบเทียบกับดีซีมอเตอร์โดยทั่วไปแล้วจะมีโครงสร้างที่มีส่วนประกอบกลับกัน) การประยุกต์ใช้งานของดีซีมอเตอร์แบบไม่มีแปรงถ่านนี้มักจะใช้ในระบบที่ต้องการโมเมนต์ของแรงเฉื่อยต่ำ เนื่องด้วยโครงสร้างโรเตอร์ของมอเตอร์แบบนี้สร้างขึ้นด้วยสารแม่เหล็กชนิดพิเศษ เพื่อให้เป็นมอเตอร์ชนิดที่มีโมเมนต์ของแรงเฉื่อยต่ำ

2.1.2 เซ็นเซอร์และเอนโค้ดเดอร์ในระบบควบคุมมอเตอร์

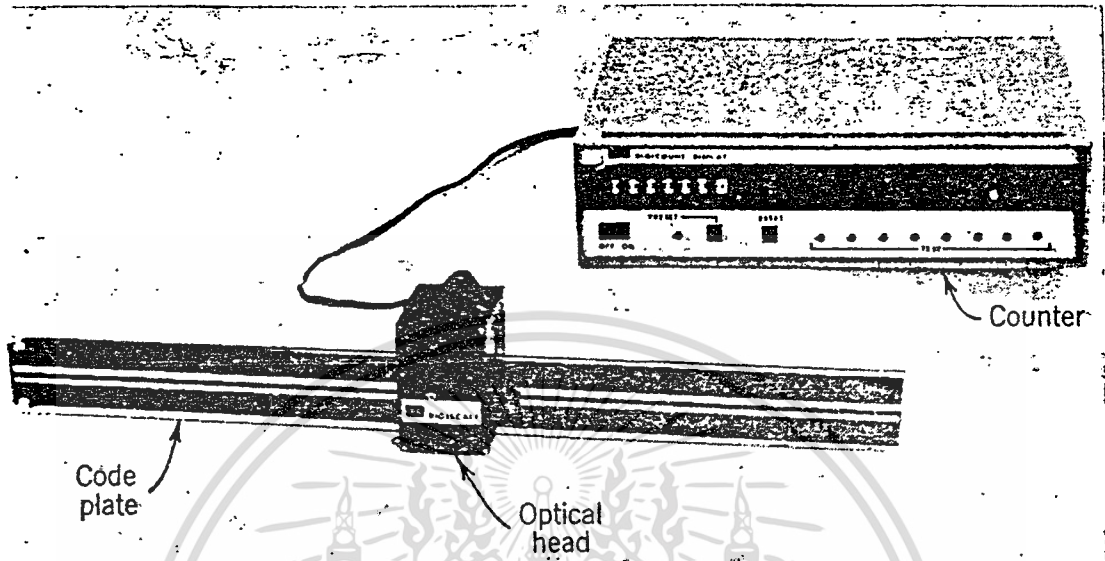
1) อินคริเมนต์เอนโค้ดเดอร์ (Increment Encoder)

ในระบบการบังคับตำแหน่งหรือความเร็วของมอเตอร์ ต้องใช้อินคริเมนต์เอนโค้ดเดอร์หรือเอนโค้ดเดอร์สำหรับรักษาค่าแห่งและสำหรับสร้างสัญญาณป้อนกลับ โดยที่ตัวเอนโค้ดเดอร์จะสร้างสัญญาณพัลส์ที่แปรผันตรงกับการหมุนของเพลา สามารถนำไปใช้ในการรับรู้ความเร็วของเพลามอเตอร์ในรูปของอัตราจำนวนพัลส์ได้ ในรูป 2.15 และ 2.16 แสดงรูปลักษณะของอินคริเมนต์เอนโค้ดเดอร์แบบโรตารีและแบบลิเนียร์



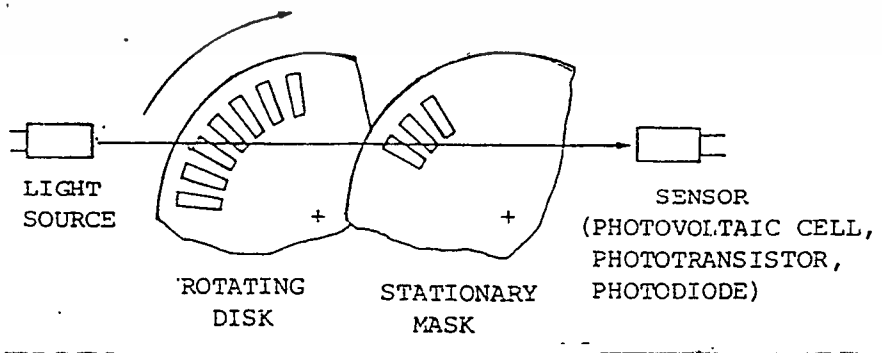
รูป 2.15 ระบบเอนโค้ดเดอร์แบบโรตารี

เอกสารนี้เป็นเอกสารที่สงวนไว้สำหรับการใช้งานเพื่อการศึกษาเท่านั้น ไม่อนุญาตให้นำไปใช้ประโยชน์ด้านการค้า ไม่ว่าจะกรณีใดๆ ทั้งสิ้น อีกทั้งห้ามมิให้ดัดแปลงเนื้อหา และต้องอ้างอิงถึงเจ้าของเอกสารทุกครั้งที่มีการนำไปใช้



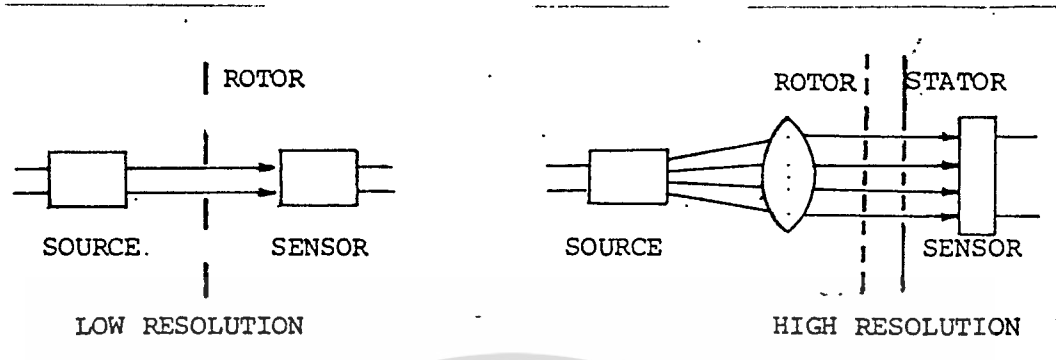
รูป 2.16 อินคริเมนต์เอนโค้ดเดอร์แบบลิเนียร์

อินคริเมนต์เอนโค้ดเดอร์ประกอบด้วยส่วนที่สำคัญ คือ ตัวกำเนิดแสง งานหมุน (ro-tory disk) งานอยู่กับที่และตัวเซ็นเซอร์ บนแผงงานหมุนทำเป็นช่องโคจรอบดั่งแสดงในรูป 2.17 และบนแผ่นอยู่กับที่จะมีช่องสำหรับให้แสงผ่านตรงข้าง ไปยังตัวเซ็นเซอร์แต่ถ้าเป็นเอนโค้ดเดอร์ที่ใช้วัดความเร็วค่าไม่ต้องมีแผ่นอยู่กับที่ก็ได้ ส่วนตัวกำเนิดแสงอาจจะเป็นหลอดไฟหรือ LED ก็ได้ดังแสดงในรูป 2.18



รูป 2.17 ตัวอย่างกลไกของออปได้อินคริเมนต์

เอกสารนี้เป็นเอกสารที่สงวนไว้สำหรับการใช้งานเพื่อการศึกษาเท่านั้น ไม่อนุญาตให้นำไปใช้ประโยชน์ด้านการค้า ไม่ว่ากรณีใดๆ ทั้งสิ้น อีกทั้งห้ามมิให้ตัดแปลงเนื้อหา และต้องอ้างอิงถึงเจ้าของเอกสารทุกครั้งที่มีการนำไปใช้



รูป 2.18 แสดงถึงตัวเซ็นเซอร์แบบมีช่องเปิดให้แสงผ่านได้ช่องเดียวและแบบมีหลายช่อง

ความละเอียดของอินคริเมนท์เอนโค้ดเดอร์ คือ จำนวนคาบเวลาของสัญญาณเอาท์พุทต่อการหมุนของเพลต 1 รอบ ซึ่งบวกเป็นจำนวนพัลส์ต่อรอบหรือจำนวนไซเคิลต่อองศา เอนโค้ดเดอร์ที่ใช้กันทั่ว ๆ ไปมีค่าความละเอียดตั้งแต่ 15 ถึง 10,000 พัลส์ต่อรอบ

ในทางปฏิบัตินั้นเนื่องจากแสงที่ออกจากแหล่งกำเนิดเป็นลำแสงเดิซว ถ้าเราต้องการให้แสงที่ผ่านช่องไปยังเซ็นเซอร์เป็นเส้นตรงพร้อม ๆ กัน (collimation) ทำได้โดยใช้เลนส์หรือพาราโบลิกแฟลคเตอร์ ดังแสดงในรูป 2.19

จำนวนพัลส์ต่อ 1 รอบของสัญญาณที่เอนโค้ดเดอร์สร้างออกมาจะเท่ากับจำนวนช่องว่างบนแผ่นจานหมุน และความกว้างของช่องว่างกับความกว้างของแถบที่บระหว่างช่องว่างจะเท่ากัน เพราะฉะนั้นเราสามารถคำนวณหาความกว้างของช่องว่าง (ω) ได้จาก

$$\omega = \pi D / 2N \quad (2.7)$$

เมื่อ D คือ เส้นผ่านศูนย์กลางเฉลี่ยของแพทเทิร์น

N คือ จำนวนของความละเอียดเป็นพัลส์ต่อรอบ

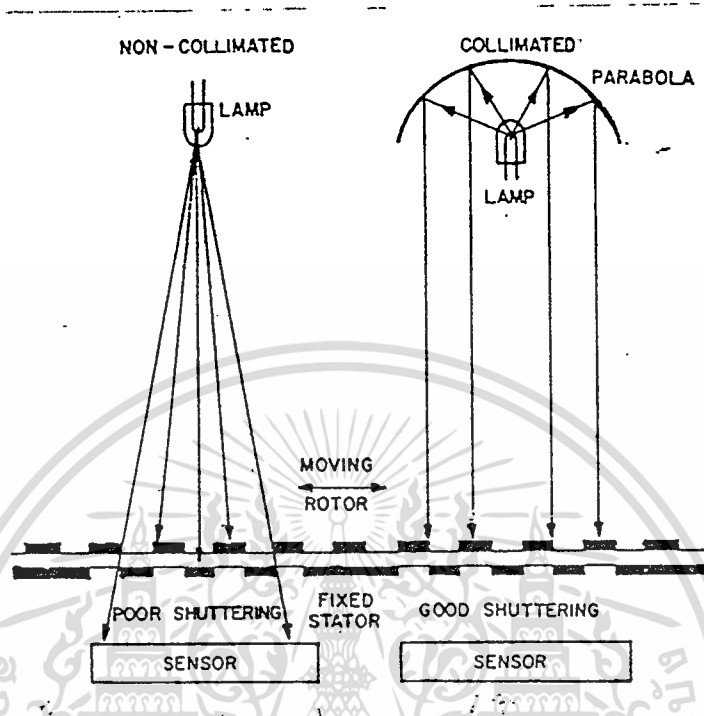
ω คือ ความกว้างของช่องว่าง

ค่าของตัวแปรของสมการ 2.7 นี้หาได้จากรูป 2.20 ถ้าให้ D เป็นเส้นผ่านศูนย์กลางของแผ่นหมุนของเอนโค้ดเดอร์ค่าประมาณที่ใกล้เคียงมากของค่าความกว้างของช่องว่างแสดงได้ดังนี้

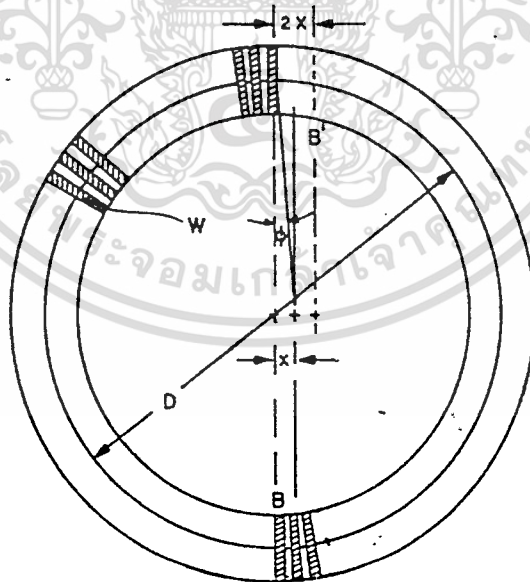
$$\omega = 0.75\pi D / 2N \quad (2.8)$$

ตัวอย่าง ถ้าแผ่นหมุนของเอนโค้ดเดอร์มีเส้นผ่านศูนย์กลาง 2 นิ้ว ต้องการค่า

เอกสาร ความละเอียด 200 พัลส์ต่อรอบ จะจะได้ความกว้างของช่องว่างเท่ากับ 0.002356 นิ้ว โยชน์ด้านการค้า ไม่ว่าจะกรณีใดๆ ทั้งสิ้น อีกทั้งห้ามมิให้ตัดแปลงเนื้อหา และต้องอ้างอิงถึงเจ้าของเอกสารทุกครั้งที่มีการนำไปใช้



รูป 2.19 แสดงถึงผลของแสงที่เดินทางในแนวเดียวกันและแสงที่แตกกระจาย



LINEARITY ERROR = $2x / W$

WHERE $W = \pi D / \text{RESOLUTION} = \text{PERIOD WIDTH}$

$x = \text{ECCENTRICITY (PATTERN TO ROTATIONAL AXIS)}$

$2x = \text{TOTAL PERIOD ERROR IN } 180^\circ \text{ REVOLUTION}$

$D = \text{MEAN PATTERN DIAMETER}$

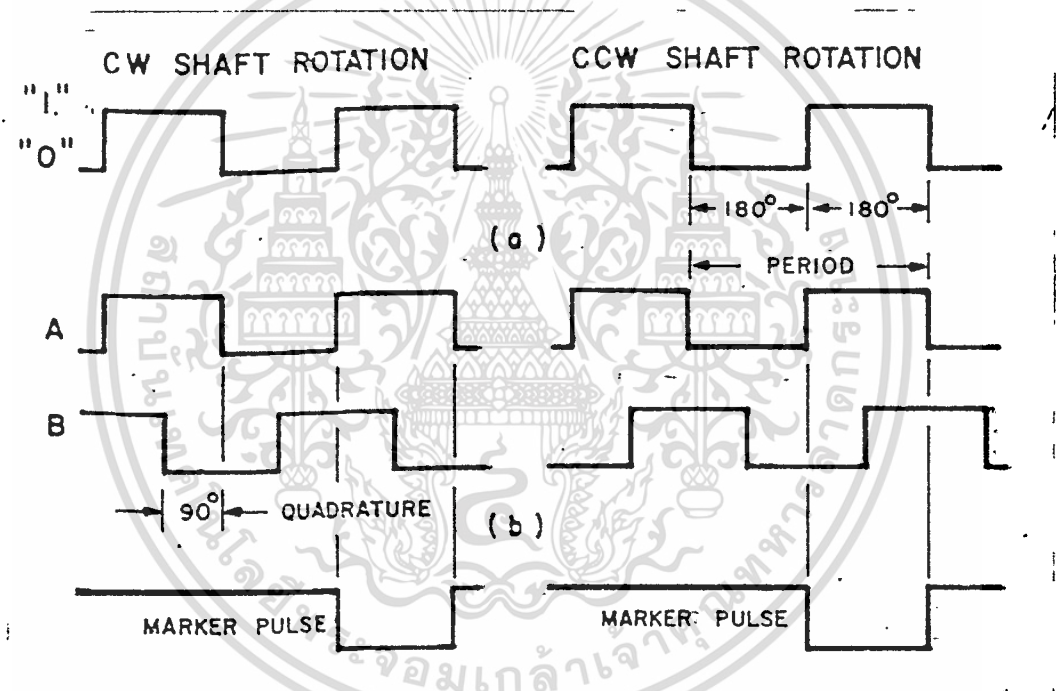
รูป 2.20 ความสัมพันธ์ระหว่างความเป็นลิเนียร์กับความไม่ได้ศูนย์กลาง

เอกสารนี้เป็นเอกสารที่สงวนลิขสิทธิ์ไว้เพื่อการค้าเท่านั้น ไม่อนุญาตให้นำไปใช้เผยแพร่โดยไม่ได้รับอนุญาต
ไม่ว่ากรณีใดๆ ทั้งสิ้น อีกทั้งห้ามมิให้ตัดแปลงเนื้อหา และต้องอ้างอิงถึงเจ้าของเอกสารทุกครั้งที่มีการนำไปใช้

เอาท์พุทของเอนโค้ดเดอร์

โดยทั่วไปแล้ว สัญญาณเอาท์พุทที่ออกจากเอนโค้ดเดอร์โดยตรงจะมีระดับไม่เพียงพอในการควบคุม หรือสำหรับการประมวลผลสัญญาณ ดังนั้นจึงต้องมีวงจรขยายและแปลงรูปร่างถูกคลื่นสัญญาณต่อไปในตัวเอนโค้ดเดอร์ด้วยเสมอ

สัญญาณลูกคลื่นที่ได้จากตัวเซ็นเซอร์ปกติแล้วจะเป็นรูปสัญญาณซายน์ ขึ้นอยู่กับความละเอียดที่ต้องการ รูปสัญญาณเหล่านี้สามารถทำให้เป็นสัญญาณรูปสี่เหลี่ยมได้ โดยการต่อตัวคอมพาราเตอร์เข้ากับลิเนียร์แอมพลิฟายเออร์ของเอนโค้ดเดอร์ ก็จะได้อเอาท์พุทเป็นลูกคลื่นสี่เหลี่ยมตามที่ต้องการ



รูป 2.21 (ก) ตัวอย่างลูกคลื่นเอาท์พุทสี่เหลี่ยมของอุปกรณ์เอนโค้ดเดอร์ช่องเดียว (ไบโคเดรชัน)
(ข) ตัวอย่างสัญญาณเอนโค้ดเดอร์ 2 ช่องมีมุมเฟสต่างกัน 90 องศา (สองทิศทาง)

รูป 2.21 (ก) แสดงถึงลูกคลื่นเอาท์พุทสี่เหลี่ยมของเอนโค้ดเดอร์ชนิด 1 ช่องไม่ว่าเฟลจะหมุนในทิศทางใดก็ได้สัญญาณออกมาเหมือนกัน จึงเหมาะที่จะใช้กับงานที่ไม่กำหนดทิศทางเท่านั้น ส่วนในรูป 2.21 (ข) แสดงสัญญาณ 2 ชุด ที่ได้จากเอนโค้ดเดอร์ชนิด 2 ช่องเฟสของสัญญาณ 2 ช่องนี้จะต่างกัน 90 องศาทางไฟฟ้า เราจะเรียกสัญญาณ 2 ช่องนี้ว่าเป็นควอดราเจอร์ (quadrature) กัน เหมาะที่จะใช้ในการรับรู้ทิศทางการหมุนของเฟลาหรือใช้ควบคุมระบบที่ซับซ้อนอื่นๆ จากสัญญาณในรูป 2.21 (ข) จะเห็นได้ว่าสัญญาณทั้ง 2 ช่องจะเริ่มจาก 0 ถึง 1

เอกสารนี้เป็นเอกสารที่สงวนลิขสิทธิ์สำหรับการใช้งานเพื่อการศึกษาเท่านั้น ไม่อนุญาตให้นำไปเผยแพร่บนสื่อออนไลน์

ไม่ว่ากรณีใดๆ ทั้งสิ้น อีกทั้งห้ามมิให้ตัดแปลงเนื้อหา และต้องอ้างอิงถึงเจ้าของเอกสารทุกครั้งที่มีการนำไปใช้

และ 1 ถึง 0 ขึ้นอยู่กับทิศทาง การหมุนของแผ่นหมุนของเอนโค้ดเดอร์

ในอินคริเมนต์เอนโค้ดเดอร์บางชนิดจะมีพัลส์ที่แสดงถึงจำนวนรอบของการหมุน สำหรับใช้เป็นศูนย์ในการอ้างอิงพัลส์ที่ใช้แสดงจำนวนรอบนี้ จะเกิดขึ้น 1 พัลส์ต่อ 1 รอบ โดยทั่วไปแล้วใช้บอกถึงตำแหน่งเชิงกลหรือใช้เป็นสัญญาณเคลียร์จำนวนที่นับไว้ในหน่วยเก็บข้อมูล

อินคริเมนต์เอนโค้ดเดอร์ เมื่อเราต่อเอาท์พุทของโรเตอร์นี้เข้ากับวงจรรีไซโครอส ซึ่งดีเทคเตอร์ ก็สามารถใช้คำนวณหาความเร็วเฉลี่ยของเพลลาที่หมุนได้ในเวลาที่กำหนด

2) แมกเนติกพิคอัพ

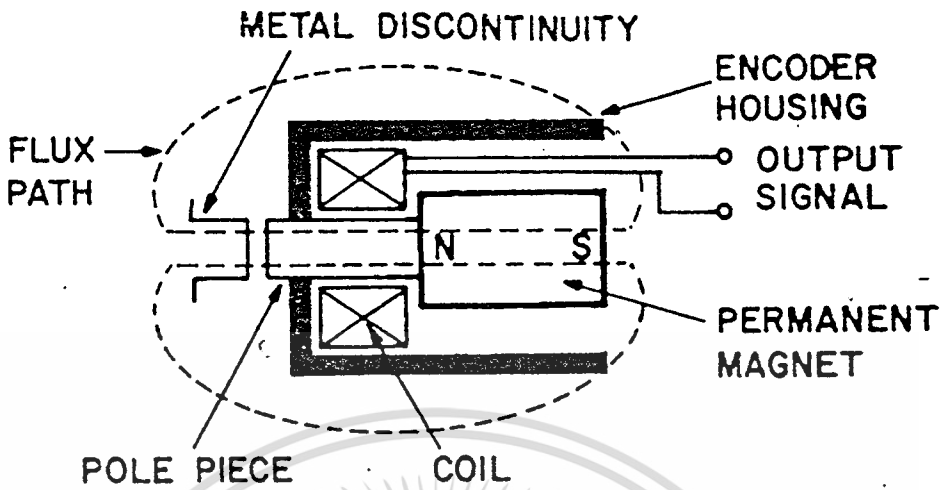
ตัวพิคอัพความเร็วเพลลาแบบแม่เหล็กเหมาะที่นำไปใช้สำหรับรับรู้การเคลื่อนที่ในงานอุตสาหกรรมทั่ว ๆ ไป ประกอบด้วยส่วนสองส่วนคือ ตัวพิคอัพทรานสดิวเซอร์และแผ่นโลหะกลมมีขอบเป็นซี่ ๆ ดังรูป 2.22 ช่องกว้างระหว่างตัวพิคอัพกับซี่ฟันต้องทำให้มีค่าน้อยที่สุด ประมาณ 0.004 ถึง 0.005 นิ้ว



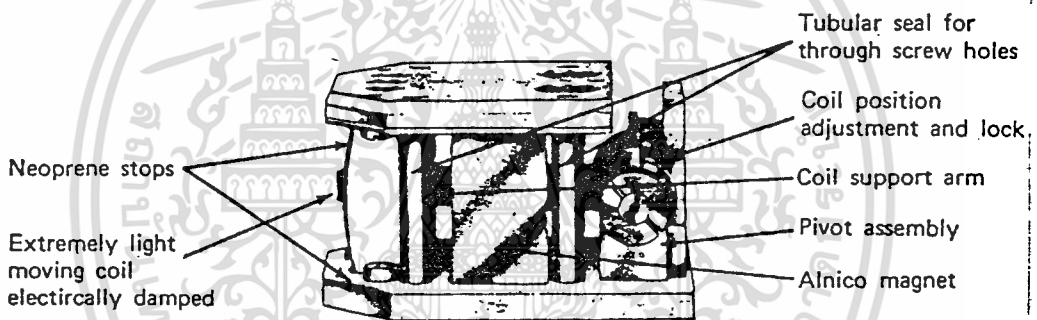
รูป 2.22 ลักษณะการวางรูปของแมกเนติกพิคอัพเอนโค้ดเดอร์

โครงสร้างภายในของแมกเนติกพิคอัพแสดงในรูป 2.23 และรูป 2.24 ส่วนประกอบที่สำคัญคือแม่เหล็กถาวร ส่วนของโพลและขดลวดทั้งหมดนี้จะบรรจุในตัวโครงภายนอก แม่เหล็กถาวรทำให้เกิดเส้นแรงแม่เหล็กไหลผ่านส่วนของโพลและรอบนอก เมื่อแผ่นโลหะกลมหมุนซี่ฟันจะตัดผ่านสนามแม่เหล็กอย่างไม่ต่อเนื่องเป็นช่วง ๆ ทำให้มีการเหนี่ยวนำโวลต์แดงขึ้นมาในขดลวดในทิศทางหนึ่ง และเมื่อซี่ฟันเคลื่อนผ่านไปจากส่วนโพลสนามแม่เหล็กก็จะขยาย ทำให้เกิดมีการเหนี่ยวนำโวลต์แดงเกิดขึ้นในทิศทางตรงกันข้ามในขดลวด ดังแสดงในรูป 2.25 และ 2.26

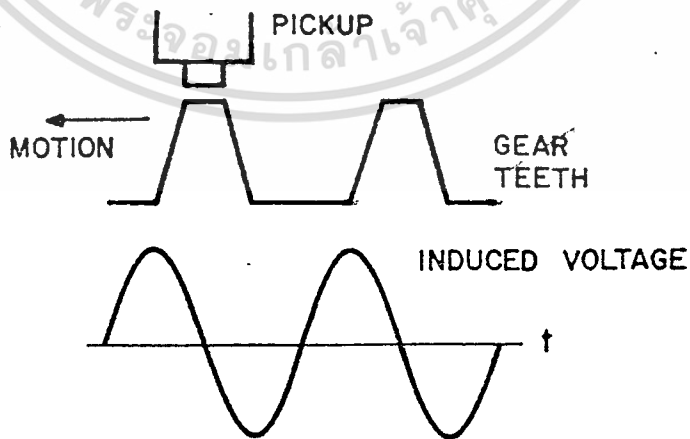
เอกสารนี้เป็นเอกสารที่สงวนไว้สำหรับการใช้งานเพื่อการศึกษาเท่านั้น ไม่อนุญาตให้นำไปใช้ประโยชน์ด้านการค้าไม่ว่ากรณีใดๆ ทั้งสิ้น อีกทั้งห้ามมิให้ดัดแปลงเนื้อหา และต้องอ้างอิงถึงเจ้าของเอกสารทุกครั้งที่มีการนำไปใช้



รูป 2.23 โครงสร้างภายในของตัวแมกเนติกคิกคัพ

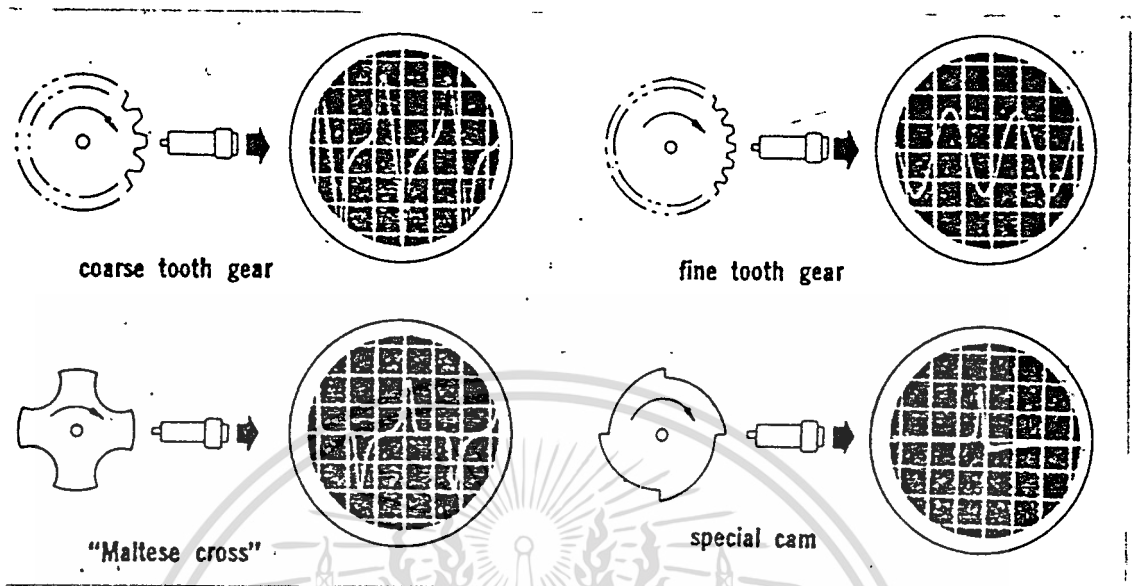


รูป 2.24 ตัวอย่างของแมกเนติกคิกคัพ



รูป 2.25 ตัวอย่างลูกคลื่นโวลต์เตจเอาท์พุทของแมกเนติกคิกคัพเซ็นเซอร์

เอกสารนี้เป็นเอกสารที่สงวนไว้สำหรับการใช้งานเพื่อการศึกษาเท่านั้น ไม่อนุญาตให้นำไปใช้ประโยชน์ด้านการค้า
ไม่ว่ากรณีใดๆ ทั้งสิ้น อีกทั้งห้ามมิให้ดัดแปลงเนื้อหา และต้องอ้างอิงถึงเจ้าของเอกสารทุกครั้งที่มีการนำไปใช้



รูป 2.26 ลูกคลื่นเอทท์ทุกของตัวพิกซ์ความเร็วแบบแม่เหล็ก

(ก) ฟันเกียร์อย่างหยาบ

(ข) ฟันเกียร์อย่างละเอียด

(ค) เพลาหมุนเป็นไบพีด

(ง) เพลาหมุนเป็นวงล้อพิเศษ

การคัดผ่านสนามแม่เหล็กของซี่ฟัน 1 ซี่ จะเหนี่ยวนำโวลต์เตจขึ้นมา 1 โวลต์
ถ้าซี่ฟันคิดผ่านส่วนโพล 100 ซี่ ในเวลา 1 วินาที จะได้สัญญาณโวลต์เตจ 100Hz ถูกเหนี่ยวนำ
ขึ้นมาที่ขั้วเอทท์ทุกของเอนโค้ดเดอร์ เอทท์ทุกโวลต์เตจมีทั้งบวก ลบ และศูนย์ขึ้นอยู่กับตำแหน่ง
ต่าง ๆ ของการหมุนของเพลา จึงสามารถนำไปใช้ในการตรวจจับการเคลื่อนที่แบบสเต็ปได้ และ
คอนโทรลการเคลื่อนที่ในลักษณะอื่นใช้สำหรับการเซ็นซิงความเร็ว อย่างไรก็ตามเนื่องจากโวลต์
เตจที่เหนี่ยวนำขึ้นมาไม่เป็นรูปไซน์เสมอไป โดยทั่วไปแล้วลูกคลื่นขึ้นอยู่กับชนิดของงานที่
นำไปใช้ ซึ่งรูปร่างของคลื่นอาจจะไม่สำคัญก็ได้

2.2 พัลซ์วิคร์โมดูลชั้นแอมพลิฟายเออร์[3]

ระบบที่ใช้ควบคุมความเร็วของมอเตอร์โดยทั่วไปได้แก่ ระบบซีซีดีเนียร์เซอร์ไว
แอมพลิฟายเออร์ สร้างขึ้นเพื่อใช้เป็นอุปกรณ์ขยายแบบลิเนียร์ มีหน้าที่ควบคุมกระแสและโวลต์-
เตจที่ใช้ในการขับเคลื่อนมอเตอร์เพื่อให้ได้ค่าความเร็วที่ต้องการ และเนื่องจากการควบคุมนี้ทำ
โดยการบังคับขนาดของโวลต์เตจที่จ่ายให้กับมอเตอร์ ดังนั้นส่วนแอมพลิฟายเออร์จะเป็นตัวลด
โวลต์เตจเอาไว้ ซึ่งเท่ากับผลต่างของแหล่งจ่ายโวลต์เตจ และโวลต์เตจที่มอเตอร์ใช้งานจริง

เอกสารนี้เป็นเอกสารที่สงวนไว้สำหรับการใช้งานเพื่อการศึกษาเท่านั้น ไม่อนุญาตให้นำไปใช้ประโยชน์ด้านการค้า

ไม่ว่ากรณีใดๆ ทั้งสิ้น อีกทั้งห้ามมิให้ดัดแปลงเนื้อหา และต้องอ้างอิงถึงเจ้าของเอกสารทุกครั้งที่มีการนำไปใช้



ในระบบที่มีกระแสที่เหมาะสมไหลผ่าน กำลังงานจะสูญเสียในเอาต์พุตทรานซิสเตอร์เป็นจำนวนมาก โดยเฉพาะขณะที่มอเตอร์ทำงานที่ความเร็วต่ำแรงบิดสูง เพราะขณะนั้นโวลต์เคจย้อนกลับของมอเตอร์ค่ากระแสจึงสูง

วิธีหนึ่งที่จะแก้ปัญหาลดการสูญเสียพลังงาน คือ ใช้แอมพลิฟายเออร์ควบคุมมอเตอร์โดยการเปลี่ยนแปลงสัดส่วนของโวลต์เคจที่จ่ายให้แก่มอเตอร์ แอมพลิฟายเออร์ชนิดนี้เรียกว่า “สวิตชิงแอมพลิฟายเออร์” ซึ่งสามารถควบคุมความเร็วต่ำ ๆ โดยมีแรงบิดสูงอยู่ โดยไม่สิ้นเปลืองพลังงานเหมือนพวลิก เนียร์แอมพลิฟายเออร์

2.2.1 การทำงานของแอมพลิฟายเออร์แบบพัลส์วิดท์โมดูเลชัน (PWM)

แอมพลิฟายเออร์แบบ PWM สามารถแบ่งได้เป็น 3 ชนิดตามลักษณะของการทำงาน คือ ไบโพลาร์ ยูนิโพลาร์และลิมิตยูนิโพลาร์ ซึ่งง่ายที่สุดจะดูการทำงานได้ตามรูป 2.27 โดยที่เราจะกำหนดให้มีความถี่การสวิตช์เป็น f_s t_{on} ที่เกิดขึ้นในส่วนแรกและ t_{off} เกิดในส่วนหลังโดย

$$t_{on} \text{ เมื่อ } 0 \leq t \leq t_1$$

$$t_{off} \text{ เมื่อ } t_1 \leq t \leq t_2$$

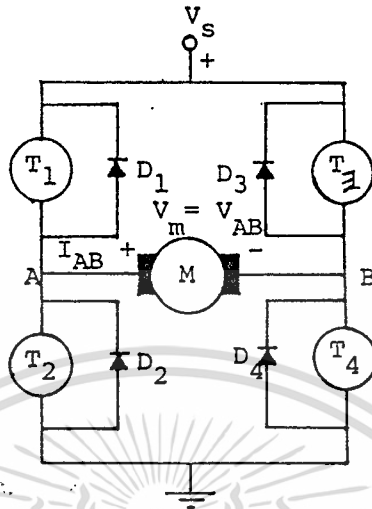
ไบโพลาร์จะมี T_1 และ T_4 นำกระแสระหว่างเฟส on ส่วน T_2 และ T_3 จะนำกระแสขณะเฟส off จะได้ฟังก์ชันตกคร่อมมอเตอร์เป็น

$$V_m = V_{AB} \begin{cases} V_s, & 0 \leq t \leq t_1 \\ -V_s, & t_1 \leq t \leq t_2 \end{cases} \quad (2.9)$$

แบบยูนิโพลาร์จะลดจำนวนทรานซิสเตอร์ในการสวิตช์ลง การสวิตช์ขึ้นกับ V_m เป็นบวกหรือลบ เมื่อ V_m เป็นบวก T_1 จะนำกระแสตลอดคาบ ในขณะที่ T_1 นำกระแสในช่วงเฟส on และ T_2 จะนำกระแสในช่วงเฟส off เมื่อ V_m เป็นลบ T_2 จะนำกระแสตลอด โดยมี T_3 และ T_4 สลับกันทำงานเมื่อ V_m เป็นบวกได้

$$V_m \begin{cases} V_s, & 0 \leq t \leq t_1 \\ 0, & t_1 \leq t \leq t_2 \end{cases} \quad (2.10)$$

การแสดงค่า V_m ในทางลบจะเหมือนกันเพียงแต่ V_m เป็นลบเท่านั้น



รูป 2.27 แอมพลิฟายเออร์แบบ PWM และดีซีมอเตอร์

จากลักษณะของสองแบบคั้งที่กล่าวมานั้นมีประโยชน์เหมือนกัน ซึ่งในแต่ละกรณีจะมีทรานซิสเตอร์คู่หนึ่ง (T_1, T_2) หรือ (T_3, T_4) จะหยุดนำกระแสขณะที่อีกคู่นำกระแสซึ่งมีเวลาเก็บสะสมและเวลาที่ปล่อยขออกของทรานซิสเตอร์เกิดขึ้น และมันอาจเป็นไปได้ที่ทรานซิสเตอร์ทั้งหมดนำกระแสในเวลาเดียวกัน ซึ่งจะทำให้เกิดการลัดวงจรของซัพพลาย เราจำเป็นต้องหลีกเลี่ยงภาวะดังกล่าว สามารถทำได้โดยการสร้างช่วงคิเลย์ (delay time) ระหว่างการหยุดและการนำกระแสของทรานซิสเตอร์ และด้วยเหตุผลดังกล่าวความถี่ของการสวิทช์จะถูกจำกัดในวงที่แคบลง

แบบที่ 3 ของการทำงานคือแบบลิมิตยูนิโพลาร์จะแสดงให้เห็นคือ มีความจำเป็นต้องมีช่วงคิเลย์ ซึ่งการสวิทช์ขึ้นกับค่า V_m เมื่อ V_m เป็นบวก T_4 จะนำกระแสตลอด T_1 จะสวิทช์เป็น on ในช่วงเฟส on ดังนั้นในช่วงเฟส on ทั้ง T_1 และ T_4 จะ on ยังผลแก่โวลต์เดจของมอเตอร์ V_m คือ

$$V_m = V_s \quad 0 \leq t \leq t_1 \quad (2.11)$$

ระหว่างเฟส off จะมีกระแสเพียงตัวเดียวที่เป็นผลให้ V_m ขึ้นกับ I_{AB} คราบใดที่ $I_{AB} > 0$ ซึ่งเป็นภาวะปกติ เมื่อ $V_{AB} > 0$ กระแส I_{AB} จะไหลผ่าน D_2 และ T_4 เป็นผลให้ $V_A = 0$ และ

$$t_1 \leq t < t_2$$

$$V_m = V_{AB} = 0 \quad \text{เมื่อ} \quad \left\{ \quad (2.12)$$

เอกสารนี้เป็นเอกสารที่สงวนไว้สำหรับการใช้งานเพื่อการศึกษา $I_{AB} > 0$ อนุญาตให้นำไปใช้ประโยชน์ด้านการค้าไม่ว่ากรณีใดๆ ทั้งสิ้น อีกทั้งห้ามมิให้ตัดแปลงเนื้อหา และต้องอ้างอิงถึงเจ้าของเอกสารทุกครั้งที่มีการนำไปใช้

ในกรณีที่ I_{AB} เป็นลบ กระแสจะไหลผ่าน D_1 และ D_4 เป็นผลให้ $V_A = V_s$ และ

$$t_1 \leq t < t_2$$

$$V_m = V_{AB} = V_s \quad \text{เมื่อ} \quad \left\{ \begin{array}{l} I_{AB} < 0 \end{array} \right. \quad (2.13)$$

ซึ่งจะเกิดขึ้นภายหลังเปลี่ยนชั่ว V_m

ในที่สุดถ้าเราสามารถทำให้ $I_{AB} = 0$ (เข้าใกล้ศูนย์จนถือว่าเป็นศูนย์) จะทำให้ทั้ง D_1 และ D_4 ไม่นำกระแส และโวลต์เดจ V_m จะอยู่ระหว่างค่าศูนย์และ V_s ดังต่อไปนี้

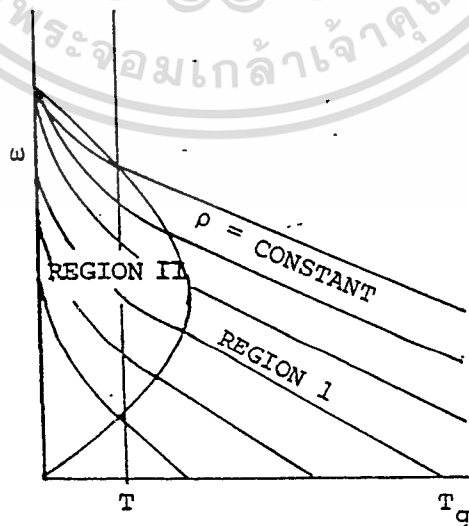
$$t_1 \leq t < t_2$$

$$0 < V_m < V_s \quad \text{เมื่อ} \quad \left\{ \begin{array}{l} I_{AB} = 0 \end{array} \right. \quad (2.14)$$

อย่างไรก็ตามถ้า $I_{AB} > 0$ เป็นภาวะปกติ เมื่อ $V_m > 0$ แบบชุนิโพลาร์และแบบลิ มิตชุนิโพลาร์จะแสดงคุณสมบัติคล้ายกันมาก

2.2.2 กำหนดงานที่สูญเสียในตัวมอเตอร์

เนื่องจากธรรมชาติของแอมพลิฟายเออร์แบบ PWM ซึ่งถูกใช้ในระบบดีซีเซอว์โวลต์ จะมีคุณสมบัติเฉพาะบางอย่างที่เป็นลักษณะพิเศษดังรูป 2.28 ซึ่งในรูปจะเป็นระนาบ $\omega - T_g$ แบ่งเป็นขอบเขต I และขอบเขต II และมีเส้นโค้งความสัมพันธ์มีค่าคงที่ต่าง ๆ



รูป 2.28 ค่าเส้นโค้งของความเร็ว-แรงบิด

เอกสารนี้เป็นเอกสารที่สงวนไว้สำหรับการใช้งานเพื่อการศึกษาเท่านั้น ไม่อนุญาตให้นำไปใช้ประโยชน์ด้านการค้า ไม่ว่ากรณีใดๆ ทั้งสิ้น อีกทั้งห้ามมิให้ตัดแปลงเนื้อหา และต้องอ้างอิงถึงเจ้าของเอกสารทุกครั้งที่มีการนำไปใช้

ปัญหาแรกในการพิจารณาที่เกี่ยวข้องกับผลของการสูญเสียกำลังงานของแอมพลิฟายเออร์ในมอเตอร์ จะแสดงโดยการเปรียบเทียบ PWM โมดูลชันกับลิเนียร์แอมพลิฟายเออร์ การสูญเสียกำลังงานในมอเตอร์ที่มีความต้านทานของอาร์มาเจอร์ R แรงบิดเสียดทานภายในของมอเตอร์ T_r และ Viscous แด้มป์ปิ้งแฟคเตอร์ (Damping factor : D)

$$\rho = I^2(t)R + \frac{K_e T_r \omega}{K_t} + \frac{K_e D \omega^2}{K_t} \quad (2.15)$$

ถ้าเราให้มอเตอร์ถูกขับด้วยความเร็ว ω ทำได้โดยใช้ลิเนียร์แอมพลิฟายเออร์ซึ่งมีกระแสอาร์มาเจอร์ $I(t)$ และการสูญเสียกำลังงาน P_L ถ้าใช้แอมพลิฟายเออร์แบบ PWM ขับมอเตอร์ให้มีความเร็วเดียวกันนี้กระแสที่ต้องการคือ $I_p(t)$ และการสูญเสียกำลังงาน P_{Lp} ความแตกต่างอย่างเฉียวของกระแส $I(t)$ กับ $I_p(t)$ คือ I_p เป็นผลบวกของ $I(t)$ และถูกคลื่นสามเหลี่ยม $S(t)$ ที่ เป็นค่าทั้งหมดของพีคต่อพีคของกระแส ΔI ซึ่งถูกคลื่นของ $S(t)$ แสดงในรูป 2.29 คือ

$$I_p(t) = I(t) + S(t) \quad (2.16)$$

ค่าการสูญเสียกำลังงานของลิเนียร์แอมพลิฟายเออร์ P_L หากจากสมการ 2.15 คือ

$$P_L = I^2(t)R + \frac{K_e T_r \omega}{K_t} + \frac{K_e D \omega^2}{K_t} \quad (2.17)$$

P_{Lp} หากจากการแทนสมการ 2.16 ลงในสมการ 2.15 สังเกตว่าเทอมแรกเท่านั้น ขึ้นอยู่กับ $I_p(t)$ คือ

$$R I_p^2(t) = R [I(t) + S(t)]^2 = R I^2(t) + 2RI(t)S(t) + R S^2(t) \quad (2.18)$$

เทอมที่สองทางขวามือของสมการ 2.18 เป็นผลคูณของ $S(t)$ ซึ่งค่าเฉลี่ยเป็นศูนย์ และ $I(t)$ ถ้าค่าทั้งสองไม่สัมพันธ์กันดังปรากฏในกรณีส่วนใหญ่ผลคูณที่ได้จะมีค่าเฉลี่ยศูนย์เช่นกัน เทอมสุดท้ายของสมการ 2.18 สามารถหาค่า $S(t)$ ที่ให้มาได้ในรูป 2.29 และจะหาค่าเฉลี่ยนี้ ได้เป็น

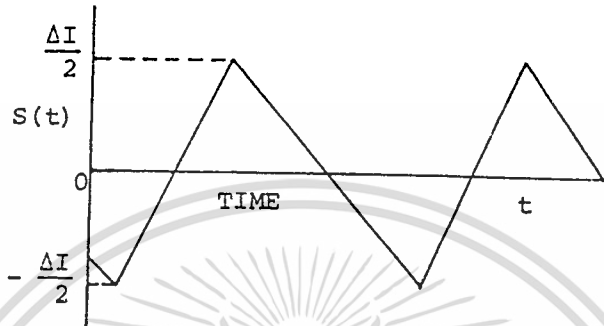
$$[R S^2(t)]_{ave} = R(\Delta I)^2 / 12 \quad (2.19)$$

ต่อไปเมื่อพิจารณาค่าความแตกต่างเฉลี่ยในการสูญเสียกำลังงานได้จากสมการ 2.15 , 2.16, 2.18 และ 2.19 คือ

$$\begin{aligned} [P_{Lp} - P_L]_{ave} &= [(R I_p^2(t) - R I^2(t))]_{ave} \\ &= [2RI(t)S(t)]_{ave} + [R S^2(t)]_{ave} \\ &= R(\Delta I)^2 / 12 \end{aligned} \quad (2.20)$$

เอกสารนี้เป็นเอกสารที่สงวนไว้สำหรับการใช้งานเพื่อการศึกษาเท่านั้น ไม่อนุญาตให้นำไปใช้ประโยชน์ด้านการค้า ไม่ว่ากรณีใดๆ ทั้งสิ้น อีกทั้งห้ามมิให้ตัดแปลงเนื้อหา และต้องอ้างอิงถึงเจ้าของเอกสารทุกครั้งที่มีการนำไปใช้

ค่าของ ΔI และ R คือ 2 แอมแปร์และ 2 โอห์ม ตามลำดับ จากนั้นทำให้ผลของการสูญเสียกำลังงานเปลี่ยนแปลงประมาณ $2/3$ วัตต์ ซึ่งมีค่าน้อยจนไม่ต้องนำมาคิด นั่นคือแอมพลิฟายเออร์แบบ PWM ไม่มีผลต่อการสูญเสียกำลังงานในตัวมอเตอร์



รูป 2.29 ลูกคลื่นของกระแสสามเหลี่ยม

2.2.8 การเลือกความถี่ของการสวิตช์

การเลือกความถี่ของการสวิตช์ f_s สามารถกระทำได้อย่างอิสระในบางครั้งของการพิจารณาในการเลือก f_s คือ

(ก) ความถี่ของการสวิตช์ต้องมีค่าสูงพอ ที่ทำให้อินดักแตนซ์ของมอเตอร์มีค่าอิมพีแดนซ์สูงกว่าความถี่ที่ถูกเลือก ดังนั้น

$$2\pi f_s L \gg R \quad (2.21)$$

สามารถกล่าวได้ว่าเป็นการลิมิต ΔI ที่มีการเปลี่ยนแปลงกระแสที่ได้

(ข) อัตราของการสวิตช์ ต้องสูงพอต่อการที่ระบบเซอร์โวไม่มีผลตอบสนองต่ออัตราดังกล่าว ดังนั้นถ้าข้อกำหนดของการเคลื่อนที่อยู่ในแบนด์วิดท์ f_{BW} ที่ต้องการ เราควรเลือก

$$f_s > 10 f_{BW} \quad (2.22)$$

(ค) f_s ต้องมากกว่าความถี่รีโซแนนซ์ของลูป

$$f_s > (f_{res})_{max} \quad (2.23)$$

ตามภาวะข้างบนแสดงให้เห็นว่ามักต้องการเพิ่มค่า f_s อย่างไรก็ตามการเพิ่ม f_s ทำให้เกิดข้อเสียบางประการ

(ง) การเพิ่มค่าอัตราการสวิตช์ เป็นผลให้ค่ากระแสสูญเสียกำลังงานเพิ่มขึ้นในเอาต์พุททรานซิสเตอร์ด้วยเวลาของการสวิตช์ค่าหนึ่ง ดังนั้นจึงจำเป็นต้องทำให้ f_s ต่ำลงเท่าที่จะทำได้ซึ่งสอดคล้องกับภาวะอื่น ๆ ที่กล่าวมาแล้ว

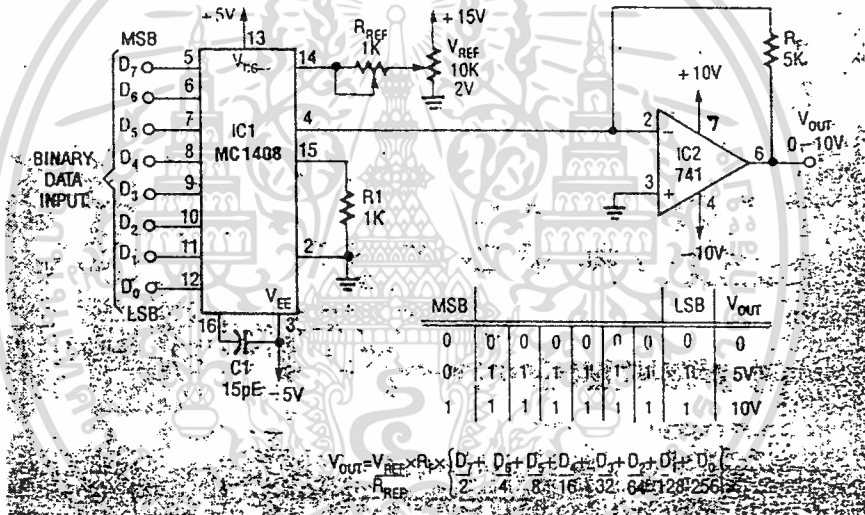
เอกสารนี้เป็นเอกสารที่สงวนไว้สำหรับการใช้งานเพื่อการศึกษาเท่านั้น ไม่อนุญาตให้นำไปใช้ประโยชน์ด้านการค้าไม่ว่ากรณีใดๆ ทั้งสิ้น อีกทั้งห้ามมิให้ตัดแปลงเนื้อหา และต้องอ้างอิงถึงเจ้าของเอกสารทุกครั้งที่มีการนำไปใช้

(จ) คือเฟลตที่คองการในไบโพลาร์และแอมพลิฟายเออร์แบบยูนิโพลาร์ เพื่อป้องกันการลัดวงจรระหว่างทรานซิสเตอร์ การจำกัดความถี่ของการสวิทช์โดยเลือกขอบเขตสูงสุดของมัน (คือเฟลตที่คองอยู่ระหว่าง 5-20 ไมโครวินาที)

เหตุผลดังกล่าวในการเพิ่มและลดค่า f_c การเลือก f_c ครั้งสุดท้ายมักจะสะท้อนถึงความมากน้อยของการประนีประนอมระหว่างภาวะทั้งสองนี้

2.3 การใช้งาน D/A Converter (DAC)[4]

2.3.1 การประยุกต์ DAC เบื้องต้น



รูป 2.30 วงจร Unipolar D/A

รูป 2.30 แสดงถึงการประยุกต์นำเอา DAC ไปใช้งานอย่างง่าย ๆ โดย DAC ที่ใช้เป็นของบริษัทโมโคโลล่า เบอร์ MC1408 (ดูรายละเอียดในภาคผนวก ข) การทำงานของวงจรเป็นไปอย่างตรงไปตรงมาไม่ซับซ้อน ระดับสัญญาณ TTL ขนาด 8 บิต ซึ่งเป็นรหัสเลขฐานสอง ถูกป้อนให้กับอินพุตของ DAC ขา D₀ ถึง D₇ เนื่องจากไม่มีสัญญาณนาฬิกาหรือวงจรมานาฬิกาภายนอกใด ๆ ที่ต้องการใช้ในวงจรการแปลงสัญญาณจึงเสียเวลาไปประมาณ 300 ns ซึ่งเป็นเวลาช่วง Settle time ของ MC1408 ภายใน MC1408 ใช้เทคนิคแบบไบนารีแลดเดอร์ในการสวิทช์และแปลงสัญญาณให้กลายเป็นกระแสไฟฟ้าออกไปทางเอาต์พุต LM741 ซึ่งเป็นไอซีออปแอมป์แปลงจากกระแสให้เป็นแรงดันทางเอาต์พุตตามต้องการ

เอกสารนี้เป็นเอกสารที่สงวนไว้สำหรับการใช้งานเพื่อการศึกษาเท่านั้น ไม่อนุญาตให้นำไปใช้ประโยชน์ด้านการค้าไม่ว่ากรณีใดๆ ทั้งสิ้น อีกทั้งห้ามมิให้ตัดแปลงเนื้อหา และต้องอ้างอิงถึงเจ้าของเอกสารทุกครั้งที่มีการนำไปใช้

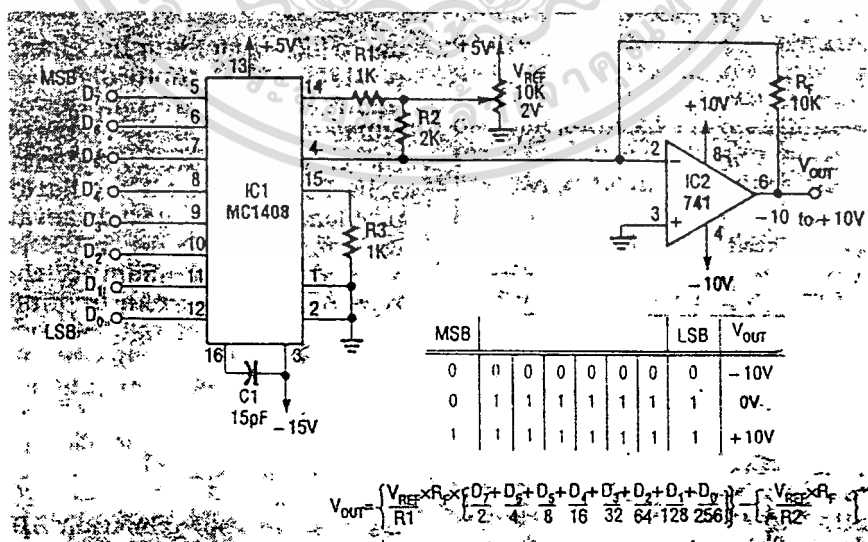
ความละเอียดของวงจรนี้มีขนาด 8 บิต หมายถึง แรงดันเอาต์พุตที่ได้สามารถเปลี่ยนแปลงได้ตั้งแต่ 0 จนถึง 10 โวลต์ โดยมีการเปลี่ยนแปลงได้ 256 ขั้น ๆ ละประมาณ 0.039 V รหัสเลขฐาน 16 ที่เป็น 00h จะทำให้อาต์พุตที่ได้เป็น 0 V ครึ่งหนึ่งของอินพุตคือ 7Fh จะทำให้อาต์พุต 5 โวลต์ออกมาที่เอาต์พุต เมื่ออินพุตเป็น FFh แรงดันที่ปรากฏทางเอาต์พุตจะมีค่าเท่ากับ 10 โวลต์

วงจรรูป 2.30 สามารถนำไปใช้ได้ทุก ๆ วงจรที่ต้องการใช้ตัว DAC เพื่ออินเตอร์เฟซสัญญาณดิจิทัลเข้ากับวงจรรอนาลอก รหัสดิจิทัลอาจจะได้มาจากพอร์ตของคอมพิวเตอร์, วงจรนับดิจิทัล หรือวงจร TTL ใด ๆ สัญญาณอนาลอกที่ได้ทางเอาต์พุตอาจนำไปใช้ขับมอเตอร์ภาคแสดงผล แอมพลิฟายเออร์เออร์ หรือวงจรรอนาลอกอื่น ๆ

รหัสเลขฐานสองขนาด 8 บิตถูกป้อนให้กับอินพุตของ DAC เอาต์พุตที่ได้จาก MC 1408 จะเป็นกระแสไฟฟ้าออกมาทางขา 4 ดังนั้นเราจึงต้องใช้โอซีโอบีแอมป์มาเปลี่ยนกระแสไฟฟ้าที่ได้ให้อยู่ในรูปของสัญญาณแรงดันไฟฟ้า

2.3.2 การประยุกต์ Bipolar D/A

จากตัวอย่างที่ผ่านมาเป็นวงจร Unipolar ซึ่งหมายถึง เอาต์พุตของวงจรเป็นได้เพียงบวกหรือลบอย่างใดอย่างหนึ่งเท่านั้น ถ้าเราต้องการเอาต์พุตที่สามารถเปลี่ยนแปลงได้จากค่าที่เป็นบวกไปถึงค่าที่เป็นลบ วงจรที่ใช้จึงเปลี่ยนมาเป็นวงจรในรูป 2.31 แทน



รูป 2.31 วงจร D/A แบบ Bipolar เอาต์พุตของวงจรสามารถ

เปลี่ยนแปลงจากแรงดันลบจนถึงแรงดันบวกได้

เอกสารนี้เป็นเอกสารที่สงวนไว้สำหรับใช้การเชิงพาณิชย์เท่านั้น เมื่อผู้ใดเห็นนำไปใช้ประโยชน์ด้านการค้าไม่ว่ากรณีใดๆ ทั้งสิ้น อีกทั้งห้ามมิให้ตัดแปลงเนื้อหา และต้องอ้างอิงถึงเจ้าของเอกสารทุกครั้งที่มีการนำไปใช้

การค่ออินพุทของออปแอมป์เข้ากับตัวต้านทานอ้างอิง R_2 เป็นการเปลี่ยนลักษณะของวงจรในส่วนอ้างอิง ทำให้เอาต์พุทของภาคขยายจะสวิงจาก -10 โวลต์ ถึง +10 โวลต์ เมื่อรหัสเลขฐานสองทางอินพุทเพิ่มขึ้นถึง 7Fh สัญญาณอนาลอกทางเอาต์พุทจะเพิ่มขึ้นจนถึง 0 โวลต์ และเมื่อรหัสเลขฐานสองทางอินพุทเป็น FFh เอาต์พุทจะเพิ่มขึ้นจนถึง +10 โวลต์

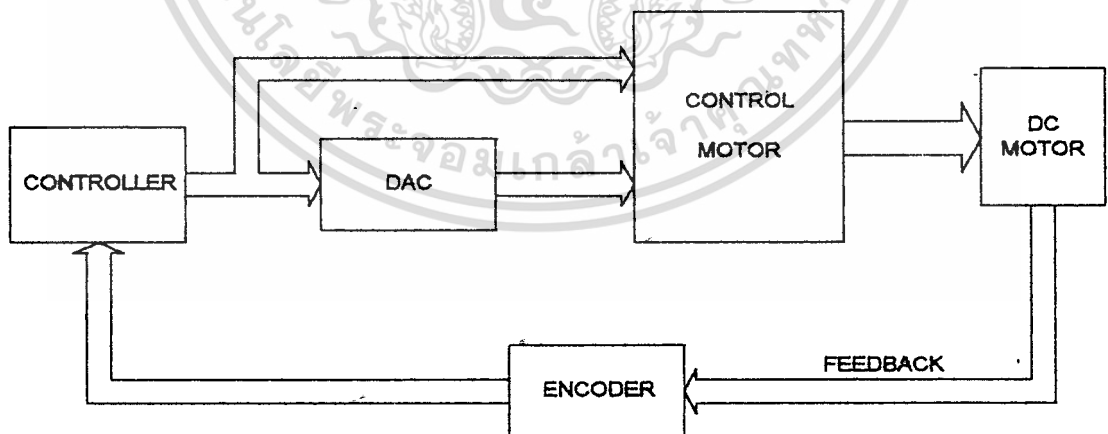
ในรูป 2.31 เป็น DAC ที่มีความละเอียดขนาด 8 บิต และมี setting time ประมาณ 300 ns และมีแรงดันทางเอาต์พุทเปลี่ยนแปลงจากลบถึงบวก หรือจากบวกถึงลบได้ ดังนั้นในการใช้งานใด ๆ ที่ต้องการคุณสมบัติของวงจร DAC ตามนี้ ก็สามารถนำเอาวงจรในรูป 2.31 ไปใช้งานได้

2.4 หลักการออกแบบและการสร้างระบบขับเคลื่อน

ในระบบขับเคลื่อนได้เลือกใช้ดีซีมอเตอร์แบบเส้นแรงแม่เหล็กมีค่าคงที่ และใช้การควบคุมความเร็วแบบ PWM ซึ่งมีข้อคิดจึงได้กล่าวมาแล้วในหัวข้อ 2.2 การออกแบบระบบขับเคลื่อนแสดงดังบล็อกไดอะแกรม รูป 2.32

สามารถแบ่งระบบขับเคลื่อนออกเป็น 2 ส่วน คือ

- ส่วนควบคุมดีซีมอเตอร์
- ส่วนป้อนกลับการทำงานของดีซีมอเตอร์



รูป 2.32 แสดงบล็อกไดอะแกรมของระบบขับเคลื่อน

2.4.1 ส่วนควบคุมดีซีมอเตอร์

วงจรในรูป 2.33 มีหลักการทำงานดังนี้คือ ส่วนคอนโทรลเลอร์จะส่งข้อมูล

ความเร็วออกมาจากไอโอพอร์ต เป็นข้อมูลทางดิจิทัลขนาด 8 บิตเข้าสู่ DAC เบอร์ MC1408 ซึ่งจะแปลงข้อมูลความเร็วทางดิจิทัลไปเป็นข้อมูลความเร็วทางอนาลอกออกทางขา 6 ของออปแอมป์ 741

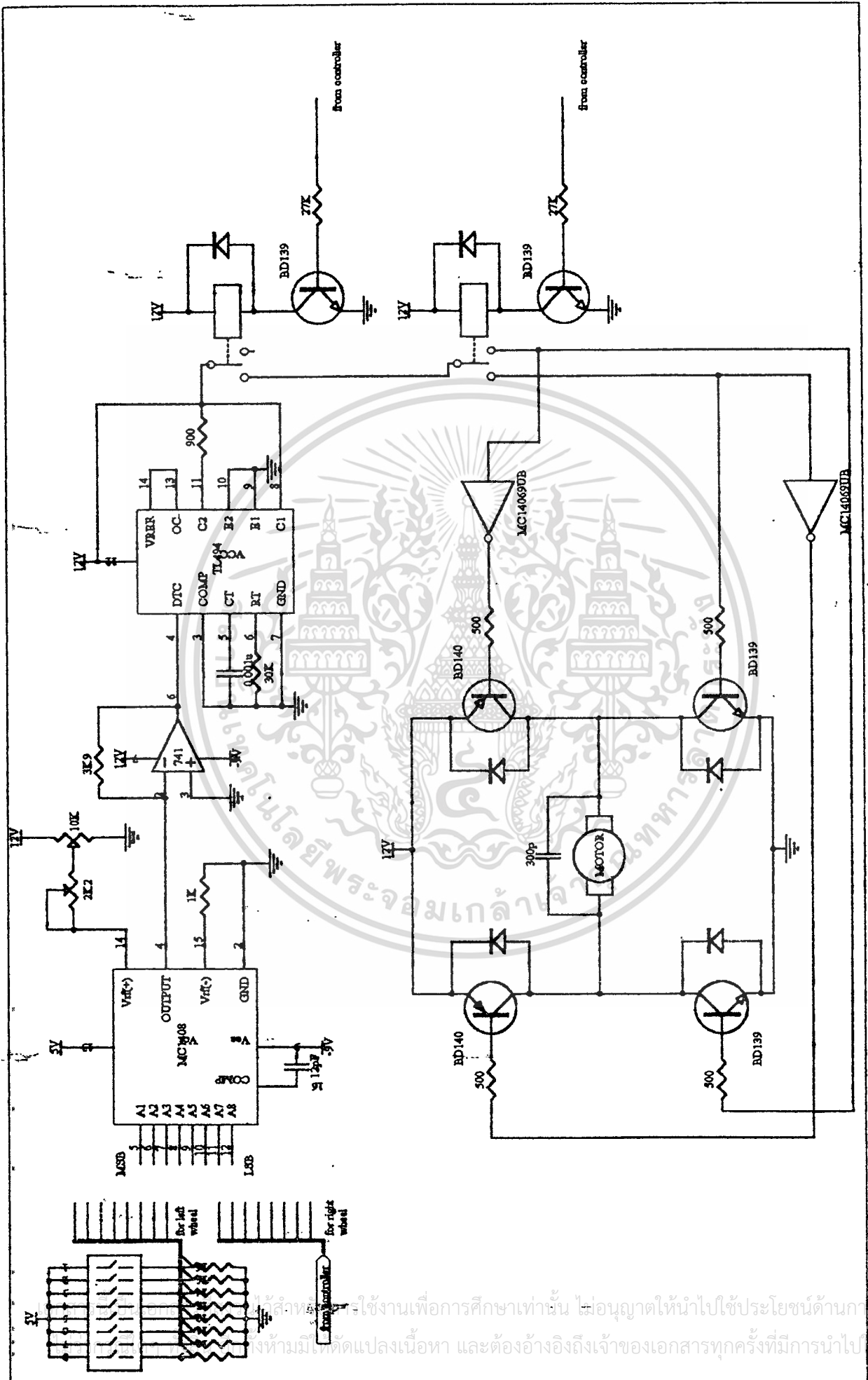
ข้อมูลความเร็วทางอนาลอกนี้จะนำไปต่อที่ขา 4 ของไอซี TL494 (ดูรายละเอียดในภาคผนวก ข) เป็นขา Dead time control ซึ่งเมื่อมีสัญญาณโวลต์เดจค่าต่าง ๆ เข้ามาที่ขานี้ จะให้เอาท์พุทออกมาที่ขา 11 เป็นสัญญาณพัลส์ที่มีความกว้างขึ้นกับระดับสัญญาณโวลต์เดจนั้น ๆ

เอาท์พุทจาก TL494 จะต่อเข้ากับวงจรมอเตอร์ ขยายสัญญาณควบคุมมอเตอร์โดยผ่านขาคอมมอนของรีเลย์ เพื่อควบคุมการเปิดปิดคีมอเตอร์ โดยใช้ข้อมูลจากไอโอพอร์ตของตัวคอนโทรลเลอร์ 1 บิต

สำหรับทิศทางการหมุนของคีมอเตอร์นั้น จะใช้รีเลย์เป็นตัวสวิตช์ให้หมุนไปหน้าหรือกลับหลังการควบคุมการสวิตช์ของรีเลย์จะอาศัยข้อมูลจากไอโอพอร์ตของตัวคอนโทรลเลอร์อีก 1 บิต

2.4.2 ส่วนป้อนกลับการทำงานของคีมอเตอร์

ใช้เอ็นโค้ดเดอร์ลักษณะคล้าย ๆ แบบโฟโต้อินคริเมนต์ โดยมีจานพลาสติกบางเป็นร่องโดยรอบติดอยู่ที่เพลลาของมอเตอร์ แล้วใช้ไอซีเบอร์ MOC75T1 (ดูรายละเอียดในภาคผนวก ข) มาเป็นเซ็นเซอร์วัดจำนวนรอบของมอเตอร์ ซึ่งไอซีตัวนี้จะประกอบด้วยตัวกำเนิดแสงเป็น LED และมีโฟโต้ดีเทคเตอร์ความเร็วสูง (high-speed photodetector) ทำหน้าที่เป็นตัวตรวจจับแสง เมื่อมอเตอร์หมุนจานพลาสติกที่เพลลาของมอเตอร์ก็จะหมุนไปเป็นจำนวนรอบที่เท่ากัน ร่องของจานพลาสติกจะทำหน้าที่ปิดและเปิดแสงจาก LED ทำให้โฟโต้ดีเทคเตอร์สามารถตรวจจับได้เป็นสัญญาณพัลส์ส่งไปนับโดยไมโครคอนโทรลเลอร์ได้



รูป 2.33 วงจรควบคุมความเร็วมอเตอร์

สงวนลิขสิทธิ์การใช้งานเพื่อการศึกษาเท่านั้น ไม่อนุญาตให้นำไปใช้ประโยชน์ด้านการค้า
ห้ามมิให้ดัดแปลงเนื้อหา และต้องอ้างอิงถึงเจ้าของเอกสารทุกครั้งที่มีการนำไปใช้

บทที่ 3

ระบบตรวจจับวัตถุและวัเคราะห์ทาง

อุลตราโซนิค (Ultrasonic)[1] หมายถึงคลื่นเสียงที่มีความถี่สูงเกินกว่าที่หูมนุษย์จะได้ยิน โดยทั่วไปแล้วหูมนุษย์โดยเฉลี่ยจะได้ยินเสียงสูงถึงเพียงแค่ประมาณ 15 กิโลเฮิร์ตซ์ เท่านั้น แต่คนที่อายุยังน้อย ๆ อาจจะได้ยินเสียงที่มีความถี่สูงกว่านี้ได้ ดังนั้นคำว่าอุลตราโซนิคจึงมักจะหมายถึงคลื่นเสียงที่มีความถี่สูงกว่า 20 กิโลเฮิร์ตซ์ ขึ้นไป

สาเหตุที่มีการนำเอาคลื่นย่านอุลตราโซนิคมาใช้ก็เพราะว่าเป็นคลื่นที่มีทิศทาง ซึ่งทำให้เราสามารถเล็งคลื่นเสียง ไปยังเป้าหมายที่ต้องการได้โดยเจาะจง เรื่องนี้เป็นคุณสมบัติของคลื่นอย่างหนึ่ง ยิ่งคลื่นมีความถี่สูงขึ้นความยาวคลื่นก็จะยิ่งสั้นลง ถ้าความยาวคลื่นยาวกว่าช่องเปิด (ที่ให้เสียงนั้นออกมา) ของตัวที่ให้กำเนิดคลื่นความถี่เสียงนั้น เช่น คลื่นความถี่ 300 เฮิร์ตซ์ ในอากาศจะมีความยาวถึงประมาณ 1 เมตรเศษ ๆ ซึ่งจะยาวกว่าช่องที่ให้คลื่นเสียงออกมาจากตัวกำเนิดเสียงโดยทั่วไปมากมาย คลื่นจะหักเบนที่ขอบด้านนอกของตัวกำเนิดเสียงทำให้เกิดการกระจายทิศทางคลื่น แต่ถ้าความถี่สูงขึ้นมาอยู่ในย่านอุลตราโซนิค อย่างเช่น 40 กิโลเฮิร์ตซ์ จะมีความยาวคลื่นในอากาศเพียงประมาณ 8 มม. เท่านั้น ซึ่งเล็กกว่ารูเปิดของตัวที่ให้กำเนิดเสียงความถี่นี้มาก ๆ คลื่นเสียงจะไม่มีการเลี้ยวเบนที่ขอบจึงพุ่งออกมาเป็นลำแคบ ๆ หรือที่เราเรียกว่ามีทิศทางนั่นเอง

การมีทิศทางของคลื่นเสียงย่านอุลตราโซนิค ทำให้สามารถนำไปใช้งานได้หลายอย่าง ซึ่งในโครงการรถหลบหลีกสิ่งกีดขวางอัตโนมัตินี้ เราได้นำมาประยุกต์ใช้เป็นเซ็นเซอร์วัเคราะห์ทาง เพื่อให้สามารถรับรู้ตำแหน่งของวัตถุที่กีดขวางการเคลื่อนที่ของรถ ดังนั้นจึงสามารถควบคุมให้รถเคลื่อนที่หลบหลีกวัตถุเหล่านี้ได้ โดยอาศัยไมโครคอนโทรลเลอร์ 8031 เป็นตัวประมวลผลและควบคุมมอเตอร์ขับเคลื่อน

อย่างไรก็ตามการใช้คลื่นอุลตราโซนิคมาเป็นตัวเซ็นเซอร์ โดยส่งคลื่นผ่านทางอุลตราโซนิคทรานสดิวเซอร์ (Ultrasonic Transducer) มีข้อจำกัดอยู่บ้างเนื่องจากทิศทางของตัวทรานสดิวเซอร์กับวัตถุเป้าหมายที่จะเป็นตัวแทนคลื่นอุลตราโซนิค ให้กลับมากกระทบทรานสดิวเซอร์ตัวรับ เป็นสิ่งสำคัญที่ต้องคำนึงถึง ปัญหาจึงเกิดขึ้นเนื่องจากในสภาพความเป็นจริงวัตถุเป้าหมายไม่ได้ตั้งอยู่ในแนวตั้งฉากกับระนาบทรานสดิวเซอร์เสมอไป จึงมีความเป็นไปได้สูงที่จะวัเคราะห์ทางไม่ได้ นอกจากนี้ความถี่เรโซแนนซ์ของทรานสดิวเซอร์ ก็ไม่อาจมองข้ามไปได้ เพราะว่าทรานสดิวเซอร์จะสามารถทำงานได้อย่างมีประสิทธิภาพสูงสุดที่ความถี่เท่านั้น

3.1 ลักษณะและการใช้งานโดยทั่วไปของอูลตราโซนิกทรานสดิวเซอร์

การมีทิศทางของคลื่นเสียงย่านอูลตราโซนิกทำให้เรานำไปใช้งานได้หลายอย่าง เช่น นำไปใช้ในเครื่องควบคุมระยะไกล (Ultrasonic remote control), เครื่องล้างอุปกรณ์ (Ultrasonic cleaner) โดยให้น้ำสั่นที่ความถี่สูง, เครื่องวัดความลึกและทำแผนที่ใต้ท้องทะเล, ใช้ในเครื่องหาตำแหน่งอวัยวะบางส่วนในร่างกาย, ใช้ทดสอบการรั่วของท่อ เป็นต้น โดยความถี่ที่ใช้ขึ้นกับการใช้งาน เช่น ถ้าคลื่นเสียงต้องเดินทางผ่านอากาศแล้ว ความถี่ที่ใช้ก็มักจะจำกัดอยู่เพียงไม่เกิน 50 กิโลเฮิรตซ์ เพราะที่ความถี่สูงกว่านี้ อากาศจะดูดกลืนคลื่นเสียงเพิ่มขึ้นมาก ทำให้ระดับความแรงของคลื่นเสียงที่ระยะห่างออกไปลดลงอย่างรวดเร็ว ส่วนการใช้งานด้านการแพทย์ซึ่งต้องการรัศมีทำการสั้น ๆ ก็อาจใช้ความถี่ในช่วง 1 เมกะเฮิรตซ์ถึง 10 เมกะเฮิรตซ์ ขณะที่ความถี่เป็นจิกะเฮิรตซ์ก็มีใช้กันหลาย ๆ การใช้งานที่ตัวกลางที่คลื่นเสียงเดินทางผ่านไม่ใช่ในอากาศ

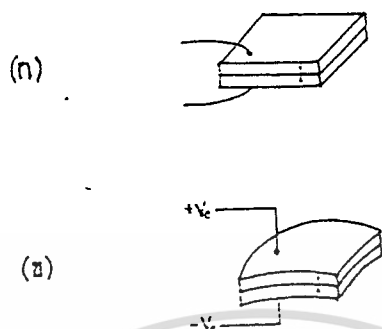
อุปกรณ์ที่สามารถแปลงพลังงานในรูปอื่นให้มาเป็นพลังงานทางกลโดยการสั่นไปมา ซึ่งทำให้เกิดคลื่นเสียงย่านอูลตราโซนิกกระจายไปในอากาศได้หรือแปลงพลังงานทางกลให้มาเป็นพลังงานในรูปอื่นได้นั้น มีชื่อเรียกเป็นภาษาเทคนิคว่า อูลตราโซนิกทรานสดิวเซอร์ (Ultrasonic transducer) ในปัจจุบันอูลตราโซนิกทรานสดิวเซอร์มีหลายแบบขึ้นกับหลักการที่ใช้แบบที่นิยมใช้กันมากได้แก่ แบบเพียโซอิเล็กทริก (piezo-electric transducer) ซึ่งแปลงไปมาระหว่างพลังงานไฟฟ้าและพลังงานกลโดยมีความถี่เรโซแนนซ์คงที่อยู่ค่าหนึ่ง แบบแมกนีโตรสตริกทีฟ (magnetostrictive transducer) ซึ่งแปลงไปมาระหว่างระหว่างพลังงานไฟฟ้าในขดลวดกับตำแหน่งความยาวของแกนเหล็กที่สวมขดลวดนั้นอยู่ และแบบอิเล็กโตรสตริกทีฟ (electrostrictive transducer) ซึ่งแปลงไปมาระหว่างพลังงานไฟฟ้ากับพลังงานทางกล

3.1.1 ทรานสดิวเซอร์แบบเพียโซอิเล็กทริก

ภายในตัวอูลตราโซนิกทรานสดิวเซอร์แบบเพียโซอิเล็กทริก แบบที่มีใช้กันในปัจจุบันซึ่งได้รับการพัฒนามาในระดับหนึ่งแล้ว จะประกอบด้วยชิ้นสารเซรามิกสี่เหลี่ยมซึ่งมีผิวโลหะเงินฉาบอยู่ทั้ง 2 หน้าเพื่อให้ต่อสายไฟออกมาเป็น 2 ขา ชิ้นสารเซรามิกนี้ประกอบด้วยชิ้นสารเซรามิก 2 ชิ้นประกบกันอยู่ โดยวางให้ขั้วโพลทางไฟฟ้าภายในอะตอมของมันมีทิศทางตรงกันข้ามกัน ดังแสดงเป็นลูกศรในรูป 3.1

ชิ้นสารเซรามิกถูกยึดติดภายในตัวดังอย่างนี้ เพื่อไม่ให้เกิดการสั่นขณะทำงานอยู่ ได้รับผลกระทบกระเทือนจากภายนอก ตัวดังมักจะเป็นรูปทรงกระบอกที่มีเส้นผ่านศูนย์กลางและมีความสูงประมาณ 1-2.5 เซนติเมตร ด้านหน้าทำเป็นช่องเปิดมีตระแกรงติดอยู่เพื่อให้คลื่นอูลตราโซนิกเข้ามาหรือออกจากช่องเปิดโดยสะดวก ถ้าตัวดังทำมาจากโลหะก็ควรต่อด้วยลวดเพื่อ

ทำหน้าที่ยึด



รูป 3.1 (ก) โครงสร้างภายในตัวลวดร้าวโชนิกทรานสคิวเซอร์แบบเปียโซอิเล็กทริกที่ใช้สารเซรามิก

(ข) เมื่อป้อนแรงดันให้แก่ตัวมันจะทำให้ชิ้นสารเซรามิกโค้งงอไปมาทำให้เกิดคลื่นเสียงลวดร้าวโชนิกกระจายไปในอากาศ

เมื่อมีสัญญาณแรงดันมาคคพร้อมขั้วทั้งสองของชิ้นสารเซรามิก ดังรูป 3.1 (ข) จะทำให้ชิ้นสารโค้งงอมากหรือน้อย หรือในทิศทางใดตามขนาดและทิศทางการเปลี่ยนแปลงขนาดของสัญญาณนั้นๆทำให้เกิดการก่อกวนอากาศโดยรอบเกิดเป็นคลื่นเสียงที่มีความถี่เดียวกับสัญญาณออกไป โดยทั่ว ๆ ไปกำลังเอาต์พุตที่ออกมาจะตกประมาณ 10% ของกำลังไฟฟ้าที่ป้อนเข้าไป แต่กำลังเอาต์พุตจะสูงสุดที่ค่าประมาณนี้ต่อเมื่อความถี่ของสัญญาณตรงกับความถี่เรโซแนนซ์ ซึ่งเป็นความถี่ทางกลตามธรรมชาติของชิ้นสารเซรามิกนั้น ส่วนที่ความถี่อื่น ๆ กำลังเอาต์พุตจะลดลงมากกว่านี้

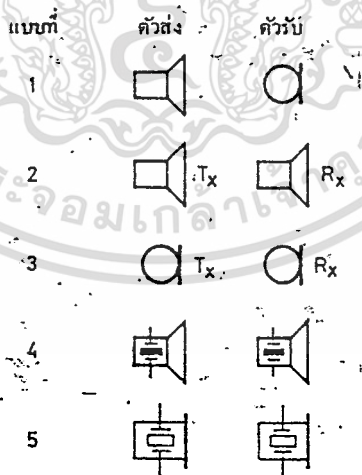
ในทำนองกลับกัน เมื่อมีคลื่นเสียงที่มีความถี่ตรงกับความถี่เรโซแนนซ์ของชิ้นสารเซรามิกเข้ามา จะทำให้ชิ้นสารโค้งงอไปมาและเกิดสัญญาณแรงดันซึ่งมีขนาดเล็กขึ้นมารวมขั้วทั้งสองของตัวมันเองได้ คุณสมบัติโดยทั่วไปของลวดร้าวโชนิกทรานสคิวเซอร์แบบเปียโซอิเล็กทริกก็คือ มีค่าความต้านทานไฟตรงสูงมาก อาจสูงถึง 100 เมกะโอห์มเรียกว่าถ้าเอามัลติมิเตอร์ธรรมดาติดตั้งสเกลวัดค่าความต้านทานสูง ๆ เข็มจะไม่กระดิกเลย แต่ขณะที่ทำงานความต้านทานทางค่านไฟสลับจะลดลง

3.1.2 ตัวส่งและตัวรับ

ทรานสคิวเซอร์แบบเปียโซอิเล็กทริกที่ใช้สารเซรามิก (หรือที่ผู้ผลิตบางรายเรียก เอกสารนี้เป็นเอกสารที่สงวนลิขสิทธิ์ไว้เพื่อการค้าเท่านั้น) เมื่อผู้ผลิตเห็นประโยชน์ในการค้า ไม่ว่าจะกรณีใดๆ ทั้งสิ้น อีกทั้งห้ามมิให้ตัดแปลงเนื้อหา และต้องอ้างอิงถึงเจ้าของเอกสารทุกครั้งที่มีการนำไปใช้

ว่าอุลตราโซนิกทรานสดิวเซอร์แบบเซรามิก) จะมีอยู่ 2 อย่าง คือ ตัวส่งหรือ transmitter และตัวรับ หรือ receiver

ตัวส่ง คือ อุลตราโซนิกทรานสดิวเซอร์ที่ถูกออกแบบเจาะจงมา ให้แปลงสัญญาณไฟฟ้าที่ให้แก่วัสดุให้ออกมาเป็นคลื่นเสียงย่านอุลตราโซนิก หน้าที่ของตัวส่งจึงคล้าย ๆ กับเป็นลำโพง ส่วน ตัวรับ คืออุลตราโซนิกทรานสดิวเซอร์ที่ถูกออกแบบเจาะจงมาให้แปลงคลื่นเสียงย่านอุลตราโซนิกที่มาจากกระทบตัวมัน ให้ออกมาเป็นสัญญาณไฟฟ้าหน้าที่ของตัวรับจึงคล้าย ๆ กับเป็นไมโครโฟน ด้วยเหตุนี้เวลาเขียนสัญลักษณ์ของอุลตราโซนิกทรานสดิวเซอร์จึงนิยมเขียนตามหน้าที่ของมันคือ ถ้าเป็นตัวส่งก็เขียนสัญลักษณ์เป็นลำโพงดังแบบที่ 1 ในรูป 3.2 แต่ก็มีหนังสือบางเล่มเขียนสัญลักษณ์ของทั้งตัวรับและตัวส่งเป็นไมโครโฟนหรือลำโพงอย่างใดอย่างหนึ่งไปเลย ดังแบบที่ 2 และ 3 แต่เขียนตัวอักษรว่า T_x และ R_x กำกับไว้ ที่ใช้สัญลักษณ์เหมือนกันเพราะหน้าตาของตัวรับและตัวส่งที่ออกแบบมาให้ใช้งานคู่กันจะมีหน้าตาเหมือนกันทุกกระเบียดนิ้ว แต่มีเบอร์บอกมาที่ด้านข้างให้รู้ว่าตัวใดเป็นตัวส่งและตัวรับและมีคุณสมบัติคล้ายคลึงกันมากจนสามารถนำมาใช้งานแทนกันได้โดยตรงในหลาย ๆ การใช้งาน บางเล่มก็เขียนรายละเอียดภายในตัวไมโครโฟนหรือภายในตัวลำโพงให้มีสัญลักษณ์ของผลึกแร่ (cystal) กำกับอยู่ด้วย ดังแบบที่ 4 และ 5



รูป 3.2 แสดงตัวอย่างการเขียนสัญลักษณ์ของอุลตราโซนิกทรานสดิวเซอร์แบบต่าง ๆ กัน

3.1.3 ข้อควรรู้ในการใช้งานตัวส่งและตัวรับ

สิ่งที่ควรรู้ขั้นต้นเพื่อเป็นแนวทางในการใช้งานมีดังนี้

เอกสารนี้เป็นเอกสารที่สงวนไว้สำหรับการใช้งานเพื่อการศึกษาเท่านั้น ไม่อนุญาตให้นำไปใช้ประโยชน์ด้านการค้า ไม่ว่าจะกรณีใดๆ ทั้งสิ้น อีกทั้งห้ามมิให้ดัดแปลงเนื้อหา และต้องอ้างอิงถึงเจ้าของเอกสารทุกครั้งที่มีการนำไปใช้

1. ไม่ควรให้ตัวทรานสดิวเซอร์ได้รับการกระแทกหรือตกจากที่สูง เพื่อป้องกันโครงสร้างภายในไม่ให้เสียหาย
2. ทรานสดิวเซอร์ที่ขายกันโดยทั่วไป จะทนแรงดันตกคร่อมตัวมันสูงสุดได้ไม่เกินกว่า $20 V_{rms}$ ดังนั้นขนาดสัญญาณที่จะป้อนให้กับตัวทรานสดิวเซอร์ก็ควรจะอยู่ภายในขีดจำกัดอันนี้
3. ความถี่เรโซแนนซ์ (ความถี่ที่ตัวมันทำงานได้อย่างมีประสิทธิภาพสูงสุด) ของทรานสดิวเซอร์ 40 กิโลเฮิร์ตซ์ ที่มีขายโดยทั่วไปจะผิดพลาดไปไม่เกิน ± 1 กิโลเฮิร์ตซ์ และมีแถบความถี่ (bandwidth) ประมาณ 4.5 กิโลเฮิร์ตซ์ สำหรับตัวส่ง และมีแถบความถี่ประมาณ 5.0 กิโลเฮิร์ตซ์ สำหรับตัวรับจะเห็นว่าแถบความถี่ของตัวรับจะกว้างกว่าของตัวส่งอยู่เล็กน้อย เพื่อให้แน่ใจว่าตัวรับสามารถรับความถี่ทั้งหมดที่ออกมาจากตัวส่งได้
4. อุณหภูมิใช้งานของตัวทรานสดิวเซอร์ควรอยู่ในช่วง -20 ถึง $+60$ องศาเซลเซียส
5. ทั้งตัวส่งและตัวรับจะมีทิศทางคล้ายคลึงกันมากกล่าวคือ ที่ตำแหน่งเบนจากแนวแกนของตัวส่งไปประมาณ 30 องศา ความแรงของคลื่นเสียงที่ถูกส่งออกไปจะลดจากแนวแกนประมาณ 10 เดซิเบล ในทำนองเดียวกันถ้าคลื่นเสียงพุ่งเข้ามาในแนวที่เบี่ยงเบนไปจากแนวแกนของตัวรับไปประมาณ 30 องศา ความไวหรือขนาดแรงดันที่ออกมาจะลดลงไปประมาณ 10 เดซิเบลด้วยเช่นกัน ดังนั้นในการใช้งานที่เป็นการควบคุมระยะไกลในที่โล่งแจ้งจึงควรพยายามให้ทั้งตัวรับและตัวส่งอยู่ในแนวที่พุ่งตรงเข้าหากันให้มากที่สุด อย่างไรก็ตามกรณีที่อยู่ในห้องอาจจะเบี่ยงเบนจากกันได้มากขึ้น เพราะคลื่นเสียงอุลตราโซนิกสามารถสะท้อนกับกำแพง, พื้น และวัตถุที่อยู่ภายในห้อง ทำให้คลื่นเสียงเข้าไปหาตัวรับได้หลายทาง
6. ในกรณีที่ใช้งานตัวรับจะต้องมีตัวต้านทานขนานกับตัวรับเพื่อทำหน้าที่ในการเป็นโหลด ตามปกติแล้วตัวต้านทานนี้ควรมีค่าอยู่ในช่วงจาก 10-100 กิโลโอห์ม จากการทดลองพบว่าถ้าเปลี่ยนโหลดจาก 100 กิโลโอห์มมาเป็น 10 กิโลโอห์ม ความไวจะลดลงประมาณ 10-12 เดซิเบล

3.2 การนำไปใช้ในวงจรวัดระยะทาง[5]

เนื่องจากโครงงานนี้เป็นโครงงานรดหลบหลักสิ่งกีดขวางอัลตราโซนิก ดังนั้นจึงจำเป็นต้องมีตัวตรวจจับ (Sensor) ไว้สำหรับประมาณระยะห่างระหว่างตัวรับและสิ่งกีดขวางเพื่อที่จะได้ไม่ชนกับสิ่งกีดขวางเหล่านั้น

เอกสารนี้เป็นเอกสารที่สงวนลิขสิทธิ์ต่าง ๆ ของตัวอุลตราโซนิกทรานสดิวเซอร์ซึ่งที่ได้กล่าวมาแล้วนั้น ไม่ว่ากรณีใดๆ ทั้งสิ้น อีกทั้งห้ามมิให้ตัดแปลงเนื้อหา และต้องอ้างอิงถึงเจ้าของเอกสารทุกครั้งที่มีการนำไปใช้

สามารถนำมาใช้ในเครื่องวัดระยะทางได้ เพื่อให้สอดคล้องกับแนวความคิดในการหลบหลีกสิ่งกีดขวาง จึงได้ใช้วงจรที่สามารถคำนวณระยะห่างจากตัวรถและสิ่งกีดขวาง ออกมาเป็นข้อมูลเลขฐานสองขนาด 8 บิต และข้อมูลนี้เป็นสิ่งสำคัญที่จะส่งไปส่วนควบคุมที่ใช้ไมโครคอนโทรลเลอร์อีกทีหนึ่ง

บล็อกไดอะแกรมการทำงานของวงจรวัดระยะทางโดยใช้อัลตราโซนิกทรานสดิวเซอร์แสดงดังรูป 3.3 สำหรับการอธิบายการทำงานนั้นจะพิจารณาร่วมกับวงจรวัดระยะทางดังรูป 3.4 และ 3.5

วงจรประกอบด้วยส่วนประกอบย่อย ๆ ดังนี้

1. วงจรภาคส่งคลื่นอัลตราโซนิก
2. วงจรภาครับคลื่นอัลตราโซนิก
3. วงจรออสซิลเลเตอร์กำเนิดความถี่ 17,300 เฮิรตซ์
4. ฟลิปฟลอปควบคุมการทำงานของแลตซ์
5. แลตซ์
6. เคา์นเตอร์
7. 3-8 ดีโค้ดเคอร์
8. อนุาลอกสวิทซ์
9. ออร์เกต
10. อินเวอร์ทเคอร์และบัฟเฟอร์

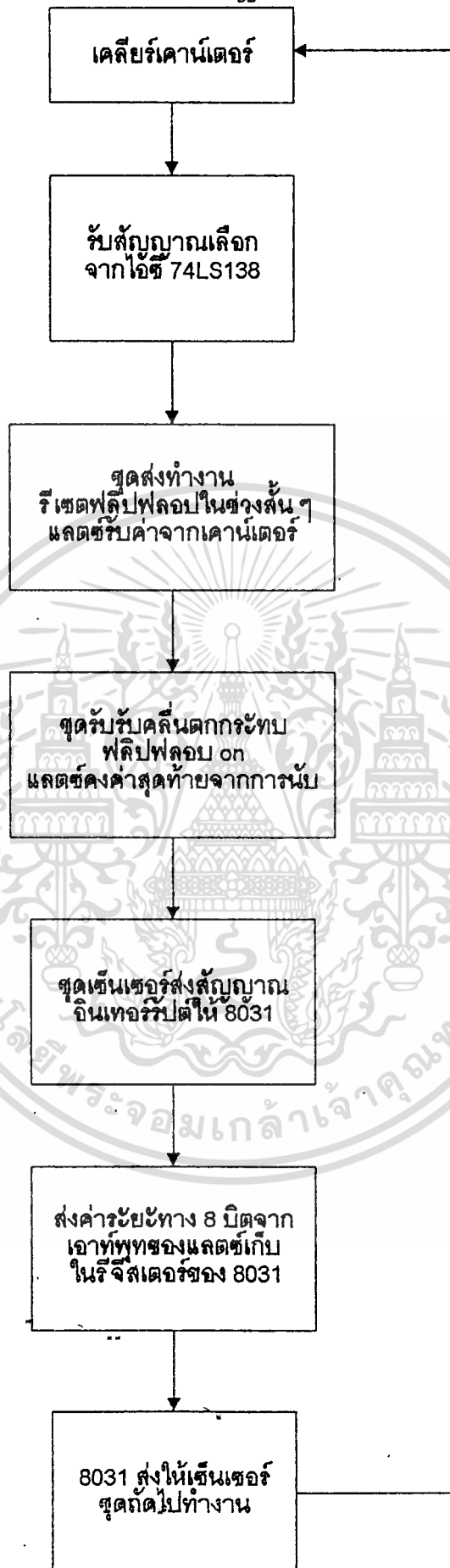
3.2.1 วงจรภาคส่งคลื่นอัลตราโซนิก

วงจรภาคส่งคลื่นอัลตราโซนิกทำหน้าที่ส่งคลื่นอัลตราโซนิกผ่านทางอัลตราโซนิกทรานสดิวเซอร์ ออกไปเป็นระยะเวลาที่กำหนด เนื่องจากอัลตราโซนิกทรานสดิวเซอร์ที่ใช้มีความถี่เรโซแนนซ์ 40 กิโลเฮิรตซ์ ดังนั้นวงจรภาคส่งจะต้องผลิตพัลส์ที่มีความถี่ 40 กิโลเฮิรตซ์ ป้อนให้กับทรานสดิวเซอร์ ซึ่งส่วนต่าง ๆ ในวงจรภาคส่งทำหน้าที่ดังนี้

1) โอชี 4093 ประกอบด้วยแเนคเกทแบบซิมิทริกเกอร์ 4 ตัว (ใช้ 2 ตัว) นำมาต่อเป็นวงจรกำเนิดความถี่แบบบริดจ์ ทำให้แรงดันป้อนเข้าสู่ทรานสดิวเซอร์สูงเป็น 2 เท่าของแรงดันไฟจากไฟเลี้ยง (9 โวลต์) และตัวต้านทานปรับค่าได้สำหรับปรับความถี่ให้ได้ 40 กิโลเฮิรตซ์

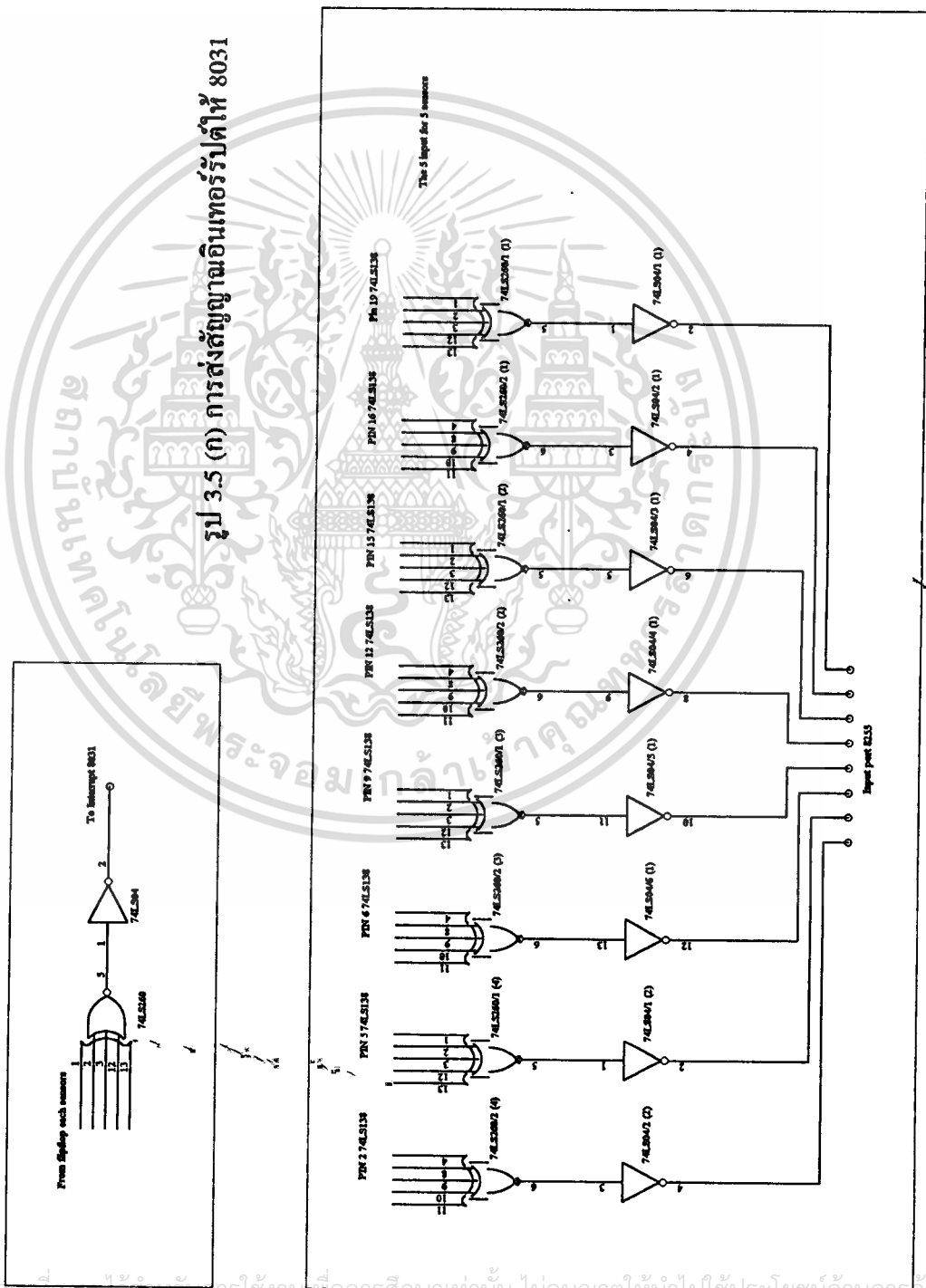
2) วงจรโมนอสเตเบิล ประกอบด้วยอินเวอร์ทเคอร์แบบซิมิทริกเกอร์ต่อกับความต้านทานและตัวเก็บประจุ ดังรูป 3.6 เพื่อกำเนิดพัลส์ลอจิก 1 เป็นระยะเวลาตามที่กำหนดโดยค่า

ของค่าความต้านทานและตัวเก็บประจุ ทำให้สามารถควบคุมวงจรภาคส่งให้ส่งคลื่นอัลตราโซนิกใน
ไม่ว่ากรณีใดๆ ทั้งสิ้น อีกทั้งห้ามมิให้ตัดแปลงเนื้อหา และต้องอ้างอิงถึงเจ้าของเอกสารทุกครั้งที่มีการนำไปใช้



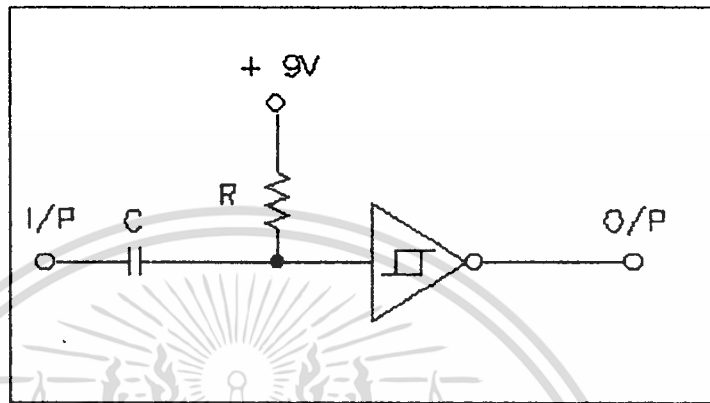
เอกสารนี้เป็นเอกสารที่สงวนไว้สำหรับการใช้งานเพื่อการศึกษาเท่านั้น ไม่อนุญาตให้นำไปใช้ประโยชน์ด้านการค้า
 รูป 3.3 บล็อกไดอะแกรมการทำงานของระบบชุดคร่ำโซนิคเซ็นเซอร์
 ไม่ว่าจะกรณีใดๆ ทั้งสิ้น อีกทั้งห้ามมีเหตุดัดแปลงเนื้อหา และต้องอ้างอิงถึงเจ้าของเอกสารทุกครั้งที่มีการนำไปใช้

รูป 3.5 (ก) การสังตัญญาณอินเทอร์พรีตีให้ 8031



รูป 3.5 (ข) แสดงการส่งข้อมูล
ระยะทาง 8 บิตเข้า 8031

ระยะเวลาที่กำหนด เมื่ออินพุทได้รับค่าโวลต์เดจที่เป็นลอจิก 0 ก็จะทำให้เกิดเป็นพัลซ์ขึ้นมา 1 ลูก และในครั้งต่อไปเมื่ออินพุทได้รับค่าโวลต์เดจที่เป็นลอจิก 1 จะเป็นการคายประจุ (discharge) ของคาปาซิเตอร์ซึ่งในขณะที่เอาท์พุทยังคงค่าลอจิก 0 อยู่ (ไม่มีพัลซ์เกิดขึ้น)



รูป 3.6 วงจรโมโนสเตเบิล

3.2.2 วงจรภาครับคลื่นอุลตราโซนิค

ในโครงการนี้จะใช้อุลตราโซนิคทรานสดิวเซอร์ทั้งตัวรับและตัวส่งที่เหมือนกัน เพราะสามารถใช้แทนกันได้ โดยจะมีทรานซิสเตอร์สำหรับขยายแรงดัน (BC549) ภาครับคลื่นอุลตราโซนิคนี้จะทำงานร่วมกับฟลิปฟล็อปซึ่งจะไปควบคุมการทำงานของแลตซ์อีกทีหนึ่ง หน้าทีของส่วนต่าง ๆ ในภาครับมีดังนี้

- 1) ภาคขยาย ใช้ทรานซิสเตอร์ BC549 ซึ่งเป็นชนิด NPN คอเป็นวงขยายแรงดัน
- 2) การควบคุมฟลิปฟล็อป ใช้ทรานซิสเตอร์ BC599 ซึ่งเป็นชนิด PNP ทำการควบคุมฟลิปฟล็อป คือให้ฟลิปฟล็อปอยู่ในสถานะ off ($\bar{Q} = 1$) ตั้งแต่เริ่มส่งคลื่นออกจากภาคส่งจนกระทั่งรับที่ภาครับ เมื่อคลื่นมากระทบทรานสดิวเซอร์ตัวรับ ทรานซิสเตอร์ BC599 จะทำการควบคุมให้ฟลิปฟล็อปอยู่ในสถานะ on ($\bar{Q} = 0$) ทันที

3.2.3 วงจรออสซิลเลเตอร์กำเนิดความถี่ 17,300 เฮิรตซ์

จะใช้อินเวอร์ทเตอร์แบบรหิมตกเกอร์ 2 ตัวต่อเป็นวงจรกำเนิดความถี่ โดยมีตัวต้านทานปรับค่าได้ 20 กิโลโอห์ม สำหรับปรับความถี่ให้ได้ 17,300 เฮิรตซ์

สำหรับตัวต้านทานปรับค่าได้ 5 กิโลโอห์ม ทำหน้าที่เป็นความต้านทานชดเชย ซึ่งมีผลให้วงจรทำงานถูกต้อง (การใส่ตัวต้านทานตัวนี้ เป็นผลมาจากเกิดข้อผิดพลาดของระยะทางที่วัดได้ ซึ่งพบจากการทดลอง) พัลส์ความถี่ 17,300 เฮิรตซ์ นี้จะถูกส่งไปนับที่ส่วนเคาน์เตอร์

3.2.4 ฟลิปฟลอปควบคุมการทำงานของแลตซ์

ตามที่ได้กล่าวมาข้างต้น ฟลิปฟลอปจะถูกควบคุมจากทรานซิสเตอร์ BC559 อีกที่ ฟลิปฟลอปที่ใช้เป็น JK ฟลิปฟลอป เมื่อคลื่นออสซิลเลเตอร์มากระทบกับทรานซิสเตอร์ตัวรับแล้ว เอาท์พุทขา 1 (Q) จะเป็นลอจิก 1 นั่นคือ \overline{Q} เป็นลอจิก 0 (ฟลิปฟลอป on) ซึ่งการที่ \overline{Q} เปลี่ยนจากลอจิก 1 เป็นลอจิก 0 นั้นจะนำมาใช้เป็นกลไกในการควบคุมแลตซ์

3.2.5 แลตซ์

เมื่อสัญญาณจากฟลิปฟลอป (\overline{Q}) อยู่ในสถานะลอจิก 1 (ยังไม่มีคลื่นมากระทบทรานซิสเตอร์ตัวรับ) และ JK ฟลิปฟลอป off ($\overline{Q} = 1$) ข้อมูลจากเคาน์เตอร์สามารถผ่านแลตซ์ออกมาได้โดยเอาท์พุทของแลตซ์ก็จะเปลี่ยนไปตามค่าอินพุทซึ่งได้จากการนับ

เมื่อสัญญาณจาก \overline{Q} เป็นลอจิก 0 (เมื่อได้รับคลื่นตกกระทบที่ขั้วรับ) ทำให้ค่าจากเคาน์เตอร์ไม่สามารถผ่านแลตซ์ไปได้ ซึ่งตอนนี้เอาท์พุทของแลตซ์ (74LS373) จะคงค่าสุดท้ายที่ผ่านเข้ามาทางอินพุท ซึ่งค่านี้ก็คือค่าของระยะทางที่วัดได้ ซึ่งอยู่ในรูปของเลขฐานสอง 8 บิตนั่นเอง

3.2.6 เคาน์เตอร์

เมื่อวงจรกำเนิดพัลส์ความถี่ 17,300 เฮิรตซ์ ป้อนเข้าสู่เคาน์เตอร์ เอาท์พุทของเคาน์เตอร์จะเป็นสัญญาณพัลส์ความถี่ 17,300 เฮิรตซ์ ที่ถูกหารทีละ 2 ไปตามจำนวนเอาท์พุท ในโครงการนี้ใช้เคาน์เตอร์ 2 ตัว มาต่อกันเพื่อจะส่งค่าข้อมูลให้ได้ 8 บิตไปที่แลตซ์

3.2.7 3-8 ดีโคเดเซอร์

เนื่องจากจำนวนเซ็นเซอร์ที่ใช้ทั้งหมด 5 ชุด ดังนั้นเพื่อที่จะส่งค่าข้อมูลเลขฐานสอง 8 บิต ไปเข้าพอร์ตของไมโครคอนโทรลเลอร์ 8031 จึงต้องใช้ Decoder มาเพื่อให้ข้อมูลเข้าไปประมวลผลทีละชุด Decoder ที่ใช้คือเบอร์ 74LS138 อินพุท (ขา ABC) ของ 74LS138 จะถูกส่งโดย 8031 ผ่านทางพอร์ตของ 8255 อีกทีหนึ่ง

3.2.8 อนาล็อกสวิตช์

ใช้เบอร์ 4066 สัญญาณควบคุมอนาล็อกสวิตช์ถูกควบคุมจาก 74LS138 เอาท์พุทของ 4066 จะเป็นอินพุทให้กับวงจรโมโนสเตเบิล

3.2.9 ออร์เกต

ใช้เบอร์ 74LS260 ซึ่งเป็นออร์เกต (OR gate) ที่มี 5 อินพุท ซึ่งรับค่าอินพุทมาจากเซ็นเซอร์ทั้ง 5 ชุด ข้อมูลจากเซ็นเซอร์ทั้ง 5 ชุด คือ

- 1) ค่าระยะทาง 8 บิต
- 2) สัญญาณที่จะทำการอินเทอร์รัปต์ 8031

3.2.10 อินเวอร์ทเคอร์และบัฟเฟอร์

อินเวอร์ทเคอร์ที่ใช้เป็นเบอร์ 74LS04 ทำหน้าที่เปลี่ยนแปลงค่าลอจิกของสัญญาณให้เป็นตรงข้าม ในการเชื่อมโยงระหว่างเอาท์พุทของไอซี TTL กับอินพุทของไอซี CMOS นั้นจะต้องนำบัฟเฟอร์มาใช้ (ใช้เบอร์ 7407) ซึ่งจะทำให้การชดเชยระดับแรงดันลอจิก 1 ของไอซี TTL ให้สูงพอที่จะเป็นลอจิก 1 ของไอซี CMOS ได้

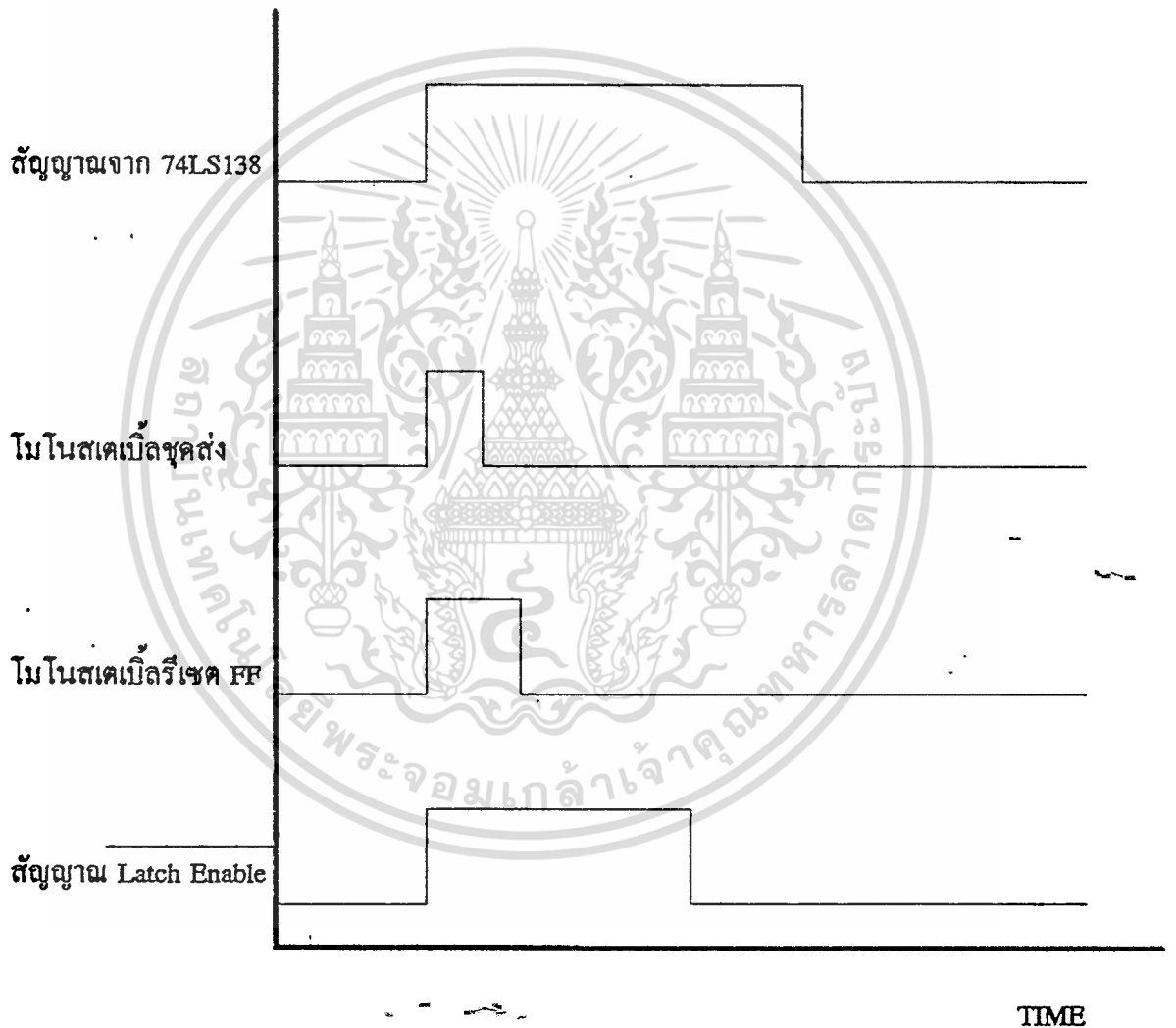
จากที่กล่าวมาข้างต้นจะเห็นได้ว่าไอซี TTL ที่ใช้จะเป็นประเภท LS TTL (ยกเว้น 7407) เพราะว่าการเชื่อมโยงระหว่างเอาท์พุทของไอซี CMOS กับอินพุทของไอซี TTL นั้น LS TTL สามารถลดกระแสที่จ่ายให้กับไอซี CMOS ได้ เพราะในกรณีดังกล่าวไอซี CMOS ไม่ต้องการกระแสไหลเข้าค่าสูง ๆ

สำหรับไทม์มิ่งไดอะแกรมของสัญญาณควบคุมต่าง ๆ นั้นแสดงดังรูป 3.7

สรุปการทำงานโดยรวมดังนี้

เมื่อภาคส่งคลื่นอุลตราโซนิกได้รับสัญญาณเลือกจาก 8031 ภาคส่งจะทำหน้าที่ส่งคลื่นอุลตราโซนิกความถี่ 40 กิโลเฮิร์ตซ์ ออกมาในระยะเวลาสั้น ๆ (ในการทำงานแต่ละครั้ง) ตามการทำงานของวงจรโมโนสเตเบิล ในขณะที่วงจรโมโนสเตเบิลอีกชุดหนึ่งที่ควบคุมฟลิปฟล็อป จะทำการรีเซ็ตให้ฟลิปฟล็อปอยู่ในสถานะ off ($Q=0$, $\overline{Q}=1$) โดยให้ off อยู่ตลอดเวลา (เพราะว่าป้อนขา reset) เป็นระยะเวลาหนึ่ง (2ms) เพื่อป้องกันคลื่นส่งออกไปแล้วภาครับจะรับทันทีเนื่องจากทรานสดิวเซอร์ตัวรับและตัวส่งวางอยู่ติดกัน

การที่ฟลิปฟล็อปอยู่ในสถานะ off ($\overline{Q} = 1$) ทำให้ข้อมูลจากเคาน์เตอร์สามารถผ่านออกมาที่แลคซ์ได้โดยเอาท์พุทของแลคซ์จะเปลี่ยนแปลงตลอดเวลา นั่นคือยังไม่เป็นข้อมูลของระยะทางที่วัดได้



รูป 3.7 ไทม์มิ่งไดอะแกรมของสัญญาณควบคุมต่าง ๆ

เอกสารนี้เป็นเอกสารที่สงวนไว้สำหรับการใช้งานเพื่อการศึกษาเท่านั้น ไม่อนุญาตให้นำไปใช้ประโยชน์ด้านการค้า
ไม่ว่ากรณีใดๆ ทั้งสิ้น อีกทั้งห้ามมิให้ดัดแปลงเนื้อหา และต้องอ้างอิงถึงเจ้าของเอกสารทุกครั้งที่มีการนำไปใช้

เมื่อคลื่นอุลตราโซนิกมากระทบยังทรานสดิวเซอร์ตัวรับ ทำให้ฟิลิปฟลอปเปลี่ยนสถานะไปเป็น on ($Q=1$, $Q=0$) ข้อมูลจากเคาน์เตอร์จะไม่สามารถผ่านแลตซ์ไปได้ และข้อมูลที่ปรากฏที่เอาท์พุทของแลตซ์ก็คือ ระยะทางที่วัดได้ซึ่งอยู่ในรูปของเลขฐานสอง 8 บิต

เหตุผลที่ใช้วงจรรอสซิลเลเตอร์กำเนิดพัลส์ความถี่ 17,300 เฮิรตซ์ เพราะว่าต้องการให้ข้อมูลที่เอาท์พุทของแลตซ์มีค่าของระยะทางเป็นเซนติเมตรเลย โดยไม่ต้องแปลงหรือนำไปคำนวณอีก พิจารณาจากการที่กำหนดให้อุลตราโซนิกมีความเร็วในอากาศเป็น 346 m/s (นั่นคือ 34600 cm/s)

จากสูตรของความเร็ว

$$v = s / t \quad (3.1)$$

เมื่อ s เป็นระยะทาง และ t เป็นเวลา

แต่จากหลักการวัดระยะทางโดยใช้คลื่นอุลตราโซนิกนี้ ให้คลื่นเคลื่อนที่จากแหล่งกำเนิดออกไปกระทบวัตถุแล้วสะท้อนกลับมายังตัวรับ เพราะฉะนั้นระยะทางก็จะเป็น 2 เท่าของระยะห่าง ($2s$ ในสูตร) และเวลาก็จะเป็น 2 เท่าด้วยเช่นกัน เนื่องจากความเร็วคงที่ ดังนั้นจะได้

$$v = s / t = 2s / 2t \quad (3.2)$$

และเนื่องจากความเร็วเป็น 34,600 cm/s เปรียบกับออสซิลเลเตอร์ให้กำเนิดคลื่นถี่เหลี่ยม 34,600 ลูก / วินาที นั่นคือความถี่ 34,600 เฮิรตซ์

เนื่องจากต้องใช้เวลาเป็น 2 เท่าเมื่อระยะทางเป็น 2 เท่า นั่นคือความถี่ลดลง 2 เท่า ดังนั้นต้องผลิตความถี่ 34,600/2 เฮิรตซ์ (17300 เฮิรตซ์) ให้เคาน์เตอร์นับ จึงจะได้ผลที่ถูกต้องและนำไปใช้ได้เลย ข้อมูลระยะทาง 8 บิต จะถูกส่งไปยัง 8031 เพื่อเป็นข้อมูลสำหรับการหลบหลีกกรด

- พอร์ตอินพุท / เอาท์พุทแบบขนานจำนวน 32 เส้น ซึ่งสามารถแยกการทำงานได้อย่างอิสระ

- วงจรนับ / จับเวลาขนาด 16 บิตจำนวนสองวงจร

- วงจรสื่อสารแบบอนุกรมแบบฟูลดูเพล็กซ์ (Full Duplex)

- วงจรควบคุมการอินเทอร์รัปต์จากแหล่งกำเนิดสัญญาณ 6 ประเภทพร้อมการกำหนดลำดับความสำคัญได้สองระดับ

หนวดลำดับความสำคัญได้สองระดับ

- วงจรออสซิลเลเตอร์ภายในเพื่อใช้สร้างสัญญาณนาฬิกาควบคุมการทำงานในตัวเอง

เอง

4.1.1 การกำหนดหน้าที่ขาสัญญาณของ 8031

ไมโครคอนโทรลเลอร์ 8031 มีรูปร่างของไอซีเป็นแบบดิพ (DIP) ขนาด 40 ขา แสดงเป็นแผนภาพในรูป 4.2 แต่ละขาสัญญาณจะมีหน้าที่ระบุชัดเจนตามสัญลักษณ์ชื่อย่อที่กำกับในแต่ละขา แต่จะมีบางขาสัญญาณที่อาจจะมีหน้าที่ได้มากกว่าหนึ่งอย่างซึ่งไม่สามารถใช้งานในเวลาเดียวกันได้ การกำหนดว่าจะทำงานในลักษณะใดจะขึ้นอยู่กับ การเชื่อมต่อวงจรเข้ากับขาสัญญาณและโปรแกรมควบคุมของระบบนั้น

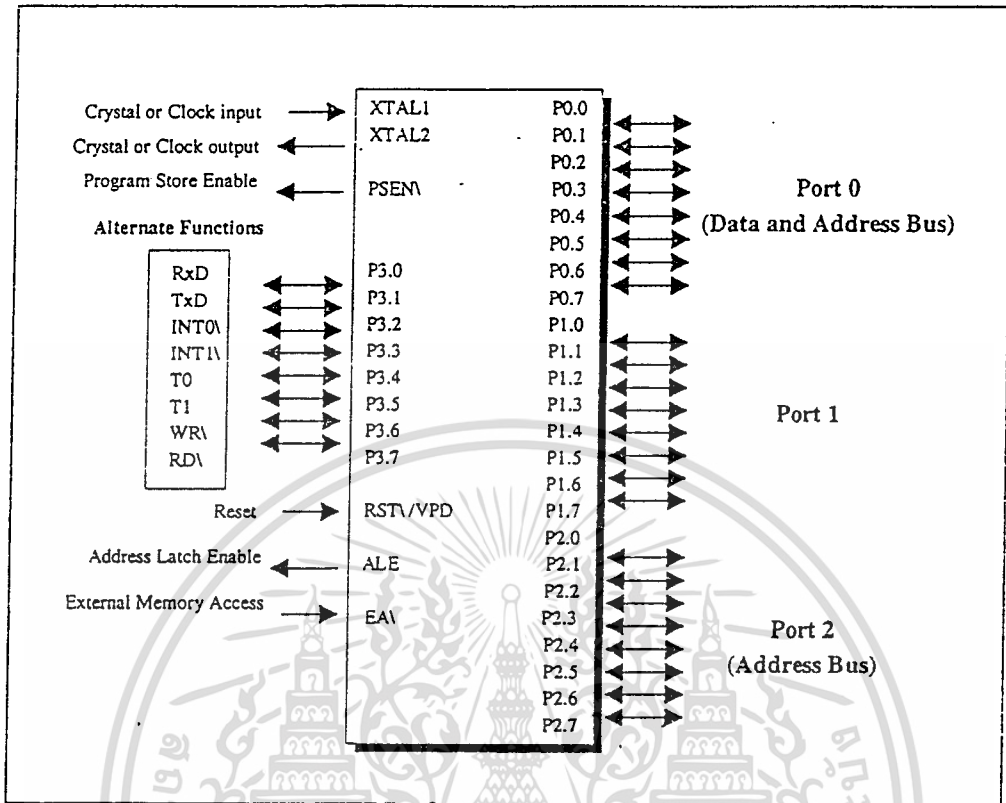
4.1.2 หน่วยความจำของ 8031

1. หน่วยความจำโปรแกรม

ไมโครคอนโทรลเลอร์เบอร์ 8031 ไม่มีหน่วยความจำโปรแกรมอยู่ภายในตัวไอซี ดังนั้นในการใช้งานต้องใช้หน่วยความจำโปรแกรมภายนอกเสมอ

2. หน่วยความจำสำหรับเก็บข้อมูล

เป็นหน่วยความจำประเภทแรม หน่วยความจำข้อมูลของ 8031 จะมีอยู่ 2 ชุดคือ หน่วยความจำข้อมูลภายในมีอยู่จำนวน 128 ไบต์ (00H ถึง 7FH) ถูกแบ่งออกเป็น 3 ส่วนคือ ส่วนของรีจิสเตอร์แบงก์ (00H-1FH) , ส่วนพิเศษที่สามารถเข้าถึงตำแหน่งบิตได้โดยตรง (20F-2FH) และส่วนที่ใช้งานทั่วไป (3H-7FH) ใน 128 ไบต์บน (80H ถึง FFH) เป็นที่อยู่ของรีจิสเตอร์ฟังก์ชันพิเศษ และอีกชุดหนึ่งเป็นหน่วยความจำข้อมูลภายนอกมีได้สูงสุด 64 กิโลไบต์



รูป 4.2 แสดงการกำหนดหน้าที่ขาสัญญาณของ ไอซี 8031

4.1.3 รีจิสเตอร์สำหรับใช้งานทั่วไป

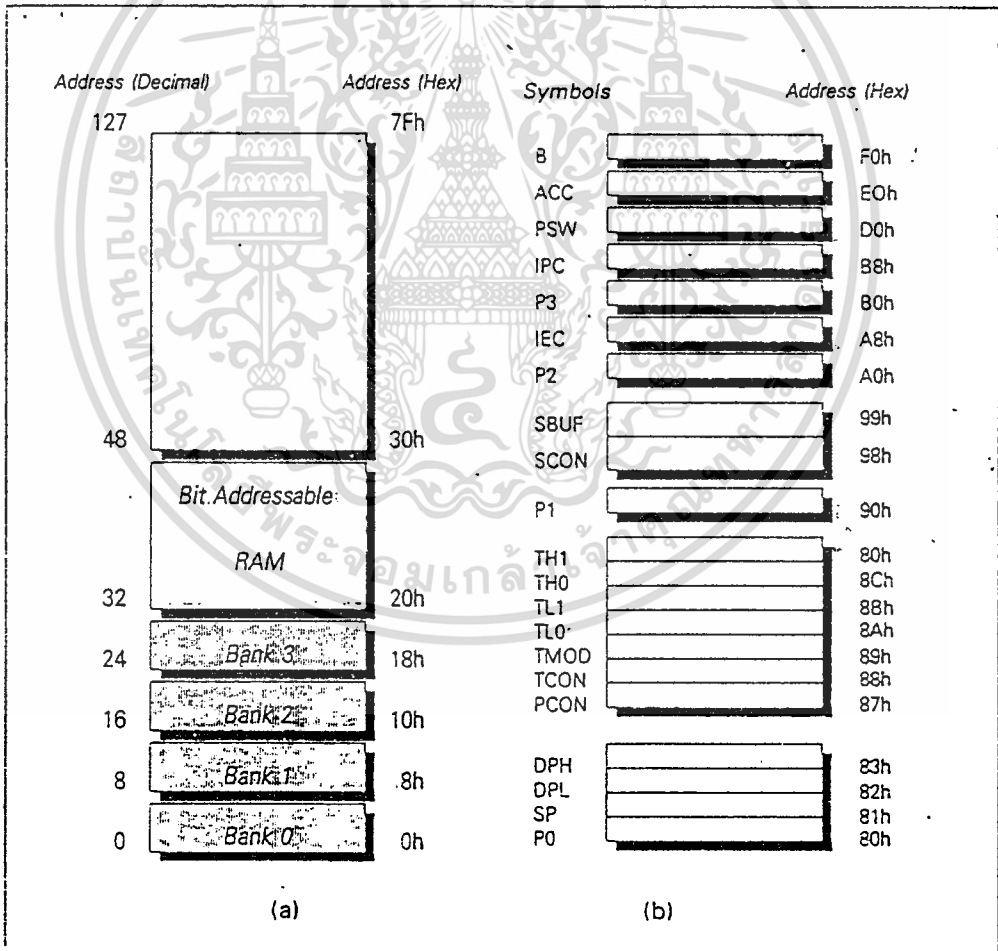
รีจิสเตอร์ใช้งานทั่วไป R0-R7 อยู่ในหน่วยความจำสำหรับเก็บข้อมูลทั่วไปภายในชิปบริเวณ 128 ไบต์แรก รีจิสเตอร์ใช้งานทั่วไป R0-R7 มีอยู่ด้วยกันทั้งหมด 4 กลุ่มซึ่งมีชื่อเหมือนกัน ในการทำงานขณะใด ๆ รีจิสเตอร์ทั้ง 4 กลุ่มจะถูกใช้งานเพียงกลุ่มเดียวเท่านั้น การเลือกใช้งานรีจิสเตอร์ R0-R7 กลุ่มใดกลุ่มหนึ่ง ทำได้โดยการเซตหรือเคลียร์บิต RS0, RS1 ในรีจิสเตอร์ใช้งานเฉพาะ PSW ซึ่งค่าที่เปลี่ยนแปลงไปในรีจิสเตอร์ใช้งานทั่วไปที่ถูกเลือกใช้งานขณะนั้น จะไม่มีผลต่อรีจิสเตอร์ใช้งานทั่วไปที่มีชื่อเดียวกันแต่อยู่คนละกลุ่มเลย แสดงการจัดพื้นที่ของรีจิสเตอร์ใช้งานทั่วไปในรูป 4.3 (a)

4.1.4 รีจิสเตอร์ใช้งานเฉพาะ

รีจิสเตอร์ใช้งานเฉพาะหรือ SFR (Special Function Register) ข้อมูลที่ถูกนำไปเก็บไว้ในรีจิสเตอร์เหล่านี้จะมีความหมายเฉพาะตัวของรีจิสเตอร์ ที่แต่ละตำแหน่งของ SFR อาจจะไม่ใช่เป็นหน่วยความจำ (RAM) แต่อาจจะเป็นตัวนับ (count register), ชิฟตรีจิสเตอร์ หรือ เอกสารนี้เป็นเอกสารที่สงวนไว้สำหรับการใช้งานเพื่อการศึกษาเท่านั้น ไม่นอนุญาตให้นำไปใช้ประโยชน์ด้านการค้า ไม่ว่าจะกรณีใดๆ ทั้งสิ้น อีกทั้งห้ามมิให้ตัดแปลงเนื้อหา และต้องอ้างอิงถึงเจ้าของเอกสารทุกครั้งที่มีการนำไปใช้

แลตซ์ ซึ่งการอ้างข้อมูลในแต่ละตำแหน่งนั้น 8031 จะถือเสมือนว่าเป็นหน่วยความจำตำแหน่งหนึ่ง รีจิสเตอร์ใช้งานเฉพาะทั้งหมดใน 8031 อาจแยกตามประเภทการใช้งานดังนี้

- รีจิสเตอร์ที่ใช้ควบคุมการทำงานของ 8031 โดยรวม ได้แก่ รีจิสเตอร์ PSW, PCON
- รีจิสเตอร์ที่ใช้ควบคุมการตอบสนองสัญญาณอินเตอร์รัปต์ ได้แก่ รีจิสเตอร์ IE, IP
- รีจิสเตอร์ที่ใช้ควบคุมการทำงานของโหมดเมอร์/แกนเคอร์ ได้แก่ รีจิสเตอร์ TCON, TMOD
- รีจิสเตอร์ที่ใช้ควบคุมการทำงานของพอร์ตสื่อสารอนุกรม ได้แก่ รีจิสเตอร์ SCON



รูป 4.3 แสดงการจัดพื้นที่หน่วยความจำข้อมูลภายในเพื่อใช้งานเป็นรีจิสเตอร์

(a) ช่วงตั้งแต่แอสแตร 00-19H เป็นแบงก์ของรีจิสเตอร์ใช้งานทั่วไป

(b) ช่วงแอสแตร 80-FFH เป็นพื้นที่ของรีจิสเตอร์ใช้งานเฉพาะ

การจัดพื้นที่สำหรับรีจิสเตอร์ใช้งานเฉพาะเหล่านี้ แสดงดังในรูป 4.3 (b)

4.1.5 ชุดคำสั่งของ 8081

สามารถจัดกลุ่มคำสั่งตามลักษณะหน้าที่การทำงานที่คล้ายคลึงกัน ดังนี้

1. กลุ่มคำสั่งทางคณิตศาสตร์ (Arithmetic Instruction) ประกอบด้วยคำสั่งในการบวก ลบ คูณ หาร รวมทั้งคำสั่งในการเพิ่มค่าข้อมูลในหน่วยความจำสำหรับเก็บข้อมูลทั่วไปภายในชิป

2. กลุ่มคำสั่งทางตรรกศาสตร์ (Logical Instructions) ประกอบด้วยกลุ่มคำสั่งทางตรรกศาสตร์ เช่น แอนด์, ออร์, เอกซ์คลูซีฟ-ออร์, คอมพลิเมนต์ รวมทั้งคำสั่งสำหรับเลื่อนบิตข้อมูลไปทางซ้ายหรือขวาโดยผ่านบิตแครีแฟลกซ์หรือไม่ก็ได้ นอกจากนี้ยังมีคำสั่งพิเศษที่ใช้ในการสลับที่ข้อมูล 4 บิตบนและ 4 บิตล่าง (SWAP)

3. กลุ่มคำสั่งเคลื่อนย้ายข้อมูล (Data Transfer Instructions) เป็นคำสั่งที่ใช้สำหรับการเคลื่อนย้ายข้อมูล หรือนำข้อมูลที่ได้จากการประมวลผลไปเก็บในหน่วยความจำบริเวณใดบริเวณหนึ่ง หรือย้ายข้อมูลไปยังรีจิสเตอร์เพื่อประมวลผล เนื่องจากคำสั่งบางคำสั่งจำเป็นต้องทำงานที่รีจิสเตอร์เฉพาะตัวเท่านั้น เช่น คำสั่งในการคูณหรือหารที่ทำงานกับรีจิสเตอร์ A,B เท่านั้น คำสั่งในกลุ่มนี้แบ่งออกเป็นกลุ่มคำสั่งย่อย ๆ ดังนี้

- กลุ่มคำสั่งสำหรับเคลื่อนย้ายข้อมูลในหน่วยความจำสำหรับเก็บข้อมูลที่อยู่ภายในชิป

- กลุ่มคำสั่งสำหรับเคลื่อนย้ายข้อมูลในหน่วยความจำสำหรับเก็บข้อมูลที่อยู่ภายนอกชิป

- กลุ่มคำสั่งสำหรับเคลื่อนย้ายข้อมูลในหน่วยความจำเก็บโปรแกรมภายนอกชิป

4. กลุ่มคำสั่งในการควบคุมลำดับการทำงานของโปรแกรม (Program Control Instructions) เป็นคำสั่งที่ใช้ในการควบคุมลำดับการทำงานของโปรแกรม ในกลุ่มคำสั่งนี้แบ่งออกเป็นคำสั่งที่มีเงื่อนไขและไม่มีเงื่อนไขทำให้การเขียนโปรแกรมสะดวกมากขึ้น

5. กลุ่มคำสั่งสำหรับการประมวลผลแบบบูลีน (Boolean Instructions) การประมวลผลแบบบูลีนเป็นการประมวลผลด้วยข้อมูลขนาด 1 บิต โดยมีหน่วยความจำขนาด 1 บิตสำหรับประมวลผลซึ่งสามารถอ้างตำแหน่งได้โดยตรง หน่วยความจำนี้จะอยู่ในบริเวณเดียวกับหน่วยความจำสำหรับเก็บข้อมูลทั่วไปภายในชิปและที่ใช้เป็นรีจิสเตอร์ใช้งานเฉพาะบางตัว

4.1.6 เวลาของการประมวลผลคำสั่ง

เวลาในการประมวลผลคำสั่งหนึ่งจนเสร็จสิ้นของ 8031 จะนับเป็นหน่วยของแมชชีนไซเคิล (Machine cycle) การคำนวณหาว่าเวลาที่ใช้ในการทำคำสั่งใดจนเสร็จสิ้นจะต้องดูว่าคำสั่งนั้นใช้จำนวนแมชชีนไซเคิลเป็นเท่าใดในการประมวลผลเวลาที่ใช้จะคำนวณตามสูตร

$$T = (C * 12) / \text{Crystal Frequency}$$

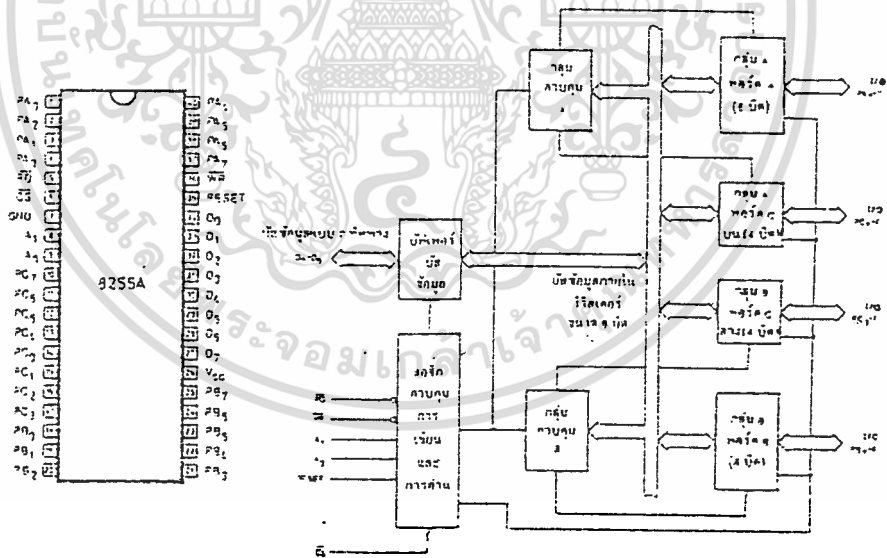
C คือค่าจำนวนแมชชีนไซเคิล

4.2 การใช้ 8255 กับ 8031

4.2.1 รายละเอียดเกี่ยวกับ 8255

8255 เป็นอุปกรณ์ LSI (Large Scale Integrated Circuit) บรรจุอยู่ในแพ็คเกจ (package) 40 ขาแบบดีพ (Dual-In-Line Package : DIP)

รูป 4.4 แสดงบล็อกไดอะแกรมของ 8255 ซึ่งหน้าที่ของแต่ละบล็อกมีดังต่อไปนี้



รูป 4.4 แสดงแผนผังวงจรภายในและการจัดขาของไอซี 8255

บล็อกกลุ่มแรกมีจำนวน 4 บล็อกอยู่ทางด้านขวาของรูป เป็นส่วนที่เชื่อมต่อกับอุปกรณ์ภายนอกอื่น ๆ โดยมีสาย PA0-PA7, PB0-PB7 และ PC0-PC7 เป็นทางผ่านของข้อมูลระหว่างอุปกรณ์ภายนอกกับ 8255 สายสัญญาณเหล่านี้ถูกแบ่งออกเป็น 3 พอร์ตได้แก่ พอร์ต A

(PA), พอร์ต B (PB) และพอร์ต C (PC) พอร์ตเหล่านี้แต่ละพอร์ตสามารถเป็นได้ทั้งพอร์ตอินพุต (รับข้อมูลเข้า) และพอร์ตเอาต์พุต (ส่งข้อมูลออก) ไม่ว่ากรณีใดๆ ทั้งสิ้น อีกทั้งห้ามมิให้ตัดแปลงเนื้อหา และต้องอ้างอิงถึงเจ้าของเอกสารทุกครั้งที่มีการนำไปใช้

และเอาท์พุท และแต่ละบล็อกรจะมีสายสัญญาณเชื่อมเข้ากับบัสข้อมูลภายในของ 8255

บล็อกกลุ่มถัดมาได้แก่ กลุ่มควบคุม A และ กลุ่มควบคุม B ซึ่งจะเป็นตัวกำหนดลักษณะการทำงานของทั้งสามไอโอพอร์ต (8255 มีลักษณะการทำงานที่แตกต่างกันอยู่ 3 โหมด สามารถกำหนดได้โดยการโปรแกรมส่งคอนโทรลเวิร์ดให้กับ 8255) จากรูป 4.4 จะเห็นว่าพอร์ต C นี้จะประกอบด้วยพอร์ตขนาด 4 บิต 2 พอร์ต กลุ่มหนึ่งจะถูกควบคุมโดยกลุ่มควบคุม A และกลุ่มหนึ่งจะถูกควบคุมโดยกลุ่มควบคุม B

บล็อกสุดท้ายที่จะกล่าวถึงได้แก่ คาต้าบัสบัฟเฟอร์ และ ลอจิกควบคุมการอ่านและการเขียน ซึ่งบล็อกเหล่านี้จะเป็นส่วนที่ติดต่อกับซีพียู คาต้าบัสบัฟเฟอร์นี้จะเป็นบัฟเฟอร์ให้กับบัสข้อมูลของซีพียู ส่วนลอจิกควบคุมการอ่านและการเขียน จะเป็นส่วนที่ควบคุมให้ข้อมูลเข้าหรือออกจากรีจิสเตอร์ภายในตัวที่ถูกต้องและในเวลาที่เหมาะสม

4.2.2 รายละเอียดการจัดเรียงขาของ 8255

ในส่วนนี้เราจะพิจารณาหน้าที่ของขาแต่ละขาของ 8255 ซึ่งข้อมูลเหล่านี้จะมีประโยชน์ในการเชื่อมต่อเข้ากับระบบบัสของซีพียู สำหรับการจัดขาแสดงดังรูป 4.4 รายละเอียดของแต่ละขามีดังนี้คือ

D0-D7 : เป็นสายข้อมูลอินพุทเอาท์พุทแบบสองทิศทาง (Bidirectional bus) จะเป็นทางผ่านของข้อมูลพอร์ตต่าง ๆ ของ 8255 กับบัสข้อมูลของ 8031

CS (Chip Select Input) : เมื่อขานี้มีสถานะลอจิกเป็น 0 ซีพียูจะสามารถอ่านหรือเขียนข้อมูลกับ 8255 ได้

RD (Read Input) : เมื่อขานี้มีสถานะลอจิกเป็น 0 และสัญญาณ CS มีลอจิกเป็น 0 ข้อมูลจาก 8255 จะปรากฏสู่ระบบบัสข้อมูลซีพียูก็จะสามารถอ่านข้อมูลออกไปได้

WR (Write Input) : เมื่อขานี้มีสถานะลอจิกเป็น 0 และขาสัญญาณ CS มีลอจิกเป็น 0 ข้อมูลจากระบบบัสข้อมูลจะถูกเขียนเข้าไปยัง 8255 ได้

A0-A1 (Address Input) : จะเป็นตัวกำหนดการเลือกรีจิสเตอร์ภายในของ 8255

RESET : เมื่อขานี้มีสถานะเป็น 1 8255 จะอยู่ในสภาวะรีเซ็ตทุก ๆ พอร์ตของ 8255 จะถูกรีเซ็ตให้อยู่ในโหมดอินพุท

PA0-PA7, PB0-PB7 : ขาสัญญาณเหล่านี้จะถูกใช้เพื่อเป็นพอร์ตไอโอ ขนาด 8 บิต ใช้ต่อเข้ากับอุปกรณ์ภายนอกอื่น ๆ

PC0-PC7 : ขาสัญญาณนี้ถูกใช้เพื่อเป็นพอร์ตไอโอขนาด 8 บิต ใช้ต่อเข้ากับอุปกรณ์

เอกสารนี้เป็นเอกสารที่สงวนไว้สำหรับการใช้งานเพื่อการศึกษาเท่านั้น ไม่อนุญาตให้นำไปใช้ประโยชน์ด้านการค้าไม่ว่ากรณีใดๆ ทั้งสิ้น อีกทั้งห้ามมิให้ดัดแปลงเนื้อหา และต้องอ้างอิงถึงเจ้าของเอกสารทุกครั้งที่มีการนำไปใช้

ภายนอกอื่น เช่นเดียวกับ PA0-PA7, PB0-PB7 แต่กลุ่มของขาสัญญาณเหล่านี้สามารถแบ่งออกเป็น 2 กลุ่มโดยแต่ละกลุ่มมีขนาด 4 บิตได้ กลุ่มแรกจะใช้ควบคุม PB0-PB7 และกลุ่มที่สองใช้ควบคุม PA0-PA7

4.3 ส่วนแสดงผล

ในโครงการรถหลบหลีกสิ่งกีดขวางอัตโนมัตินี้ ใช้แอลซีดี โมดูล (LCD MODULE) ในการแสดงผล

แอลซีดีแบ่งออกเป็นพวก ๆ ได้ดังนี้

1. แบบตัวอักษร
2. แบบกราฟฟิก
3. แบบตัวเลข

4.3.1 ส่วนประกอบของแอลซีดี แบ่งได้เป็น

1. ฟลิกแสดงผล (DOT MATRIX LCD) เป็นตัวแสดงผลให้เรามองเห็นในลักษณะการปิดและเปิดตัวเองกับแสง ก็คือส่วนที่เป็นตัวกระจกบรรจุผลึก
2. ตัวขับผลึก (DRIVER) เป็นตัวรับสัญญาณจากตัวควบคุมมาขับผลึกแอลซีดีอีกทีหนึ่ง โดยมีเบอร์ที่นิยมใช้ในแอลซีดี เช่น HD44100H , MSM5259
3. คอนโทรลเลอร์ (CONTROLLER) เป็นตัวรับข้อมูลจากอุปกรณ์ภายนอกมาและจัดการควบคุมแอลซีดี ให้ทำงานแสดงผลต่าง ๆ เช่น การลบจอภาพ, การเกิดตัวอักษร เป็นต้น

สำหรับโครงการนี้จะใช้แอลซีดีรุ่น DMC161C ซึ่งมีจอแสดงผล แบบ 16 ตัวอักษร 1 บรรทัด 5*8 จุด มีคอนโทรลเลอร์เป็นไอซีเบอร์ DH44780

การศึกษาการทำงานและการใช้งานแอลซีดีนั้น ขอเพียงแค่เข้าใจการทำงานของส่วนคอนโทรลเลอร์ก็เพียงพอแล้ว ซึ่งในแต่ละบริษัทจะใช้ตัวคอนโทรลเลอร์ ที่มีลักษณะการทำงานเหมือน ๆ กันเป็นส่วนใหญ่ คอนโทรลเลอร์แอลซีดีเบอร์ HD44780 ซึ่งใช้ในโครงการนี้เป็นเบอร์ที่นิยมมากที่สุด โดยรูปแบบการทำงานของมันนั้นได้เป็นมาตรฐานให้กับ คอนโทรลเลอร์แอลซีดีตัวอื่น ๆ ด้วย

4.3.2 การต่อใช้งาน HD44780

HD44780 เป็นไอซี LSI ตัวหนึ่งใช้ควบคุมแอลซีดี โดยแสดงผลในรูปแบบตัว

อักษรหรือสัญลักษณ์ต่าง ๆ ตัวมันเองสามารถต่อใช้งานแบบ 4 บิตหรือ 8 บิตได้ โดยถ้าเราต่อแบบ 4 บิต จะต่อใช้งานที่ DB7-DB4 เท่านั้น โดยข้อมูลครั้งแรกที่ส่งนั้น DH44780 จะถือเป็นข้อมูลที่ส่งต่อมาเป็นข้อมูล 4 บิตล่าง





ขาต่าง ๆ ในการต่อใช้งานแอลซีดี ที่ใช้คอนโทรลเลอร์เบอร์ DH44780

1. RS (Register Selection) จะเป็นขาเลือกกรีจิสเตอร์ภายในซึ่งมีอยู่ 2 ตัว คือ Instruction Register (IR) และ Data register (DR) โดยถ้าเป็น 1 จะเลือกค่า และถ้าเป็น 0 จะเป็นการเลือกคำสั่ง แสดงดังตาราง 4.1

2. R/W (Read / Write) เป็นตัวเลือกว่าจะเขียนข้อมูลหรืออ่านจากตัวไอซี โดยอ่านข้อมูล = 1 และเขียนข้อมูล = 0

3. E (Enable Signal) เป็นขากำหนดสภาพการรับเขียนอ่านข้อมูล

ตาราง 4.1 แสดงการกำหนดการรับเขียนอ่านข้อมูล

| RS | R/W | E | Operation |
|----|-----|---|--|
| 0 | 0 |  | IR write as internal operation (Display clear, etc.) |
| 0 | 1 |  | Read busy flag (DB ₇) and address counter (DB ₀ ~ DB ₆) |
| 1 | 0 |  | DR write as internal operation (DR to DD or CG RAM) |
| 1 | 1 |  | DR read as internal operation (DD or CG RAM to DR) |

4. DB0-DB7 เป็นขารับส่งข้อมูลจากตัวไอซี

5. VDD ไฟเลี้ยงตัววงจร ± 5 โวลต์

6. VSS เป็นขากราวด์

7. VO เป็นขารับโวลต์เตจในการขับแอลซีดีให้สว่างหรือมืด

เราสามารถต่อ VR ปรับค่าได้ 2 แบบ

- ต่อกราวด์ในกรณีแอลซีดีแบบธรรมดา

- ต่อไฟลบในกรณีแอลซีดีบางรุ่นที่ต้องใช้ไฟลบ เช่น LM201 ซึ่งเราอาจประ

ยุกต์ใช้ไฟลบได้จากขา 6 ของไอซี MAX232 ได้

เอกสารนี้เป็นเอกสารที่สงวนไว้สำหรับการใช้งานเพื่อการศึกษาเท่านั้น ไม่อนุญาตให้นำไปใช้ประโยชน์ด้านการค้า ไม่ว่าจะกรณีใดๆ ทั้งสิ้น อีกทั้งห้ามมิให้ดัดแปลงเนื้อหา และต้องอ้างอิงถึงเจ้าของเอกสารทุกครั้งที่มีการนำไปใช้

ตาราง 4.2 แสดงขาต่าง ๆ ในการต่อใช้งานแอลซีดี

| Pin No. | Symbol | Level | Function |
|---------|-----------------|----------|---|
| 1 | V _{SS} | — | 0V |
| 2 | V _{DD} | — | -5V |
| 3 | V ₀ | — | — |
| 4 | RS | H/L | L : Instruction code input H : Data input |
| 5 | R/W | H/L | H : Data read (LCD module MPU) L : Data write (LCD module MPU) |
| 6 | E | H, H → L | Enable signal |
| 7 | DB0 | H/L | Data bus line Note (1), (2) |
| 8 | DB1 | H/L | |
| 9 | DB2 | H/L | |
| 10 | DB3 | H/L | |
| 11 | DB4 | H/L | |
| 12 | DB5 | H/L | |
| 13 | DB6 | H/L | |
| 14 | DB7 | H/L | |

การต่อแอลซีดีเข้ากับระบบไมโครคอนโทรลเลอร์ สามารถทำได้ 2 แบบ ได้แก่ แบบเมมโมรีแมป (MEMORY MAP) และแบบไอโอพอร์ต

1. แบบเมมโมรีแมป เป็นการต่อแอลซีดีเข้ากับระบบไมโครคอนโทรลเลอร์ โดยจะกินเนื้อที่ของหน่วยความจำไปส่วนหนึ่ง แต่มีข้อดีคือ สามารถลดความยุ่งยากซับซ้อนในการเขียนโปรแกรม

2. แบบไอโอพอร์ต แบบนี้จะต่อแอลซีดีเข้ากับพอร์ตอินพุทเอาต์พุทของระบบไมโครคอนโทรลเลอร์ ซึ่งจะไม่เสียพื้นที่ในหน่วยความจำเหมือนแบบเมมโมรีแมป แต่มีข้อเสียคือ จะมีความยุ่งยากในการเขียนโปรแกรม

โครงการทดลองหลักสิ่งกีดขวางอัตโนมัติ นี้ เลือกการต่อแอลซีดีเข้ากับระบบไมโครคอนโทรลเลอร์แบบไอโอพอร์ต โดยพอร์ต A ของตัว 8255_2 เป็นคำสั่งพอร์ต และพอร์ต B เป็นพอร์ตสัญญาณควบคุม

เมื่อเราเริ่มเปิดไฟป้อนให้ DH44780 แล้วก็จะทำการรีเซ็ตตัวมันเอง โดยใช้เวลาประมาณ 10 ms หลังจากไฟ VDD ถึง 4.5 โวลต์แล้วต้องทำการรีเซ็ตตัวเองโดยคำสั่งต่าง ๆ ดังนี้

1. DISPLAY CLEAR
2. FUNCTION SET
3. ON / OFF DISPLAY
4. ENTRY MODE SET

เอกสารนี้เป็นเอกสารที่สงวนไว้สำหรับการใช้งานเพื่อการศึกษาเท่านั้น ไม่อนุญาตให้นำไปใช้ประโยชน์ด้านการค้า ไม่ว่าจะกรณีใดๆ ทั้งสิ้น อีกทั้งห้ามมิให้ดัดแปลงเนื้อหา และต้องอ้างอิงถึงเจ้าของเอกสารทุกครั้งที่มีการนำไปใช้

ตาราง 4.3 แสดงคำสั่ง DH44780

| Intruction | Code | | | | | | | | | | Execution Time (max) (when f_{cp} or f_{osc} is 250 kHz) |
|-----------------------------|------|-----|-----------------|-----------------|-----------------|-----------------|-----------------|-----------------|-----------------|-----------------|---|
| | RS | R/W | DB ₇ | DB ₆ | DB ₅ | DB ₄ | DB ₃ | DB ₂ | DB ₁ | DB ₀ | |
| Clear Display | 0 | 0 | 0 | 0 | 0 | 0 | 0 | 0 | 0 | 1 | 1.64 ms |
| Return Home | 0 | 0 | 0 | 0 | 0 | 0 | 0 | 0 | 0 | * | 1.64 ms |
| Entry Mode Set | 0 | 0 | 0 | 0 | 0 | 0 | 0 | 1 | I/D | S | 40 μ s |
| Display On/Off Control | 0 | 0 | 0 | 0 | 0 | 0 | 1 | D | C | B | 40 μ s |
| Cursor or Display Shift | 0 | 0 | 0 | 0 | 0 | 1 | S/C | R/L | * | * | 40 μ s |
| Function Set | 0 | 0 | 0 | 0 | 1 | DL | N | F | * | * | 40 μ s |
| Set CG RAM Address | 0 | 0 | 0 | 1 | ACG | | | | | | 40 μ s |
| Set DD RAM Address | 0 | 0 | 1 | ADD | | | | | | | 40 μ s. |
| Read Busy Flag & Address | 0 | 1 | BF | AC' | | | | | | | 0 μ s |
| Write Data to CG or DD RAM | 1 | 0 | Write Data | | | | | | | | 40 μ s |
| Read Data from CG or DD RAM | 1 | 1 | Read Data | | | | | | | | 40 μ s |

เอกสารนี้เป็นเอกสารที่สงวนไว้สำหรับใช้ในการใช้งานเพื่อการศึกษาเท่านั้น ไม่อนุญาตให้ทำซ้ำได้โดยไม่ได้รับอนุญาต

ไม่ว่ากรณีใดๆ ทั้งสิ้น อีกทั้งห้ามมิให้ตัดแปลงเนื้อหา และต้องอ้างอิงถึงเจ้าของเอกสารทุกครั้งที่มีการนำไปใช้

จากนั้นจึงสามารถสั่งงานให้แอลซีดีแสดงผลตามที่ต้องการได้ โดยในการโปรแกรมใช้งานจะต้องมีส่วนกำเนิดพัลส์เพื่ออีนามิลคำสั่งต่าง ๆ ซึ่งคำสั่งต่าง ๆ ของ DH44780 แสดงดังตาราง 4.3

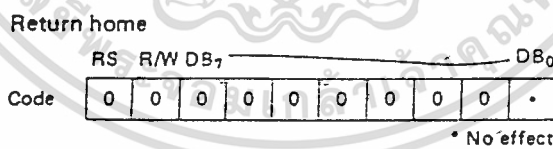
4.3.3 รายละเอียดของคำสั่ง DH44780

1. CLEAR DISPLAY คำสั่งนี้จะเป็นการเขียนช่องว่าง (ASCII 20H) เข้าไปในหน่วยความจำเก็บข้อมูลในการแสดงผล : คีดี แรม (DISPLAY DATA RAM : DD RAM) ทั้งหมดและทำการตั้งแอดเดรสของหน่วยความจำเหล่านี้ให้เป็นศูนย์ ตัวเคอร์เซอร์จะกลับไปอยู่ตำแหน่งบนสุดซ้ายมือของจอภาพ เซ็ต I/D = 1, S ไม่มีการเปลี่ยน สามารถแสดงคำสั่งนี้ดังรูป 4.5



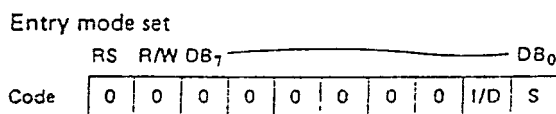
รูป 4.5 แสดงคำสั่ง CLEAR DISPLAY

2. RETURN HOME คำสั่งนี้จะทำการตั้งแอดเดรสของหน่วยความจำเก็บข้อมูลในการแสดงผลเป็นศูนย์ ตัวเคอร์เซอร์จะกลับไปอยู่ตำแหน่งบนสุดซ้ายมือของจอภาพ ข้อมูลในจอภาพไม่เปลี่ยน แสดงคำสั่งนี้ดังรูป 4.6



รูป 4.6 แสดงคำสั่ง RETURN HOME

3. ENTRY MODE SET แสดงดังรูป 4.7



รูป 4.7 แสดงคำสั่ง ENTRY MODE SET

บิต I/D : โดยจะเป็นตัวกำหนดให้ว่าเมื่อเขียนหรืออ่านข้อมูลแล้วจะทำให้แอส-
เคอร์สของหน่วยความจำเก็บข้อมูลในการแสดงผลเพิ่มขึ้นหรือลดลงหนึ่งโดย

1 = เพิ่ม

0 = ลดลงหนึ่ง

บิต S : เป็นกำหนดแสดงผลโดยถ้า S = 1 จะเป็นการใส่ข้อมูลแล้วตัวเคอร์-
เซอร์อยู่กับที่ข้อมูลจะถูกดันไปทางซ้าย ถ้า S = 0 ข้อมูลจะอยู่กับที่เคอร์เซอร์จะถูกดันไปทาง
ขวามือ

4. DISPLAY ON/OFF CONTROL แสดงดังรูป 4.8



รูป 4.8 แสดงคำสั่ง DISPLAY ON/OFF CONTROL

บิต D : เป็นบิตให้เปิดปิดหน้าจอภาพ โดยถ้า

D = 1 จะ ON และ

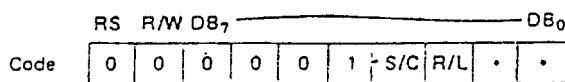
D = 0 จะ OFF

บิต C : จะแสดงเคอร์เซอร์ ให้บิต C = 1 และถ้าไม่ต้องการแสดงเคอร์เซอร์
บิต C = 0 โดยตัวเคอร์เซอร์จะอยู่ที่เส้นที่ 8 ในแบบ 5*7 จุด และจะอยู่เส้นที่ 11 ในแบบ
5*10 จุด

บิต B : เป็น บิตกำหนดการกระพริบของเคอร์เซอร์ โดย B = 1 จะมีการกระ-
พริบ และ B = 0 ไม่มีการกระพริบ โดยมีระยะเวลาการกระพริบประมาณ 379.2 มิลลิวินาที

5. CURSOR OR DISPLAY SHIFT แสดงดังรูป 4.9

Cursor or display shift



* No effect

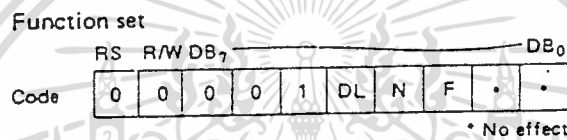
รูป 4.9 แสดงคำสั่ง CURSOR OR DISPLAY SHIFT

เอกสารนี้เป็นเอกสารที่สงวนไว้สำหรับการใช้งานเพื่อการศึกษาเท่านั้น ไม่อนุญาตให้นำไปใช้ประโยชน์ด้านการค้า
ไม่ว่ากรณีใดๆ ทั้งสิ้น อีกทั้งห้ามมิให้ตัดแปลงเนื้อหา และต้องอ้างอิงถึงเจ้าของเอกสารทุกครั้งที่มีการนำไปใช้

เป็นคำสั่งกำหนดให้ตำแหน่งเคอร์เซอร์หรือข้อมูลไปเกิดทางซ้ายหรือขวา โดยไม่ต้องใช้คำสั่งเขียนหรืออ่านโดย

| S/C | R/L | |
|-----|-----|--|
| 0 | 0 | ทำการย้ายเคอร์เซอร์ไปจากตำแหน่งเดิมไปซ้ายมือ 1 ตำแหน่ง |
| 0 | 1 | ทำการย้ายเคอร์เซอร์ไปจากตำแหน่งเดิมไปขวามือ 1 ตำแหน่ง |
| 1 | 0 | เป็นการค้นตัวอักษรที่เกิดไปทางซ้ายมือ |
| 1 | 0 | เป็นการค้นตัวอักษรที่เกิดไปทางขวามือ |

6. FUNCTION SET แสดงดังรูป 4.10



รูป 4.10 แสดงคำสั่ง FUNCTION SET

บิต DL : เป็นการเซตการคิดต่อว่าจะให้เป็นแบบ 8 บิต หรือ 4 บิต โดยถ้าต้องการติดต่อ 4 บิต DL = 0 และ 8 บิต DL = 1

N : เป็นการเซตบรรทัดการแสดงผล N=0 แสดง 1 บรรทัด และถ้า N=1 แสดง 2 บรรทัด ในกรณีมากกว่า 2 บรรทัด ก็ให้เซต N=1

F : เป็นการเซตขนาดจุดการแสดงผล 5*7 หรือ 5*10 โดย F=0 เป็นแบบ 5*7 และถ้า F=1 เป็นแบบ 5*10 แสดงดังตาราง 4.4

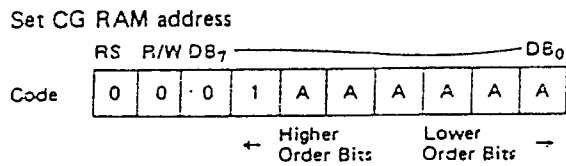
ตาราง 4.4 แสดงการกำหนดบิตต่าง ๆ ในการกำหนดแบบตัวอักษร

| N | F | No. of display lines | Character font | Duty factor | Remarks |
|---|---|----------------------|----------------|-------------|--|
| 0 | 0 | 1 | 5 x 7 dots | 1/8 | |
| 0 | 1 | 1 | 5 x 10 dots | 1/11 | |
| 1 | . | 2 | 5 x 7 dots | 1/16 | Cannot display 2 lines with 5 x 10 dot character font. |

* No effect

เอกสารนี้เป็นเอกสารที่สงวนไว้สำหรับการใช้งานเพื่อการศึกษาเท่านั้น ไม่อนุญาตให้นำไปใช้ประโยชน์ด้านการค้า ไม่ว่ากรณีใดๆ ทั้งสิ้น อีกทั้งห้ามมิให้ตัดแปลงเนื้อหา และต้องอ้างอิงถึงเจ้าของเอกสารทุกครั้งที่มีการนำไปใช้

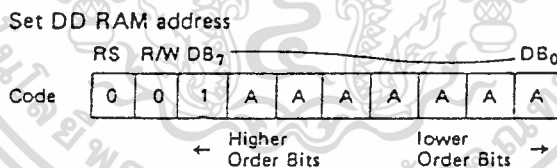
7. SET CG ADDRESS แสดงดังรูป 4.11



รูป 4.11 แสดงคำสั่ง SET CG ADDRESS

ใน DH44780 นั้นจะมีหน่วยความจำอยู่ 2 ชุดคือหน่วยความจำเก็บข้อมูลในการแสดงผลจำนวน 80*8 บิต และหน่วยความจำในการสร้างตัวอักษร (CHARACTER GENERATOR ROM : CG RAM) จำนวน 512 บิต และ 7200 บิต คำสั่งนี้จะเป็นการตั้งแอดเดรสในซีจีแรม โดยต้องทำการตั้งแอดเดรสก่อนเขียนหรืออ่านข้อมูลจากซีจีแรม ด้วย

8. SET DD RAM ADDRESS แสดงดังรูป 4.12



รูป 4.12 แสดงคำสั่ง SET DD RAM ADDRESS

เป็นคำสั่งแสดงการเซตค่าแอดเดรสในดีดีแรม ในการเขียนหรืออ่านค่าจากดีดีแรม (ดีดีแรม คือส่วนที่จะแสดงผลหน้าจอแอลซีดี) โดยจำนวนแอดเดรสที่จะเกิดขึ้นบนจอแอลซีดีจะขึ้นอยู่กับค่า N ด้วย

N = 0 (1บรรทัด) แอดเดรสจะอยู่ 00H-4FH

N = 1 (2 บรรทัด) แอดเดรสจะอยู่ 00H- 27H สำหรับบรรทัดที่ 1 และ 40H-

67H สำหรับบรรทัดที่ 2

เอกสารนี้เป็นเอกสารที่สงวนไว้สำหรับการใช้งานเพื่อการศึกษาเท่านั้น ไม่อนุญาตให้นำไปใช้ประโยชน์ด้านการค้า ไม่ว่ากรณีใดๆ ทั้งสิ้น อีกทั้งห้ามมิให้ดัดแปลงเนื้อหา และต้องอ้างอิงถึงเจ้าของเอกสารทุกครั้งที่มีการนำไปใช้

16 ตัวอักษร 1 บรรทัด

| | | | | | | | | | | | | | | | |
|----|----|----|----|----|----|----|----|----|----|----|----|----|----|----|----|
| 00 | 01 | 02 | 03 | 04 | 05 | 06 | 07 | 40 | 41 | 42 | 43 | 44 | 45 | 46 | 47 |
|----|----|----|----|----|----|----|----|----|----|----|----|----|----|----|----|

16 ตัวอักษร 2 บรรทัด

| | | | | | | | | | | | | | | | |
|----|----|----|----|----|----|----|----|----|----|----|----|----|----|----|----|
| 00 | 01 | 02 | 03 | 04 | 05 | 06 | 07 | 08 | 09 | 0A | 0B | 0C | 0D | 0E | 0F |
| 40 | 41 | 42 | 43 | 44 | 45 | 46 | 47 | 48 | 49 | 4A | 4B | 4C | 4D | 4E | 4F |

16 ตัวอักษร 4 บรรทัด

| | | | | | | | | | | | | | | | |
|----|----|----|----|----|----|----|----|----|----|----|----|----|----|----|----|
| 00 | 01 | 02 | 03 | 04 | 05 | 06 | 07 | 08 | 09 | 0A | 0B | 0C | 0D | 0E | 0F |
| 40 | 41 | 42 | 43 | 44 | 45 | 46 | 47 | 48 | 49 | 4A | 4B | 4C | 4D | 4E | 4F |
| 10 | 11 | 12 | 13 | 14 | 15 | 16 | 17 | 18 | 19 | 1A | 1B | 1C | 1D | 1E | 1F |
| 50 | 51 | 52 | 53 | 54 | 55 | 56 | 57 | 58 | 59 | 5A | 5B | 5C | 5D | 5E | 5F |

20 ตัวอักษร 1 บรรทัด

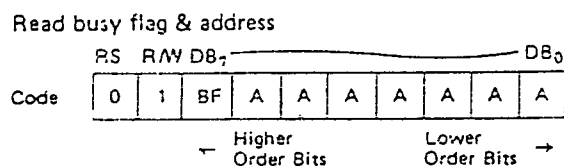
| | | | | | | | | | | | | | | | | | | | |
|----|----|----|----|----|----|----|----|----|----|----|----|----|----|----|----|----|----|----|----|
| 00 | 01 | 02 | 03 | 04 | 05 | 06 | 07 | 08 | 09 | 0A | 0B | 0C | 0D | 0E | 0F | 10 | 11 | 12 | 13 |
|----|----|----|----|----|----|----|----|----|----|----|----|----|----|----|----|----|----|----|----|

20 ตัวอักษร 2 บรรทัด

| | | | | | | | | | | | | | | | | | | | |
|----|----|----|----|----|----|----|----|----|----|----|----|----|----|----|----|----|----|----|----|
| 00 | 01 | 02 | 03 | 04 | 05 | 06 | 07 | 08 | 09 | 0A | 0B | 0C | 0D | 0E | 0F | 10 | 11 | 12 | 13 |
| 40 | 41 | 42 | 43 | 44 | 45 | 46 | 47 | 48 | 49 | 4A | 4B | 4C | 4D | 4E | 4F | 50 | 51 | 52 | 53 |

รูป 4.13 แสดงการจัดแอดเดรสของดีดี แรมหน้าจอแอลซีดี

9. READ BUSY FLAG AND ADDRESS แสดงดังรูป 4.14



รูป 4.14 แสดงคำสั่ง READ BUSY FLAG AND ADDRESS

เอกสารนี้เป็นเอกสารที่สงวนไว้สำหรับการใช้งานเพื่อการศึกษาเท่านั้น ไม่อนุญาตให้นำไปใช้ประโยชน์ด้านการค้า
ไม่ว่ากรณีใดๆ ทั้งสิ้น อีกทั้งห้ามมิให้ดัดแปลงเนื้อหา และต้องอ้างอิงถึงเจ้าของเอกสารทุกครั้งที่มีการนำไปใช้

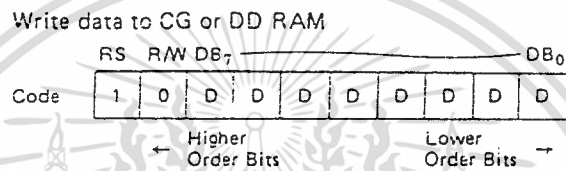
เป็นคำสั่งอ่านค่า BUSY FLAG ซึ่งจะเป็นตัวบอกว่าตัว HD44780 นี้อยู่ใน
ขบวนการทำงานภายในอยู่ หรืออยู่ในสภาพพร้อมที่จะรับข้อมูลโดย

BF = 1 อยู่ในขบวนการทำงานภายใน ไม่พร้อมจะรับข้อมูลหรือคำสั่ง

BF = 0 พร้อมจะรับข้อมูลหรือคำสั่ง .

และนอกจากนี้ยังเป็นคำสั่งอ่านค่าข้อมูลแอดเดรสของซีจี แรม หรือดีดี แรมด้วย

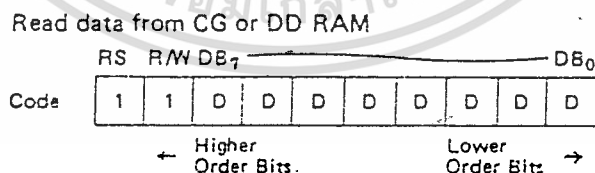
10. WRITE DATA TO CG DD หรือ RAM แสดงดังรูป 4.15



รูป 4.15 แสดงคำสั่ง WRITE DATA TO CG DD หรือ RAM

เป็นคำสั่งเขียนข้อมูลเข้าไปในซีจี แรมหรือดีดี แรม โดยเมื่อเขียนข้อมูลและแอด
เดรสจะเพิ่มหรือลด โดยอัตโนมัติตามคำสั่งที่เซตในเอนโทรโหมคข้อกำหนดที่จะรู้ว่าเป็นการ
เขียนข้อมูลของซีจี แรม หรือดีดี แรม ทำได้โดยการเซตค่าแอดเดรสของซีจี แรม หรือดีดี แรม
ขึ้นมาก่อนจะเขียนข้อมูล

11. READ DATA FROM CG OR DD RAM แสดงดังรูป 4.16



รูป 4.16 แสดงคำสั่ง READ DATA FROM CG OR DD RAM

เป็นคำสั่งอ่านค่าข้อมูลจากซีจี แรมหรือดีดี แรม โดยก่อนอ่านค่าจากดีดี แรม
หรือซีจี แรมนี้ควรจะใช้คำสั่งเซตแอดเดรสก่อน เพื่อให้รู้ว่าข้อมูลที่อ่านได้นั้นเป็นดีดี แรม หรือ
ว่าซีจี แรม จากตารางการทำงานจะเห็นว่าการใช้งานแเอลซีดีนี้นั้นง่ายเพียงแต่เราส่งคำสั่งเริ่มแรก
และเซตความต้องการในขนาดตัวอักษร, + เคอร์เซอร์ หลังจากนั้นเราก็สามารถเขียนตัวอักษรเข้า
เอกสารนี้เป็นเอกสารที่สงวนไว้สำหรับการใช้งานเพื่อการศึกษาเท่านั้น ไม่นอนุญาตให้นำไปใช้ประโยชน์ด้านการค้า
ไม่ว่ากรณีใดๆ ทั้งสิ้น อีกทั้งห้ามมิให้ดัดแปลงเนื้อหา และต้องอ้างอิงถึงเจ้าของเอกสารทุกครั้งที่มีการนำไปใช้

ไปในคีดี แรม ตามตารางอักษรที่ให้มานั้นก็จะเกิดอักษรในจอภาพแอลซีดี เรายังสามารถกำหนดตำแหน่งตัวอักษรที่จะเกิดบนจอได้ โดยการเซตค่าแอดเดรสคีดี แรม ตามตาราง 4.13

4.4 การออกแบบระบบไมโครคอนโทรลเลอร์

ระบบไมโครคอนโทรลเลอร์ดังรูป 4.17 ใช้ไมโครคอนโทรลเลอร์แบบชิปเดี่ยว เบอร์ 8031 วงจรออสซิลเลเตอร์ความถี่ 11.0592 เมกะเฮิรท์ มีหน่วยความจำสำหรับเก็บโปรแกรม ขนาด 8 กิโลไบต์เบอร์ 2764 โดยแอดเดรสไบต์ล่างจะต่อผ่านไอซีเบอร์ 74LS373 ซึ่งจะทำหน้าที่ แลตซ์แอดเดรสไบต์ล่างจากพอร์ต 0 ของ 8031 ไว้ เพื่อให้พอร์ต 0 สามารถจะเป็นอินพุทข้อมูลรับ รหัสคำสั่งจาก 2764 ได้

ขา T0, T1 ของ 8031 จะต่อกับส่วนป้อนกลับการทำงานของดีซีมอเตอร์เพื่อนับ จำนวนพัลส์ที่เปลี่ยนแปลงตามจำนวนรอบของมอเตอร์แต่ละข้าง โดยขา T0 จะต่อกับส่วนป้อนกลับมอเตอร์ข้างซ้าย ขา T1 จะต่อกับส่วนป้อนกลับมอเตอร์ข้างขวา

ขา INT 0 ต่อกับขา DA ของคีย์บอร์ดเอนโค้ดเดอร์ เบอร์ MM74C922 (ดูรายละเอียดได้ในภาคผนวก ข) เพื่อรับรู้ภาวะการกดคีย์บอร์ด

ขา INT 1 ต่อกับส่วนเซ็นเซอร์ เพื่อให้สามารถรับรู้ภาวะการส่งข้อมูลระยะวัตดู จากส่วนเซ็นเซอร์

สำหรับหน่วยความจำภายนอกจะถูกแบ่งเป็น 8 เซกเมนต์ (0-7) ด้วยคีย์บอร์ด เบอร์ 74LS138

-เซกเมนต์ที่ 5 จะใช้เป็นแอดเดรสให้กับ MM74C922 โดย MM74C922 จะต่อกับคีย์บอร์ดแบบเมทริกซ์ขนาด 4 x 4

-เซกเมนต์ที่ 6 และเซกเมนต์ที่ 7 จะใช้เป็นแอดเดรสให้กับพอร์ต 8255 เซกเมนต์ ละตัว

8255 ตัวที่ 1 มีการใช้พอร์ตดังนี้

- พอร์ต A ใช้เป็นเอาต์พุทพอร์ต กำหนดความเร็วของดีซีมอเตอร์ล้อซ้าย
- พอร์ต B ใช้เป็นอินพุทพอร์ต รับข้อมูลระยะวัตดูจากส่วนเซ็นเซอร์
- พอร์ต C ไบต์บนใช้เป็นเอาต์พุทพอร์ต ควบคุมการทำงานของเซ็นเซอร์

8255 ตัวที่ 2 มีการใช้พอร์ตดังนี้

- พอร์ต C ไบต์ล่างใช้เป็นเอาต์พุทพอร์ต ควบคุมการทำงานของดีซีมอเตอร์ดังนี้
PC 0 ควบคุมการเปิดปิดมอเตอร์ล้อขวา โดยถ้าเป็น 0 จะปิด เป็น 1 จะเปิด

PC 1 ควบคุมการหมุนไปหน้า/ถอยหลัง ของมอเตอร์ล้อขวา โดยถ้าเป็น 0 จะ
ไปหน้า เป็น 1 จะถอยหลัง

PC 2 ควบคุมการเปิดปิดมอเตอร์ล้อซ้าย โดยถ้าเป็น 0 จะปิด เป็น 1 จะเปิด

PC 3 ควบคุมการหมุนไปหน้า/ถอยหลัง ของมอเตอร์ล้อซ้าย โดยถ้าเป็น 0 จะ
ไปหน้า เป็น 1 จะถอยหลัง



บทที่ 5

โปรแกรมควบคุมการทำงาน

5.1 โปรแกรมหลักควบคุมการทำงานของรถ

การทำงานของรถหลบหลีกสิ่งกีดขวางอัตโนมัติ จะถูกควบคุมโดยการเขียนโปรแกรมภาษาแอสเซมบลีของไมโครคอนโทรลเลอร์ 8031 ให้สามารถแนะนำตัวเองที่ส่วนแสดงผลรับคำสั่งทางเป้าหมาย และสามารถวิ่งไปยังเป้าหมายได้โดยไม่ชนสิ่งกีดขวางใด ๆ เลย มีอัลกอริทึมดังแผนภาพการไหลรูป 5.1

สำหรับอัลกอริทึมของโปรแกรมน้อยควบคุมการทำงานต่าง ๆ จะกล่าวถึงในหัวข้อต่อไป

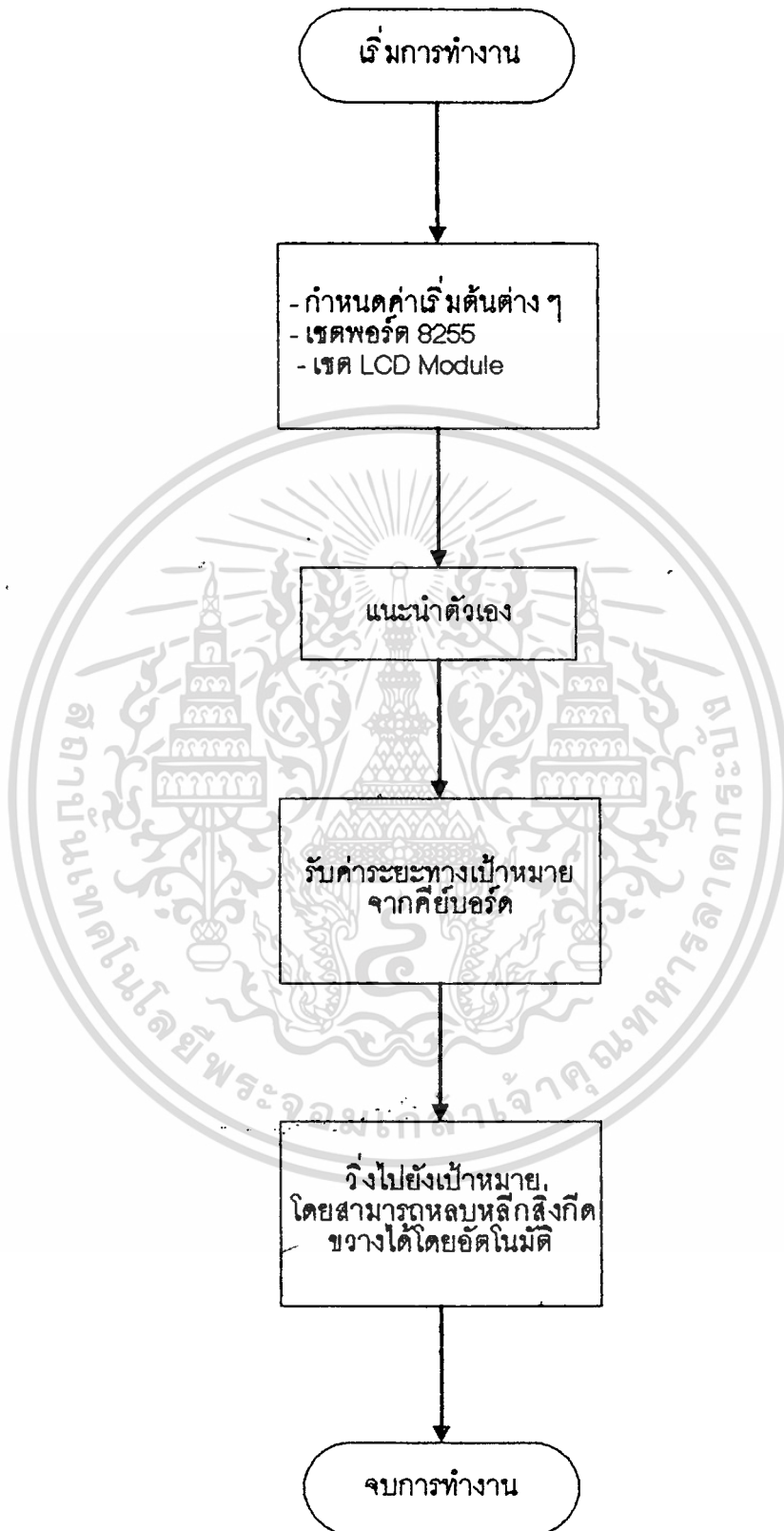
5.2 โปรแกรมย่อยควบคุมให้รถวิ่งไปยังเป้าหมาย

อัลกอริทึมแสดงขั้นตอนของโปรแกรมแสดงดังรูป 5.2 อธิบายได้ดังนี้คือ ขั้นแรกกำหนดค่าในรีจิสเตอร์ต่าง ๆ ก่อน จากนั้นจึงตรวจสอบว่าถึงเป้าหมายหรือยังถ้าถึงแล้วก็จบการทำงาน แต่ถ้ายังไม่ถึงก็ให้ทำขั้นตอนต่อไป เริ่มจากใช้เซ็นเซอร์ตรวจจับระยะวัตถุที่กีดขวางการวิ่งของรถว่าอยู่ในระยะวิกฤต (ระยะที่ต้องหลบ) หรือยัง ในขั้นตอนต่อไปต้องตัดสินใจว่าจะให้รถเลี้ยวหรือไปตรง โดยอาศัยข้อมูลระยะวัตถุจากเซ็นเซอร์ ร่วมกับบิตที่แสดงทิศระยะเป้าหมาย ในการเลี้ยวจะทำให้ทิศเป้าหมายเปลี่ยนไปเมื่ออ้างอิงกับทิศทางการเคลื่อนที่ของรถ ดังนั้นเมื่อมีการเลี้ยวจะต้องเปลี่ยนทิศเป้าหมายใหม่ แล้วจึงวนกลับไปตรวจสอบว่าถึงเป้าหมายหรือยังอีกครั้งหนึ่ง ถ้าหากไมโครคอนโทรลเลอร์ตัดสินใจให้วิ่งไปตรง ๆ ต้องมีการเปลี่ยนแปลงระยะทางเป้าหมายซึ่งเกิดจากระยะการเคลื่อนที่ของรถด้วย แล้วจึงวนกลับไปตรวจสอบต่อไปว่าถึงเป้าหมายหรือยัง การทำงานของโปรแกรมจะวนไปเรื่อย ๆ จนกระทั่งทิศเป้าหมายเป็นศูนย์ แสดงว่าถึงเป้าหมายแล้ว จึงออกจากโปรแกรมน้อยนี้ได้

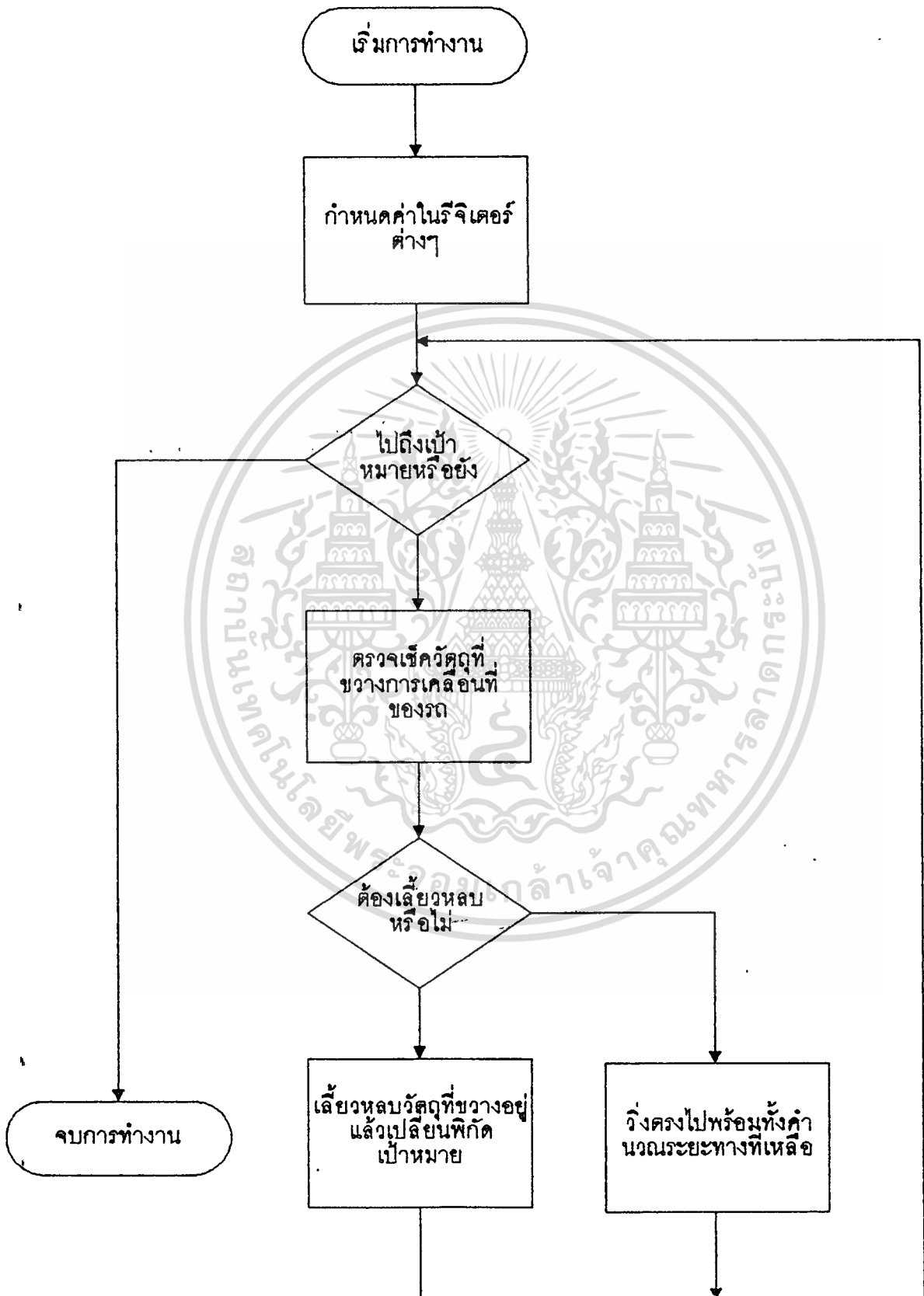
การกำหนดระยะวิกฤตสำหรับด้านหน้าและด้านข้างกำหนดไว้ที่ระยะ 10 นิ้ว ส่วนด้านหน้าเอียงทางซ้ายและขวากำหนดไว้ที่ระยะ 8 นิ้ว ซึ่งเมื่อชุดเซ็นเซอร์ตรวจจับระยะวัตถุได้น้อยกว่าหรือเท่ากับระยะวิกฤต จะแสดงลอจิกเป็น 1 ถ้ามากกว่าจะแสดงลอจิกเป็น 0

หลักเกณฑ์ที่ใช้ในการตัดสินใจควบคุมการเคลื่อนที่ของรถ แบ่งได้เป็น 2 กรณีได้

แก่ เอกสารนี้เป็นเอกสารที่สงวนไว้สำหรับการใช้งานเพื่อการศึกษาเท่านั้น ไม่อนุญาตให้นำไปใช้ประโยชน์ด้านการค้า ไม่ว่ากรณีใดๆ ทั้งสิ้น อีกทั้งห้ามมิให้ตัดแปลงเนื้อหา และต้องอ้างอิงถึงเจ้าของเอกสารทุกครั้งที่มีการนำไปใช้



เอกสารนี้เป็นเอกสารที่สงวนไว้สำหรับการใช้งานเพื่อการศึกษาเท่านั้น ไม่อนุญาตให้นำไปใช้ประโยชน์ด้านการค้า
 ระบุว่ากรณีใดๆ ทั้งสิ้น อีกทั้งห้ามมิให้ตัดแปะลงเนื้อหา และต้องอ้างอิงถึงเจ้าของเอกสารทุกครั้งที่มีการนำไปใช้



เอกสารนี้เป็นเอกสารที่สงวนไว้สำหรับการใช้งานเพื่อการศึกษาเท่านั้น ไม่อนุญาตให้นำไปใช้ประโยชน์ด้านการค้า
 รูป 5.2 แผนภาพการไหลของโปรแกรมช่วยควบคุมให้รถวิ่งไปยังเป้าหมาย

1. กรณีที่ข้อมูลตรวจจับวัตถุสมมาตร หมายถึง กรณีที่ชุดเซ็นเซอร์ตรวจจับระยะวิกฤตได้เหมือนกันทั้งสองข้าง หรือตรวจจับไม่ได้เหมือนกันทั้งสองข้าง ดังนั้นจึงต้องมีการตัดสินใจว่าจะให้วิ่งหรือเลี้ยวไปทางใด โดยอาศัยบิตแสดงพิกัดเป้าหมาย ซึ่งจะแสดงว่าเป้าหมายอยู่ทางซ้ายหรือทางขวา ก็ให้เลี้ยวไปตามกรณีนั้น ๆ

ตัวอย่างเช่น ข้อมูลตรวจจับวัตถุเป็น 01110 หมายความว่า มีวัตถุขวางอยู่ด้านหน้าและด้านหน้าเอียงทางซ้ายและทางขวา จึงต้องทำการหลบโดยพิจารณาบิตแสดงพิกัดเป้าหมาย ถ้าเป็น 0 แสดงว่าเป้าหมายอยู่ทางขวา ก็ให้เลี้ยวขวา ถ้าเป็น 1 แสดงว่าเป้าหมายอยู่ทางซ้ายก็ให้เลี้ยวซ้าย

2. กรณีที่ข้อมูลตรวจจับวัตถุไม่สมมาตร หมายถึง กรณีที่ชุดเซ็นเซอร์ตรวจจับระยะวิกฤตทั้งสองข้างไม่เหมือนกัน ดังนั้นจึงสามารถตัดสินใจให้เลี้ยวหลบไปทางที่ไม่มีวัตถุขวางอยู่ได้เลย

ตัวอย่างเช่น ข้อมูลตรวจจับวัตถุเป็น 10100 แสดงว่ามีวัตถุอยู่ด้านหน้าและด้านซ้าย ให้เลี้ยวหลบไปด้านขวาได้เลย

นอกจากนี้ยังมีกรณีพิเศษซึ่งอาจเกิดขึ้นได้เช่น 11111 หรือ 10101 เป็นลักษณะที่รถวิ่งเข้าไปในซอยตัน จึงต้องถอยหลังจนกว่าข้างใดข้างหนึ่งจะว่าง จึงเลี้ยวหลบไปทางนั้น

5.8 โปรแกรมย่อยควบคุมให้รถเคลื่อนที่ได้ตรงและวัดระยะทาง

การควบคุมให้รถเคลื่อนที่ได้ตรงจะอาศัยหลักการนับพัลซ์จากการหมุนของมอเตอร์ เพื่อเปรียบเทียบแล้วทำการเพิ่มหรือลดความเร็วของมอเตอร์ จนจำนวนพัลซ์มีค่าใกล้เคียงกัน

สำหรับการวัดระยะทางนั้น คำนวณได้ดังนี้

-รัศมีของล้อเท่ากับ 1.5 นิ้ว

-เฟืองใหญ่มี 36 ซี่ หมุน 1 รอบทำให้ล้อหมุนคิดเป็นระยะทาง $2\pi(1.5)$ นิ้ว

-เฟืองเล็กมี 16 ซี่ หมุน 1 รอบทำให้เฟืองใหญ่หมุนไป $16/36$ รอบ ทำให้ล้อหมุนไปเป็นระยะทาง $(16/36) * 2\pi(1.5)$ จานตัดแสงหมุนไป 1 รอบนับพัลซ์ได้ 41 พัลซ์

-ล้อหมุนไป 1 ฟุต เท่ากับ 12 นิ้ว จะนับจำนวนพัลซ์ได้

$$\{ 12 / [(16/36)2\pi(1.5)] \} * 41 = 117 \text{ พัลซ์}$$

อัลกอริทึมของโปรแกรมย่อยควบคุมให้รถเคลื่อนที่ได้ตรงและวัดระยะทาง แสดงดังแผนภาพการไหลรูป 5.3 อธิบายได้ดังนี้คือ

ขั้นแรกจะมีการกำหนดค่าในรีจิสเตอร์ต่าง ๆ กำหนดค่าความเร็วเริ่มต้นและเซต

เอกสารนี้เป็นเอกสารที่สงวนลิขสิทธิ์ไว้เพื่อใช้ในการศึกษาเท่านั้น เมื่อผู้ผู้เห็นประโยชน์ของการนำเอกสารนี้ไปใช้ไม่ว่ากรณีใดๆ ทั้งสิ้น อีกทั้งห้ามมิให้ตัดแปลงเนื้อหา และต้องอ้างอิงถึงเจ้าของเอกสารทุกครั้งที่มีการนำไปใช้

เคาน์เตอร์ทั้งสองเป็นโหมด 1 จากนั้นจะเริ่มเปิดมอเตอร์ทั้งสองข้างให้ร่ว้งไปข้างหน้า แล้วเปรียบเทียบจำนวนพัลส์ที่เกิดจากการหมุนของมอเตอร์ทั้งสอง โดยมอเตอร์ข้างขวาซึ่งนับจำนวนพัลส์ด้วยเคาน์เตอร์ 1 จะมีความเร็วคงที่และมอเตอร์ข้างซ้ายซึ่งนับจำนวนพัลส์ด้วยเคาน์เตอร์ 0 จะมีการปรับความเร็ว ถ้าค่าในเคาน์เตอร์ 0 มากกว่าในเคาน์เตอร์ 1 จะต้องลดความเร็วของมอเตอร์ข้างซ้าย แต่ถ้าน้อยกว่าต้องเพิ่มความเร็วของมอเตอร์ข้างซ้าย

ในการวัดระยะทางจะมีการตรวจว่าขณะนี้ร่ว้งไปยังเป้าหมายหรือสวนทางกับเป้าหมาย ถ้าร่ว้งไปยังเป้าหมายให้ลดระยะทางที่เหลือลง ถ้าสวนทางกับเป้าหมายให้เพิ่มระยะทางที่เหลือขึ้น

5.4 โปรแกรมย่อยควบคุมการเลี้ยว

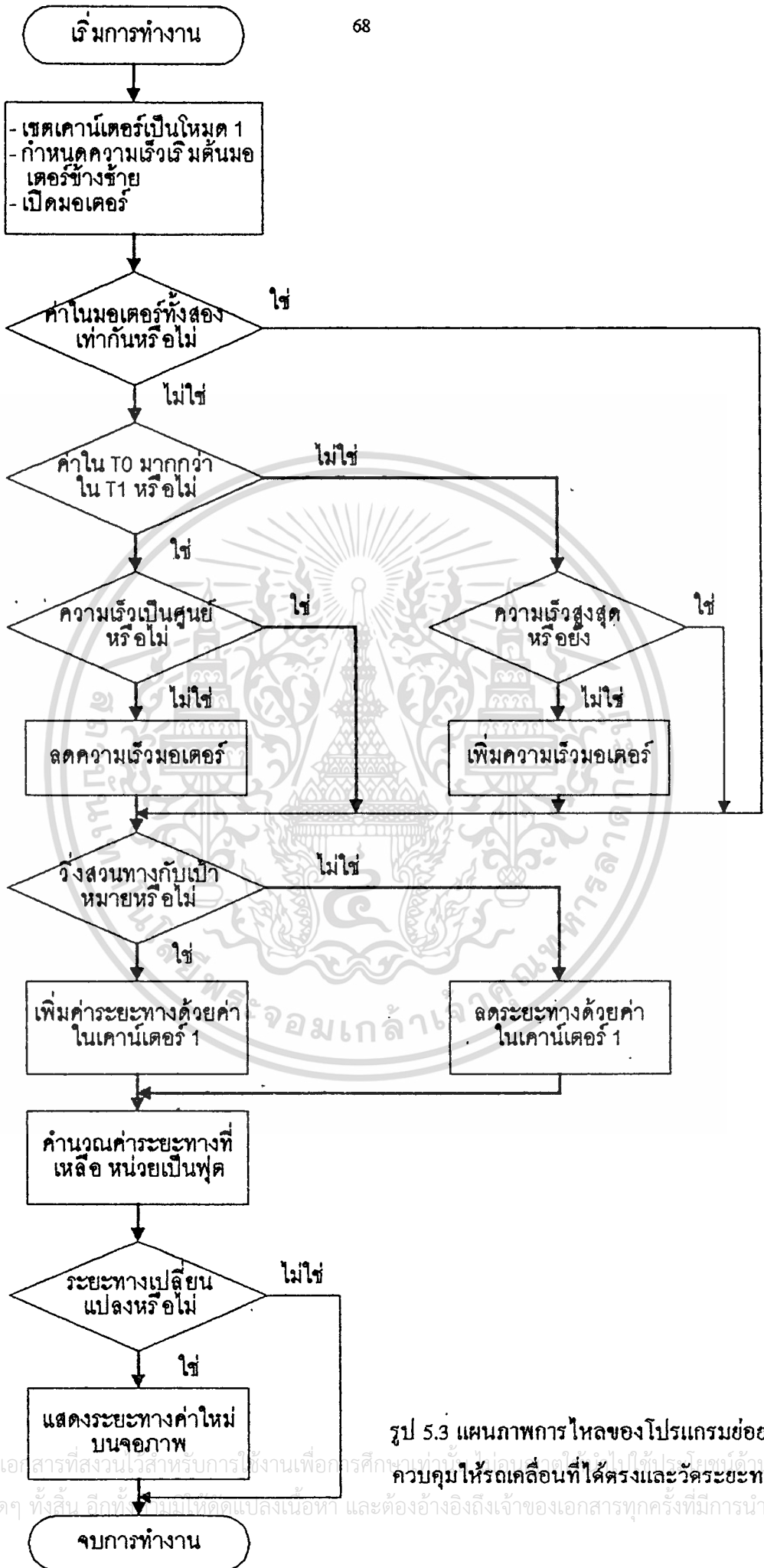
ในการเลี้ยวซ้ายและเลี้ยวขวานั้น เพื่อที่จะไม่ให้เสียระยะทางที่เกิดจากการเลี้ยวจึงต้องให้ล้อข้างหนึ่งหมุนไปข้างหน้าอีกข้างหมุนกลับหลัง เป็นระยะที่เท่ากันเพื่อให้รถหมุนรอบจุดที่เป็นตำแหน่งที่ต้องการจริง ๆ

การเลี้ยวจะควบคุมให้รถเลี้ยวเป็นมุมฉากเพื่อให้รถยังคงวิ่งอยู่บนแกนของพิกัดเป้าหมาย มีการคำนวณจำนวนที่ใช้ในการเลี้ยวดังนี้

- จากผลการคำนวณในหัวข้อที่แล้ว ล้อหมุนไป 12 นิ้ว นับจำนวนพัลส์ได้ 117 พัลส์
- ระยะระหว่างล้อทั้งสองเท่ากับ 11 นิ้ว
- ล้อทั้งสองต้องหมุนรอบจุดศูนย์กลางที่อยู่ระหว่างล้อซึ่งเป็นแนวโค้งของวงกลมรัศมี $11/2$ นิ้ว เท่ากับ 5.5 นิ้ว
- การให้รถเลี้ยวเป็นมุมฉากจะต้องให้ล้อแต่ละข้างหมุนไปเป็นระยะทางเท่ากับหนึ่งในสี่ของเส้นรอบวง เท่ากับ $(1/4)2\pi(5.5)$ นิ้ว คิดเป็นจำนวนพัลส์เท่ากับ $(117/2) * (1/4)2\pi(5.5)$ เท่ากับ 84 พัลส์

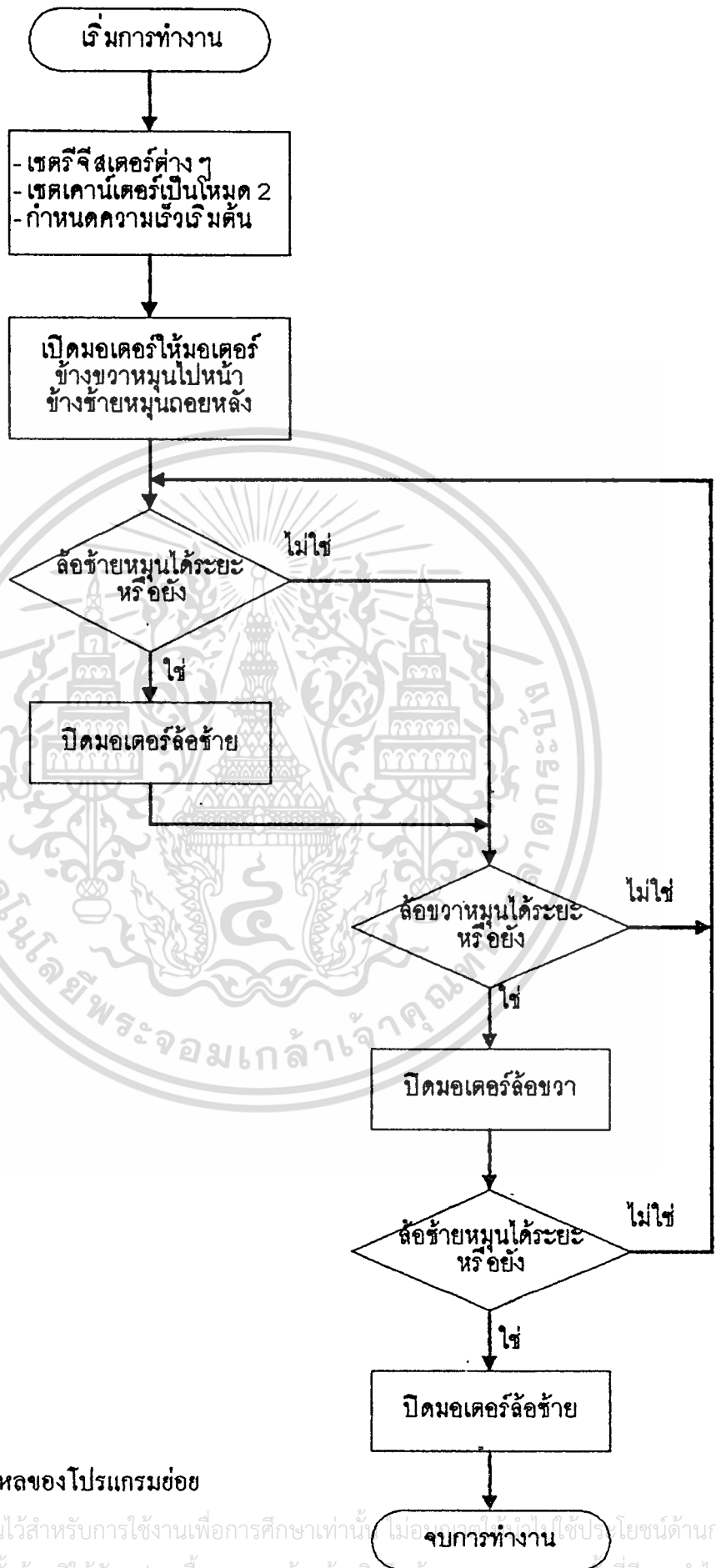
อัลกอริทึมของโปรแกรมย่อยควบคุมการเลี้ยวแสดงดังแผนภาพการไหลรูป 5.4 ซึ่งเป็นตัวอย่างโปรแกรมการเลี้ยวซ้าย อธิบายได้ดังนี้คือ เริ่มต้นจะมีการเซตค่าในรีจิสเตอร์ต่าง ๆ ค่าความเร็วเริ่มต้นของมอเตอร์ล้อซ้าย และเซตเคาน์เตอร์ทั้งสองข้างเป็นโหมด 2 คือแบบ 8 บิต ออโต้รีโหลด (Auto reload) โดยจะให้เกิดโอเวอร์โฟลว เมื่อนับจำนวนพัลส์ได้ 84 พัลส์ ดังนั้นค่าที่จะให้โหลดอัตโนมัติต้องเท่ากับ ABh จากนั้นจึงทำการเปิดมอเตอร์โดยให้ข้างขวาหมุนไปข้างหน้าส่วนข้างซ้ายหมุนถอยหลัง แล้วจึงทำการเช็คค่าข้างใดเกิดโอเวอร์โฟลวก็ให้ปิดมอเตอร์ข้างนั้นจนกระทั่งปิดครบทั้งสองข้างจึงจบการทำงาน

เอกสารนี้เป็นเอกสารที่สงวนไว้สำหรับการใช้งานเพื่อการศึกษาเท่านั้น ไม่อนุญาตให้นำไปใช้ประโยชน์ด้านการค้าไม่ว่ากรณีใดๆ ทั้งสิ้น อีกทั้งห้ามมิให้ตัดแปลงเนื้อหา และต้องอ้างอิงถึงเจ้าของเอกสารทุกครั้งที่มีการนำไปใช้



รูป 5.3 แผนภาพการไหลของโปรแกรมย่อยควบคุมให้รถเคลื่อนที่ได้ตรงและวัดระยะทาง

เอกสารนี้เป็นเอกสารที่สงวนไว้สำหรับกรใช้งานเพื่อการศึกษาเท่านั้น ไม่อนุญาตให้ไปใช้ประโยชน์ด้วยการค้าไม่ว่ากรณีใดๆ ทั้งสิ้น อีกทั้งยังมีเหตุตบแต่งเนื้อหา และต้องอ้างอิงถึงเจ้าของเอกสารทุกครั้งที่มีการนำไปใช้



รูป 5.4 แผนภาพการไหลของโปรแกรมย่อย

เอกสารคุ้มครองการเลี้ยวซ้ายนี้ไว้สำหรับการใช้งานเพื่อการศึกษาเท่านั้น ไม่อนุญาตให้ไปใช้ประโยชน์ด้านการค้า
ไม่ว่ากรณีใดๆ ทั้งสิ้น อีกทั้งห้ามมิให้ตัดแปลงเนื้อหา และต้องอ้างอิงถึงเจ้าของเอกสารทุกครั้งที่มีการนำไปใช้

5.5 โปรแกรมย่อยควบคุมการตรวจนับระยะวัตถุ

การทำงานของโปรแกรม

กำหนดการใช้งานพอร์ต B ของ 8255 เป็นอินพุทพอร์ต สำหรับการเก็บค่าระยะทางที่เป็นเลขฐานสอง 8 บิต จากเอาต์พุทของไอซี 74LS373 พอร์ต C 4-6 เป็นเอาต์พุทพอร์ต สำหรับการเลือกชุดเซ็นเซอร์ โดยเป็นอินพุทให้กับไอซี 74LS138 และพอร์ต C 7 เป็นเอาต์พุทพอร์ตสำหรับสัญญาณเคลียร์เคาน์เตอร์ โดยเป็นอินพุทให้กับไอซี 74LS393

ในตอนแรกกำหนดให้เซ็นเซอร์ชุดที่ 1 ทำงานโดยการกำหนดค่าให้รีจิสเตอร์ในหน่วยความจำสำหรับเก็บข้อมูลของ 8031 หลังจากนั้นเข้าสู่ส่วนโปรแกรมย่อยการตรวจสอบค่าว่าขณะนี้กำลังจะให้เซ็นเซอร์ชุดใดทำงาน ซึ่งในครั้งแรกนี้กำหนดให้ชุดที่ 1 ทำงาน

ดังที่กล่าวในข้างต้นแล้วว่า พอร์ต C 4-6 เป็นเอาต์พุทพอร์ตสำหรับการเลือกชุดเซ็นเซอร์เพราะฉะนั้นเมื่อเลือกจะให้เซ็นเซอร์ชุดที่ 1 ทำงาน ต้องทำการเซตพอร์ต C 4 = 1 พอร์ต C 5-6 = 0 เพราะว่าการเลขฐานสอง (ซึ่งเป็นอินพุทให้ไอซี 74LS138) ที่มีค่า 001 (เป็นเลขฐานสิบที่มีค่า 1)

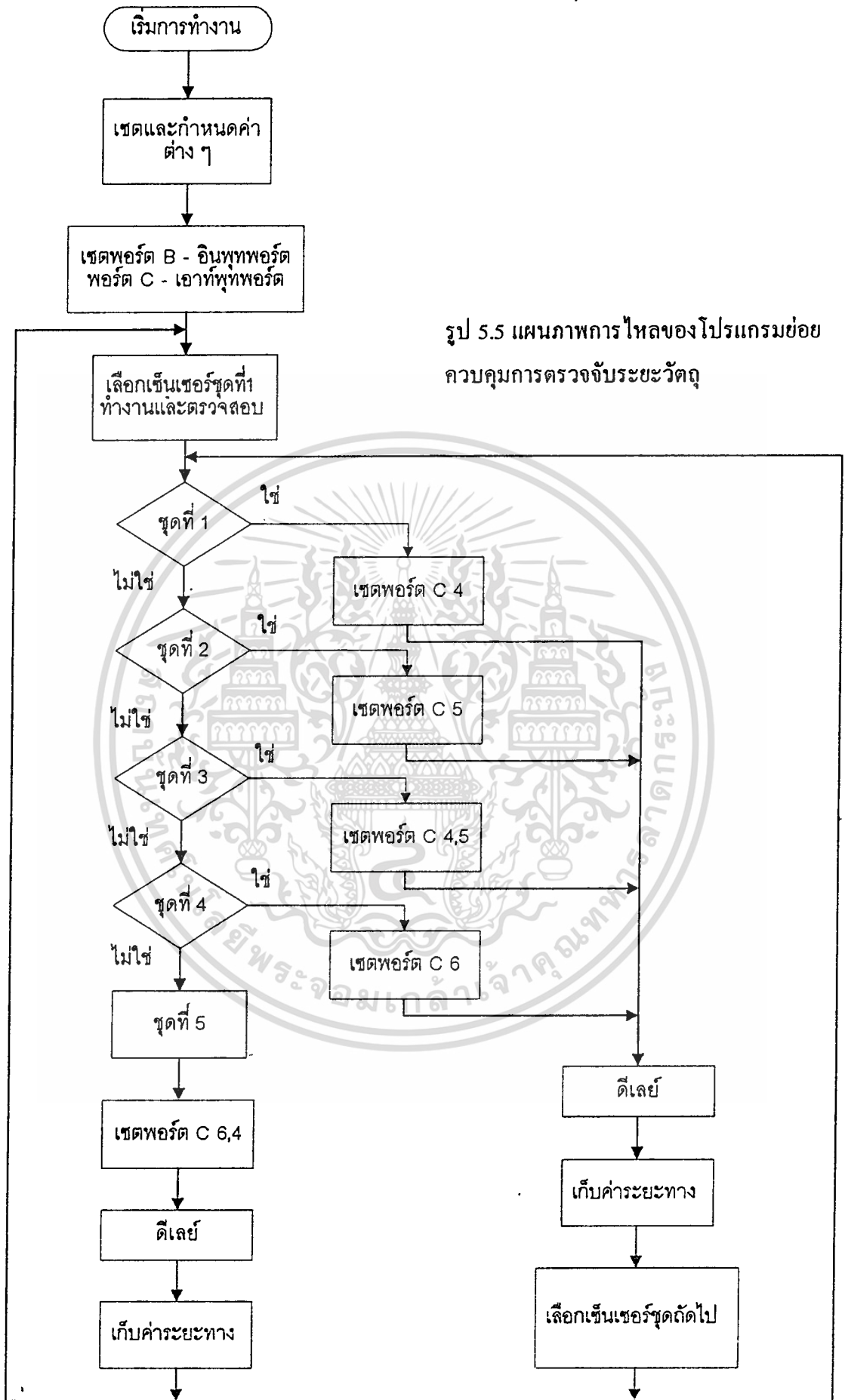
เมื่อเซ็นเซอร์ชุดที่ 1 ทำงานแล้วจะได้ค่าระยะทางออกมาที่เอาต์พุทของ 74LS373 นำค่านี้ผ่านอินพุทพอร์ต B แล้วเข้ามาเก็บในหน่วยความจำสำหรับเก็บข้อมูลของ 8031 ขั้นตอนต่อไปคือ เลือกเซ็นเซอร์ชุดถัดไปมาทำงานโดยการเพิ่มค่าในรีจิสเตอร์ตัวเดิมอีก 1 แล้วผ่านโปรแกรมย่อยการเลือกชุดเซ็นเซอร์ ถ้าตรงกับเงื่อนไขของชุดใดก็จะทำการเซตพอร์ต C 4-6 ตามชุดนั้น ๆ

การเคลียร์เคาน์เตอร์กระทำเมื่อก่อนเข้าสู่ส่วนโปรแกรมย่อยการเลือกชุดเซ็นเซอร์ และหยุดเคลียร์เมื่อทำการเซตพอร์ต C 4-6 แล้ว

เมื่อทำงานในเซ็นเซอร์ชุดที่ 5 เสร็จแล้ว ให้อวนกลับไปทำชุดที่ 1 โดยกำหนดค่า #01H ให้กับรีจิสเตอร์

การที่ต้องมีโปรแกรมย่อยคือ เพื่อให้การใช้งาน 8031 กับ 8255 นั้นถูกต้อง

แผนภาพการไหลของโปรแกรมย่อยควบคุมการตรวจนับระยะวัตถุแสดงดังรูป 5.5



รูป 5.5 แผนภาพการไหลของโปรแกรมย่อย
ควบคุมการตรวจจ็บระยะวัตถุ

เอกสารนี้เป็นเอกสารที่สงวนไว้สำหรับการใช้งานเพื่อการศึกษาเท่านั้น ไม่อนุญาตให้นำไปใช้ประโยชน์ด้านการค้า
ไม่ว่ากรณีใดๆ ทั้งสิ้น อีกทั้งห้ามมิให้ตัดแปลงเนื้อหา และต้องอ้างอิงถึงเจ้าของเอกสารทุกครั้งที่มีการนำไปใช้

บทที่ 6

การทดลองและสรุปผล

6.1 การทดลองวงจรควบคุมความเร็วดีซีมอเตอร์

จุดประสงค์

1. เพื่อให้สามารถบอกได้ว่า การปรับความเร็วดีซีมอเตอร์สามารถทำได้โดยการปรับดีวตี้ไซเคิล (Duty cycle) ของพัลส์ที่จ่ายเป็น ไฟเลี้ยงให้เกิดดีซีมอเตอร์
2. ศึกษาคุณสมบัติของดีซีมอเตอร์ที่ดีวตี้ไซเคิล ค่าต่าง ๆ

ขั้นตอนการทดลอง

1. เพิ่มค่าข้อมูล 8 บิตเพื่อปรับค่าดีวตี้ไซเคิล จนกระทั่งมอเตอร์เริ่มหมุนวัดค่าดีวตี้ไซเคิล (%) และวัดความเร็วมอเตอร์ (rpm) โดยการนับจำนวนรอบของมอเตอร์ในเวลา 1 นาที
2. ปรับค่าข้อมูล 8 บิตเพื่อให้ได้ดีวตี้ไซเคิล ตามต้องการวัดความเร็วมอเตอร์
3. ที่ดีวตี้ไซเคิลค่าต่าง ๆ ตามข้อ 1 และข้อ 2 ให้กลับทิศการหมุนของมอเตอร์แล้ววัดความเร็วมอเตอร์
4. ทำการทดลองข้อ 1-3 ซ้ำ โดยเปลี่ยนใช้มอเตอร์อีกตัวแทน

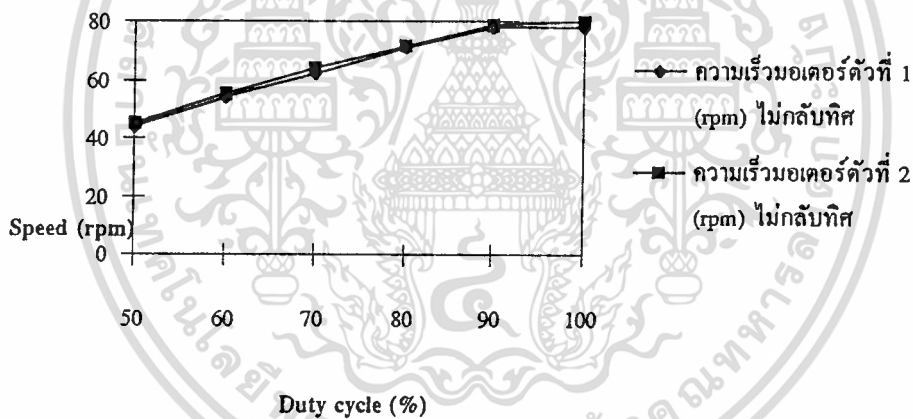
ผลการทดลอง

- มอเตอร์ตัวแรกเริ่มหมุนเมื่อดีวตี้ไซเคิลเท่ากับ 45% ความเร็ว 42 rpm เท่ากับความเร็วเมื่อกลับทิศ
- มอเตอร์ตัวที่สองเริ่มหมุนเมื่อดีวตี้ไซเคิลเท่ากับ 46% ความเร็ว 42 rpm เท่ากับความเร็วเมื่อกลับทิศ

ผลการทดลองแสดงดังตาราง 6.1

ตาราง 6.1 ผลการทดลองวงจรควบคุมความเร็วดีซีมอเตอร์

| ดีวีไอซีเกิด (%) | ความเร็วมอเตอร์ตัวแรก (rpm) | | ความเร็วมอเตอร์ตัวที่สอง (rpm) | |
|---------------------|-----------------------------|---------|--------------------------------|---------|
| | ไม่กลับทิศ | กลับทิศ | ไม่กลับทิศ | กลับทิศ |
| 50 | 44 | 44 | 45 | 45 |
| 60 | 54 | 54 | 55 | 55 |
| 70 | 62 | 62 | 64 | 64 |
| 80 | 71 | 71 | 72 | 72 |
| 90 | 78 | 78 | 79 | 79 |
| 100 | 78 | 78 | 80 | 80 |



รูป 6.1 กราฟแสดงความสัมพันธ์ระหว่าง Duty cycle (%) และ Speed(rpm) ที่ได้จากการทดลอง

วิเคราะห์และสรุปผลการทดลอง

1. ในการควบคุมความเร็วมอเตอร์เราไม่สามารถปรับความเร็วได้ตลอดช่วงความเร็วตั้งแต่ 0 ถึงความเร็วสูงสุดของมอเตอร์ เพราะมอเตอร์จะเริ่มหมุนเมื่อมีดีวีไอซีเกิด ต่ำสุดค่าหนึ่ง

2. ที่ดีวีไอซีเกิดค่าเดียวกัน มอเตอร์ตัวเดียวกัน ความเร็วเมื่อไม่กลับทิศหมุนและกลับทิศหมุนของมอเตอร์จะเท่ากัน

3. ความเร็วดีซีมอเตอร์มีการเปลี่ยนแปลงค่อนข้างเป็นเชิงเส้นกับควิตซ์ไชเกิด
4. มอเตอร์แต่ละตัวจะเริ่มหมุนที่ควิตซ์ไชเกิดต่างกัน และที่ควิตซ์ไชเกิดค่าเดียวกัน จะมีความเร็วต่างกันขึ้นอยู่กับคุณสมบัติของมอเตอร์แต่ละตัว

6.2 การทดลองโปรแกรมย่อยและวงจรวัดระยะทางโดยใช้ฮัลด์ร่าโซนิค

จุดประสงค์

เพื่อสามารถเขียนโปรแกรมภาษาแอสเซมบลีของ 8031 มาควบคุมการวัดระยะทางด้วยฮัลด์ร่าโซนิคเซ็นเซอร์ได้

ขั้นตอนการทดลอง

1. เตรียมวงจรวัดระยะทางด้วยฮัลด์ร่าโซนิคเซ็นเซอร์ พร้อมทั้งต่อสายเข้าเซ็นเซอร์แต่ละชุดให้ครบ และหาวัสดุผิวเรียบมาเป็นสิ่งกีดขวาง
2. โหลดโปรแกรมผ่านอีพรอมอีมูเลเตอร์ (EPROM Emulator)
3. วัดค่าระยะทางที่วัดได้โดยวัดค่าลอจิกที่เอาต์พุทของไอซี 74LS373 ค่าที่วัดได้เป็นเลขฐานสอง จำนวน 8 บิต โดยขาเอาต์พุทของไอซี 74LS373 เป็นดังนี้

MSB

LSB

2 5 6 9 12 15 16 19

4. เปลี่ยนค่าระยะทางโดยเลื่อนสิ่งกีดขวางออกตามระยะที่กำหนด แล้วทำการวัดอีกครั้ง โดยโหลดโปรแกรมใหม่ด้วยวิธีกดปุ่มรีเซตของอีพรอมอีมูเลเตอร์
5. เปลี่ยนชุดเซ็นเซอร์โดยเปลี่ยนค่าในโปรแกรมที่คำสั่ง MOV check,#_H แล้วทำตามข้อ 2-5 ทำการทดลองจนครบทั้ง 5 ชุด

ผลการทดลอง

ผลการทดลองแสดงดังตารางที่ 6.2 เปรียบเทียบระยะทางที่กำหนดกับระยะทางที่วัดได้ของเซ็นเซอร์แต่ละชุด

ตาราง 6.2 ผลการทดลองโปรแกรมและวงจรวัดระยะทางโดยใช้อัลตราโซนิก

| ผลการวัดของเซ็นเซอร์ แต่ละชุด | | ระยะทางที่กำหนด (เซนติเมตร) | | | | | | | | | |
|----------------------------------|---------------|-----------------------------|----|-------|----|----|------|------|------|----|-----|
| | | 10 | 20 | 30 | 40 | 50 | 60 | 70 | 80 | 90 | 100 |
| เซ็นเซอร์ ชุดที่ 1 | ระยะที่วัดได้ | 18 | 19 | 26 | 38 | 50 | 60 | 69 | 81 | 90 | 103 |
| | % ผิดพลาด | 80 | 5 | 13.33 | 5 | 0 | 0 | 1.43 | 1.25 | 0 | 3 |
| เซ็นเซอร์ ชุดที่ 2 | ระยะที่วัดได้ | 18 | 20 | 27 | 38 | 50 | 60 | 70 | 82 | 90 | 103 |
| | % ผิดพลาด | 80 | 0 | 10 | 5 | 0 | 0 | 0 | 2.5 | 0 | 3 |
| เซ็นเซอร์ ชุดที่ 3 | ระยะที่วัดได้ | 18 | 19 | 26 | 38 | 50 | 60 | 70 | 80 | 90 | 103 |
| | % ผิดพลาด | 80 | 5 | 13.33 | 5 | 0 | 0 | 0 | 0 | 0 | 3 |
| เซ็นเซอร์ ชุดที่ 4 | ระยะที่วัดได้ | 18 | 18 | 26 | 38 | 51 | 61 | 68 | 80 | 90 | 102 |
| | % ผิดพลาด | 80 | 10 | 13.33 | 5 | 2 | 1.67 | 2.86 | 0 | 0 | 2 |
| เซ็นเซอร์ ชุดที่ 5 | ระยะที่วัดได้ | 18 | 19 | 26 | 38 | 49 | 60 | 71 | 81 | 90 | 102 |
| | % ผิดพลาด | 80 | 5 | 13.33 | 5 | 2 | 0 | 1.43 | 1.25 | 0 | 2 |

ข้อสังเกต จากการทดลองพบว่า ระยะทางต่ำสุดที่วัดได้คือ 18 เซนติเมตร ทั้งนี้เป็นผลจากการรีเซ็ต JK ฟลิปฟล็อป วงจรนี้สามารถวัดระยะทางได้ไกลกว่า 100 เซนติเมตรได้แต่ต้องปรับความต้านทานปรับค่าได้ของชุดรับคลื่นให้เหมาะสม เพื่อความแม่นยำของระยะทางที่จะวัดได้

วิเคราะห์และสรุปผลการทดลอง

วงจรวัดระยะทางโดยใช้อัลตราโซนิกเซ็นเซอร์นี้ สามารถวัดได้ในช่วงระยะทาง 18-100 เซนติเมตร โดยเกิดความผิดพลาดขึ้นเล็กน้อย ทั้งนี้เพราะการใช้อัลตราโซนิกเซ็นเซอร์นั้นมีข้อจำกัดในเรื่องของการสะท้อนที่ผิวของสิ่งกีดขวาง มุมสะท้อน มุมระหว่างสิ่งกีดขวางกับตัวเซ็นเซอร์ เนื่องจากถ้ามุมระหว่างสิ่งกีดขวางกับเซ็นเซอร์เบนออกจาก 90 องศา ใดๆ สิ่งกีดขวางจะเบนออกไป ทำให้เซ็นเซอร์ไม่สามารถรับคลื่นสะท้อนได้ จากการสังเกตพบว่า มุมเบี่ยงเบนระหว่างสิ่งกีดขวางกับเซ็นเซอร์ต้องไม่เกิน 15 องศา

6.8 การทดลองโปรแกรมย่อยให้รถเคลื่อนที่ได้ตรง

จุดประสงค์

เพื่อให้สามารถบอกได้ว่าการใช้ไมโครคอนโทรลเลอร์สามารถช่วยควบคุมความเร็วดีซีมอเตอร์ให้เท่ากันได้

ขั้นตอนการทดลอง

1. ต่อมอเตอร์ทั้ง 2 ตัวของรถเข้ากับแหล่งจ่ายอันเดียวกัน
2. เปิดสวิทช์ให้รถวิ่งไปเป็นระยะทาง 15 ฟุต แล้ววัดระยะทางที่รถเคลื่อนที่เบี่ยงเบนไปจากแนวเส้นตรง ทำการทดลองและบันทึกผลการทดลอง
3. ใช้ไมโครคอนโทรลเลอร์ควบคุมความเร็วดีซีมอเตอร์ โดยใช้โปรแกรมย่อยควบคุมการทำงานให้รถเคลื่อนที่ได้ตรง
4. ทำการทดลองเหมือนข้อ 2

ตาราง 6.3 ผลการทดลองโปรแกรมย่อยให้รถเคลื่อนที่ได้ตรง

| ครั้งที่ | ไม่ใช้ไมโครคอนโทรลเลอร์ | | ใช้ไมโครคอนโทรลเลอร์ | |
|----------|-------------------------|---------------|----------------------|---------------|
| | แนวการเบี่ยงเบน | ระยะเบี่ยงเบน | แนวการเบี่ยงเบน | ระยะเบี่ยงเบน |
| 1 | ขวา | 3 ฟุต 10 นิ้ว | ซ้าย | 2.36 นิ้ว |
| 2 | ขวา | 4 ฟุต 2 นิ้ว | ขวา | 3.15 นิ้ว |
| 3 | ขวา | 4 ฟุต 2 นิ้ว | ซ้าย | 1 นิ้ว |

วิเคราะห์และสรุปผลการทดลอง

จากผลการทดลองจะเห็นได้ว่าแม้จะต่อแบตเตอรี่ทั้ง 2 ตัว เข้ากับแหล่งจ่ายอันเดียวกัน ความเร็วของมอเตอร์ทั้งสองตัวก็ยังคงแตกต่างกัน แต่ถ้าใช้ไมโครคอนโทรลเลอร์ควบคุมความเร็วมอเตอร์แล้วจะช่วยให้ความเร็วของมอเตอร์ทั้งสองตัวใกล้เคียงกันมากขึ้น ทำให้รถวิ่งไปได้ตรงขึ้น

6.4 การทดลองโปรแกรมย่อยในการวัดระยะทาง

จุดประสงค์

เพื่อทดสอบการทำงานของโปรแกรมย่อย ในการวัดระยะทางการเคลื่อนที่ของรถ เพื่อควบคุมให้รถวิ่งไปเป็นระยะทางที่กำหนดได้

ขั้นตอนการทดลอง

1. ตั้งค่าระยะทางเป้าหมายให้รถวิ่งไปตรง ๆ เป็นระยะทาง 1 ฟุต
2. ให้รถวิ่งไปยังเป้าหมายแล้ววัดระยะทางการเคลื่อนที่ของรถ
3. ทำการทดลองซ้ำข้อ 1 และข้อ 2 โดยเพิ่มระยะทางขึ้นทีละ 1 ฟุต จนถึงที่ระยะ 6 ฟุต

ตารางที่ 6.4 ผลการทดลองโปรแกรมย่อยในการวัดระยะทาง

| ระยะทางที่ตั้งไว้ (ฟุต) | ระยะทางที่วัดได้ | | ระยะผิดพลาด | เปอร์เซ็นต์ผิดพลาด |
|----------------------------|------------------|-------|-------------|--------------------|
| | ฟุต | นิ้ว | (นิ้ว) | (%) |
| 1 | 0 | 11.5 | 0.5 | 4.17 |
| 2 | 1 | 11.25 | 0.75 | 3.125 |
| 3 | 2 | 10.5 | 1.5 | 4.17 |
| 4 | 3 | 10 | 2 | 4.17 |
| 5 | 4 | 10 | 2 | 3.33 |
| 6 | 5 | 9 | 3 | 4.17 |

วิเคราะห์และสรุปผลการทดลอง

จากผลการทดลองจะเห็นได้ว่าเมื่อเพิ่มระยะทางในการเคลื่อนที่ ระยะที่วัดได้ก็จะผิดพลาดเพิ่มขึ้น แต่เมื่อเทียบเป็นเปอร์เซ็นต์ความผิดพลาดแล้วมีค่าใกล้เคียงกัน แสดงว่าในส่วนของการทำงานจำนวนพัลส์ต่อหน่วยระยะทางมีความผิดพลาด อาจเกิดขึ้นจากความผิดพลาดของขนาดของล้อซึ่งสามารถชดเชยด้วยโปรแกรมได้

6.5 การทดลองโปรแกรมย่อยควบคุมการเลียว

จุดประสงค์

เพื่อทดสอบการทำงานของโปรแกรมย่อยควบคุมการเลียว

ขั้นตอนการทดลอง

1. ตั้งระยะเป้าหมายโดยให้รถเลียวขวาเลยแล้วจึงวิ่งตรง วัดมุมในการเลียวเทียบกับมุม 90 องศา ทดลองจำนวน 5 ครั้ง
2. ตั้งระยะเป้าหมายโดยให้รถวิ่งตรงไปก่อนแล้วค่อยเลียวขวา วัดมุมในการเลียวเทียบกับมุม 90 องศา ทดลองจำนวน 5 ครั้ง
3. ทำการทดลองซ้ำกับข้อ 1 และข้อ 2 แต่เปลี่ยนเป็นเลียวซ้ายแทน

ตารางที่ 6.5 ผลการทดลองโปรแกรมย่อยควบคุมการเลียว

| ครั้งที่ | มุมเบี่ยงเบนเมื่อเลียวขวา (องศา) | | มุมเบี่ยงเบนเมื่อเลียวซ้าย (องศา) | |
|----------|----------------------------------|--------------|-----------------------------------|--------------|
| | เลียวเลข | ตรงแล้วเลียว | เลียวเลข | ตรงแล้วเลียว |
| 1 | 3 | 2 | 5 | 2 |
| 2 | 5 | 2 | 4 | 3 |
| 3 | 4 | 2 | 4 | 2 |
| 4 | 4 | 3 | 3 | 2 |
| 5 | 3 | 3 | 4 | 2 |

วิเคราะห์และสรุปผลการทดลอง

1. จากการทดลองสังเกตได้ว่าเมื่อมีการวิ่งตรง ๆ ไปก่อนแล้วจึงเลียว จะมีมุมการเบี่ยงเบนไปจากมุม 90 องศาน้อยกว่าเมื่อให้เลียวเลข เนื่องจากเมื่อมีการวิ่งตรง ๆ ไปก่อนจะมีการปรับความเร็วมอเตอร์ทั้งสองข้างให้ใกล้เคียงกัน ดังนั้นในการเลียว ล้อแต่ละข้างจะหมุนไปจนได้จำนวนพัลส์ที่ต้องการแล้วหยุดเกือบพร้อมกัน ทำให้มุมใกล้เคียงกับที่ต้องการ แต่เมื่อให้เลียวเลขจะมีการกำหนดความเร็วเริ่มต้นล้อซ้ายค่าหนึ่งซึ่งไม่เท่ากับความเร็วล้อขวา ทำให้มอเตอร์แต่ละข้างหยุดไม่พร้อมกัน มุมการเลียวจึงเบี่ยงเบนไปจากที่ควรจะเป็น

เอกสารนี้เป็นเอกสารที่สงวนไว้สำหรับการใช้งานเพื่อการศึกษาเท่านั้น ไม่อนุญาตให้นำไปใช้ประโยชน์ด้านการค้า ไม่ว่าจะกรณีใดๆ ทั้งสิ้น อีกทั้งห้ามมิให้ดัดแปลงเนื้อหา และต้องอ้างอิงถึงเจ้าของเอกสารทุกครั้งที่มีการนำไปใช้

2. ในการเลี้ยวแต่ละครั้งมุมที่เบี่ยงเบนไปจากที่ด้องการ อาจเกิดขึ้นจากความผิดพลาดของขนาดของล้อ ซึ่งสามารถชดเชยด้วยโปรแกรมได้

6.6 การทดลองโปรแกรมหลักควบคุมการทำงาน

จุดประสงค์

เพื่อทดสอบการทำงานของวงจรทั้งหมดและ โปรแกรมควบคุมการทำงาน

ขั้นตอนการทดลอง

1. ตั้งค่าพิกัดเป้าหมายเป็น (3,3), (-3,3), (-3,-3), (3,-3) แล้วให้รถวิ่ง ไปยังเป้าหมาย วัดค่าความผิดพลาดแต่ละแนวแกน

2. เขียนโปรแกรมโดยไม่คำนึงถึงชุดเซ็นเซอร์ทั้งหมด แล้วทำการทดลองเหมือน

ข้อ 1

ผลการทดลอง

- เมื่อใช้ชุดเซ็นเซอร์ปรากฏว่ารถเลี้ยวซ้ายตลอดเวลา ไม่สามารถวิ่ง ไปยังเป้าหมายได้

- เมื่อไม่คำนึงถึงชุดเซ็นเซอร์ รถจะ ไม่สามารถหลบวัตถุที่กีดขวางการเคลื่อนที่ได้ แต่ถ้าไม่มีวัตถุกีดขวางก็สามารถวิ่ง ไปยังจุดที่ใกล้เคียงกับเป้าหมายได้ ดังแสดงในตารางที่ 6.6

ตารางที่ 6.6 แสดงผลการทดลองโปรแกรมหลักเมื่อไม่คำนึงถึงชุดเซ็นเซอร์

| | | | | |
|------------------------------------|------------|----------|-----------|--------|
| พิกัดเป้าหมาย : (X,Y) (นิ้ว) | 36,36 | -36,36 | -36,-36 | 36,-36 |
| พิกัดที่วิ่ง ไปจริง : (X,Y) (นิ้ว) | 33.5,30 | -32.5,34 | -32,-34.5 | 29,-36 |
| ความผิดพลาด : (%X,%Y) | 6.94,16.67 | 9.72,5.5 | 11.1,4.16 | 19.4,0 |

วิเคราะห์และสรุปผลการทดลอง

1. จากผลการทดลองเมื่อใช้ชุดเซ็นเซอร์ปรากฏว่ารถเลี้ยวซ้ายตลอดเวลา แสดงว่ารถตรวจจับวัตถุได้ทางขวาและทางด้านหน้าตลอด นั่นคือชุดเซ็นเซอร์มีความไม่สมบูรณ์และมี

เอกสารนี้เป็นเอกสารที่สงวนไว้สำหรับการใช้งานเพื่อการศึกษาเท่านั้น เมื่อนุญาตให้นำไปใช้ประโยชน์ด้านการค้าไม่ว่ากรณีใดๆ ทั้งสิ้น อีกทั้งห้ามมิให้ตัดแปลงเนื้อหา และต้องอ้างอิงถึงเจ้าของเอกสารทุกครั้งที่มีการนำไปใช้

ความผิดพลาดในการทำงาน

2. เมื่อไม่คำนึงถึงชุดเซ็นเซอร์ รถยังคงวิ่งไปได้ตามที่ขของเป้าหมาย แต่มีความผิดพลาดเล็กน้อยไม่เท่ากัน เนื่องจากเป็นความผิดพลาดรวมของการทำงานแต่ละส่วน



เอกสารนี้เป็นเอกสารที่สงวนไว้สำหรับการใช้งานเพื่อการศึกษาเท่านั้น ไม่อนุญาตให้นำไปใช้ประโยชน์ด้านการค้า
ไม่ว่ากรณีใดๆ ทั้งสิ้น อีกทั้งห้ามมิให้ดัดแปลงเนื้อหา และต้องอ้างอิงถึงเจ้าของเอกสารทุกครั้งที่มีการนำไปใช้



ภาคผนวก ก รายละเอียดโปรแกรมทั้งหมด

เอกสารนี้เป็นเอกสารที่สงวนไว้สำหรับการใช้งานเพื่อการศึกษาเท่านั้น ไม่อนุญาตให้นำไปใช้ประโยชน์ด้านการค้า
ไม่ว่ากรณีใดๆ ทั้งสิ้น อีกทั้งห้ามมิให้ดัดแปลงเนื้อหา และต้องอ้างอิงถึงเจ้าของเอกสารทุกครั้งที่มีการนำไปใช้

```

;*****
;PROGRAM AUTOMATIC ESCHEWING CAR
;*****
        ORG 0000H
        JMP MAIN
;*****
;   VARIABLE SPECIFY
;*****
;8255_1
        PORTA1 EQU 0E0H
        PORTB1 EQU 0E1H
        PORTC1 EQU 0E2H
        PCWR1  EQU 0E3H

;8255_2
        PORTA2 EQU 0C0H
        PORTB2 EQU 0C1H
        PORTC2 EQU 0C2H
        PCWR2  EQU 0C3H

;KEYBOARD
        KBD    EQU 0A0H

;DISPLAY DATA MEMORY
        DDMEM EQU 10H ;(TO 1FH)

;SPEED DATA
        SPD    EQU 0AH

;CANCEL KEY
        CANKEY EQU 0AH

;GO KEY
        GOKEY  EQU 0BH

;MINUS KEY
        MIKEY  EQU 0CH

;TARGET DISPLAY DATA MEMORY
        XPOS1MEM EQU 15H
        XPOS2MEM EQU 16H
        XPOS3MEM EQU 17H
        YPOS1MEM EQU 1DH
        YPOS2MEM EQU 1EH
        YPOS3MEM EQU 1FH

;TARGET POSITION MEMORY IN FEET
        XDIST EQU 08H
        YDIST EQU 09H

;NUMBER OF PULSES TO GOTO TARGET
        XABS_L EQU 0BH
        XABS_H EQU 0CH
        YABS_L EQU 0DH
        YABS_H EQU 0EH
        ABSBUF_L EQU 22H
        ABSBUF_H EQU 23H

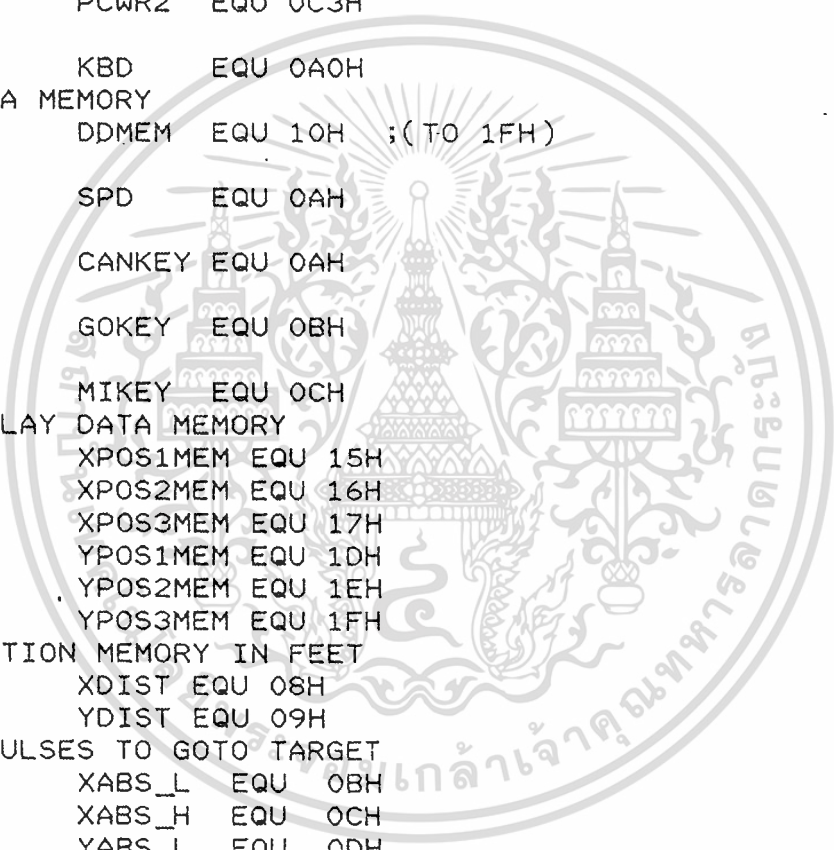
;DECISOR REGISTER
        DECISOR EQU 21H

;BIT DECISOR
        BUFB   BIT 0FH
        YCOOR  BIT 0EH
        XCOOR  BIT 0DH
        OBJL   BIT 0CH
        OBJML  BIT 0BH
        OBJM   BIT 0AH
        OBJMR  BIT 09H
        OBJR   BIT 08H

;CONTROL MOTOR MEMORY
        CTRLMEM EQU 22H

;NUMBER OF PULSES IN ONE FOOT

```



เอกสารนี้เป็นเอกสารที่เผยแพร่เพื่อการใช้งานเพื่อการศึกษาเท่านั้น ไม่อนุญาตให้นำไปใช้ประโยชน์ด้านการค้า
 เอกสารนี้เป็นเอกสารที่เผยแพร่เพื่อการใช้งานเพื่อการศึกษาเท่านั้น ไม่อนุญาตให้นำไปใช้ประโยชน์ด้านการค้า
 ;NUMBER OF PULSES IN ONE FOOT เนื้อหา และต้องอ้างอิงถึงเจ้าของเอกสารทุกครั้งที่มีการนำไปใช้

ONEFOOT EQU 117

```

;*****
;   MAIN PROGRAM
;*****
;INTERRUPT FROM KEYBOARD
    ORG 0003H
    MOV R0,#KBD
    MOVX A,@R0
    RETI
;*****
;INTERRUPT FROM SENSOR
    ORG 0013H
    MOV R1,SP
    MOV @R1,#00H
    DEC R1
    MOV @R1,#30H
    RETI

;ORIGIN ADDRESS FOR RETURN INTERRUPT
    ORG 0030H
    JMP INTR
;*****
    ORG 0040H
MAIN:  MOV SP,#2FH           ;INITAIL STACK POINTER
      CALL DELAY          ;WAIT FOR VCC RISES
      CALL INI8255_1      ;INITIAL PORT 8255
      CALL INI8255_2      ;INITIAL PORT 8255
      CALL INILCD         ;INITIAL LCD MODULE
      CALL WELCOME        ;SHOW INTRODUCTION MESSAGE
      CALL GETARGET       ;RECIEVE TARGET'S POSITION
      CALL GOTOTAR        ;RUN TO ACHIEVE TARGET'S POSITION
      JMP GOAL            ;SHOW ACHIEVE MESSAGE
;*****
;   DELAY
;*****
DELAY:  PUSH 06
      PUSH 07
      MOV R7,#00H
      MOV R6,#00H
INDLY:  DJNZ R6,$
      DJNZ R7,INDLY
      POP 07
      POP 06
      RET
;*****
;   INITAIL 8255
;*****
INI8255_1:  MOV R0,#PCWR1
          MOV A,#10000010B           ;PORT A,C = OUTPUT
                                          ;PORT B = INPUT
          MOVX @R0,A
          DEC R0
          CLR A
          MOVX @R0,A
          DEC R0
          MOVX @R0,A
          DEC R0
          MOVX @R0,A
          RET

```

```

INI8255_2:      MOV R0,#PCWR2
                MOV A,#80H                ;ALL PORTS ARE OUTPUT
                MOVX @R0,A
                DEC R0
                CLR A
                MOVX @R0,A
                DEC R0
                MOVX @R0,A
                DEC R0
                MOVX @R0,A
                RET

```

```

;*****
;      INITIAL LCD
;PORTA2=DATA
;PC0_2 =RS
;PC1_2 =R/W
;PC2_2 =E
;*****

```

```

INILCD:
;FUNCTION SET
                MOV A,#00111000B ;8 BIT,2 LINES,5*7 DOTS
                CALL ENACODE
;ENTRY MODE SET
                MOV A,#00000110B ;INCREMENT ADDRESS
                ;CURSOR SHIFTS RIGHT
                CALL ENACODE
;DISPLAY ON/OFF CONTROL
                MOV A,#00001100B ;DISPLAY ON,CURSOR OFF
                ;BLINK OFF
                CALL ENACODE
                RET

```

```

;*****
;      INTRODUCTION MESSAGE
;*****
WELCOME:      MOV DPTR,#MESS1
                CALL SHOWSHOW
                MOV DPTR,#MESS2
                CALL SHOWSHOW
                MOV DPTR,#MESS3
                CALL SHOWSHOW
                MOV DPTR,#MESS4
                CALL SHOWSHOW
                RET

```

```

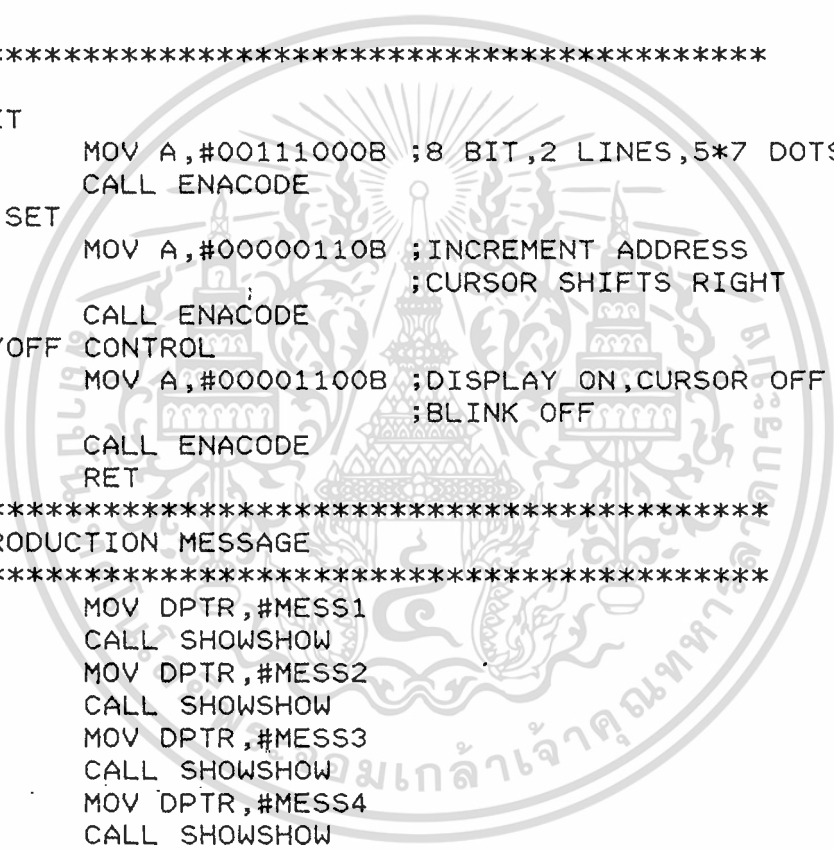
;*****
;      SHOW MESSAGE
;*****
SHOWSHOW:     CALL FILLDMEM
                CALL SHOWLCD
                CALL DELAY
                CALL DELAY
                CALL DELAY
                CALL DELAY
                RET

```

```

;*****
;      SHOW ACHIEVE MESSAGE
;*****
GOAL:         MOV DPTR,#MESS7
                CALL SHOWSHOW
                MOV A,#01H
                CALL ENACODE

```



เอกสารนี้เป็นเอกสารที่สงวนลิขสิทธิ์ของมหาวิทยาลัยเทคโนโลยีพระจอมเกล้าเจ้าคุณทหารลาดกระบัง เพื่อการศึกษาเท่านั้น ไม่อนุญาตให้นำไปใช้ประโยชน์ด้านการค้า
 ไม่ว่ากรณีใดๆ ทั้งสิ้น อีกทั้งห้ามเผยแพร่เนื้อหา และต้องอ้างอิงถึงเจ้าของเอกสารทุกครั้งที่มีการนำไปใช้

```

CALL DELAY
CALL DELAY
JMP GOAL
;*****
MESS1:    DB 'HELLO MY NAME IS'
MESS2:    DB ' MR. ESCHEWER '
MESS3:    DB ' ENTER TARGET '
MESS4:    DB ' IN UNIT FEET '
MESS5:    DB 'XPOS  YPOS '
MESS6:    DB 'EXCESS 30 FEET'
MESS7:    DB ' G O A L '
;*****
; FILL DISPLAY DATA MEMORY
;FILL DISPLAY DATA TO BUFFER(INTERNAL RAM)
;*****
FILLDMEM: PUSH 01
          PUSH 02
          PUSH 03
          MOV R1,#DDMEM ;INITIAL BUFFER ADDRESS
          MOV R2,#00H  ;CHARACTER OFFSET
          MOV R3,#10H  ;COUNTER
FILLCHAR: MOV A,R2
          MOVC A,@A+DPTR
          MOV @R1,A
          INC R1
          INC R2
          DJNZ R3,FILLCHAR
          POP 03
          POP 02
          POP 01
          RET
;*****
; SHOW LCD DISPLAY
;*****
SHOWLCD:  PUSH 01
          PUSH 07
          MOV R1,#DDMEM ;INITIAL BUFFER ADDRESS
          MOV R7,#08H  ;COUNTER
          MOV A,#80H   ;SET DDRAM ADDRESS
          CALL SENDPA2
          CALL ENACODE
SET_ST:   MOV A,@R1
          CALL SENDPA2
          CALL ENADATA
          INC R1
          DJNZ R7,SET_ST
          MOV R7,#08H ;COUNTER
          MOV A,#00CH ;SET DDRAM ADDRESS
          CALL SENDPA2
          CALL ENACODE
SET_ND:  MOV A,@R1
          CALL SENDPA2
          CALL ENADATA
          INC R1
          DJNZ R7,SET_ND
          CALL DELAY
          CALL DELAY
          CALL DELAY
          CALL DELAY

```

เอกสารนี้เป็นเอกสารที่สงวนลิขสิทธิ์ของงานเพื่อการศึกษาเท่านั้น ไม่อนุญาตให้นำไปใช้ประโยชน์ด้านการค้า
ไม่ว่ากรณีใดๆ ทั้งสิ้น อีกทั้งยังต้องอ้างอิงถึงเจ้าของเอกสารทุกครั้งที่มีการนำไปใช้

```

POP 07
POP 01
RET
;*****
; ROUTINE SEND/RECIEVE DATA TO/FROM PORTS
;USE A PASS VALUE
;*****
SENDPA1: MOV R0,#PORTA1
MOVX @R0,A
RET
GETPB1: MOV R0,#PORTB1
MOVX A,@R0
RET
SENDPC1: MOV R0,#PORTC1
MOVX @R0,A
RET
SNDPCWR1: MOV R0,#PCWR1
MOVX @R0,A
RET
;*****
SENDPA2: MOV R0,#PORTA2
MOVX @R0,A
RET
SENDPB2: MOV R0,#PORTB2
MOVX @R0,A
RET
SENDPC2: MOV R0,#PORTC2
MOVX @R0,A
RET
;*****
; ENABLE LCD TO RECIEVE INSTRUCTION CODE
;*****
ENACODE: PUSH 03
CALL SENDPA2
CLR A
CALL SENDPB2
MOV A,#00000100B ;SET ENABLE
CALL SENDPB2
CLR A
CALL SENDPB2
MOV R3,#00H
DJNZ R3,$
POP 03
RET
;*****
; ENABLE LCD TO RECIEVE DATA
;*****
ENADATA: PUSH 03
CALL SENDPA2
MOV A,#01H
CALL SENDPB2
MOV A,#00000101B ;SET ENABLE AND RS,CLEAR R/W
CALL SENDPB2
MOV A,#01H
CALL SENDPB2
MOV R3,#00H
DJNZ R3,$
POP 03
RET
;*****

```

เอกสารนี้เป็นเอกสารที่สงวนลิขสิทธิ์การใช้งานเพื่อการศึกษาเท่านั้น ไม่อนุญาตให้นำไปใช้ประโยชน์ด้านการค้า

ไม่ว่ากรณีใดๆ ห้ามมิให้นำไปใช้ในทางที่ผิดและต้องรับผิดชอบต่อส่วนที่ตนได้ส่งมอบทุกครั้งที่มีการนำไปใช้

```

;ROUTINE RECEIVE THE POSITION OF TARGET FROM KEYBOARD
;*****
GETARGET:      MOV DPTR,#MESS5
               CALL FILLDMEM
               MOV IE,#81H      ;ENABLE INTO
               SETB ITO         ;INTO CHECK FALL EDGE
;*****
;      RECIEVE X-POSITION
;*****
X_POS:        MOV XDIST,#00H    ;CLEAR X-POSTION
               CLR XCOOR       ;CLEAR X-SIGN
               MOV R1,#XPOS1MEM ;INITIAL X-DISPLAY BUFFER
               MOV R0,#05H     ;SET POSITION MEMORY
               MOV R2,#03H     ;COUNTER
XCLRCHAR:    MOV @R1,#20H      ;BLANK CHARACTER
               MOV @R0,#0AH
               INC R1
               INC R0
               DJNZ R2,XCLRCHAR
               CALL SHOWLCD
               MOV A,#85H      ;SET DDRAM BLINK ADDRESS
               CALL SENDPA2
               CALL ENACODE
               MOV A,#00001111B ;DISPLAY ON,CURSOR ON
                                   ;BLINK ON
               CALL ENACODE
;*****
XFIRST:      JNB IEO,$         ;WAIT FOR X-FIRST KEY
               ANL A,#0FH      ;CLEAR UPPER NIBBLE
               CJNE A,#CANKEY,XCKFIRST
               JMP XFIRST
XCKFIRST:   JC XWRFIRST
               CJNE A,#MIKEY,XFIRST ;IF FIRST KEY IS MINUS
               SETB XCOOR      ;SET X-SIGN
XWRFIRST:   MOV R1,#XPOS1MEM
               MOV R7,A
               CALL WRITEKEY
               MOV A,#86H
               CALL SENDPA2
               CALL ENACODE
;*****
XSECOND:    JNB IEO,$         ;WAIT FOR X-SECOND KEY
               ANL A,#0FH
               CJNE A,#GOKEY,XCKSEC
               CJNE R7,#MIKEY,XCKVALUE
               JMP XSECOND
XCKSEC:     JNC XSECOND
               CJNE A,#CANKEY,XWRSEC
               JMP X_POS
XWRSEC:     MOV R1,#XPOS2MEM
               MOV R6,A
               CALL WRITEKEY
               MOV A,#87H
               CALL SENDPA2
               CALL ENACODE
;*****
XTHIRD:     JNB IEO,$         ;WAIT FOR X-THIRD KEY
               ANL A,#0FH
               CJNE A,#GOKEY,XCKTHIRD
               JMP XCKVALUE

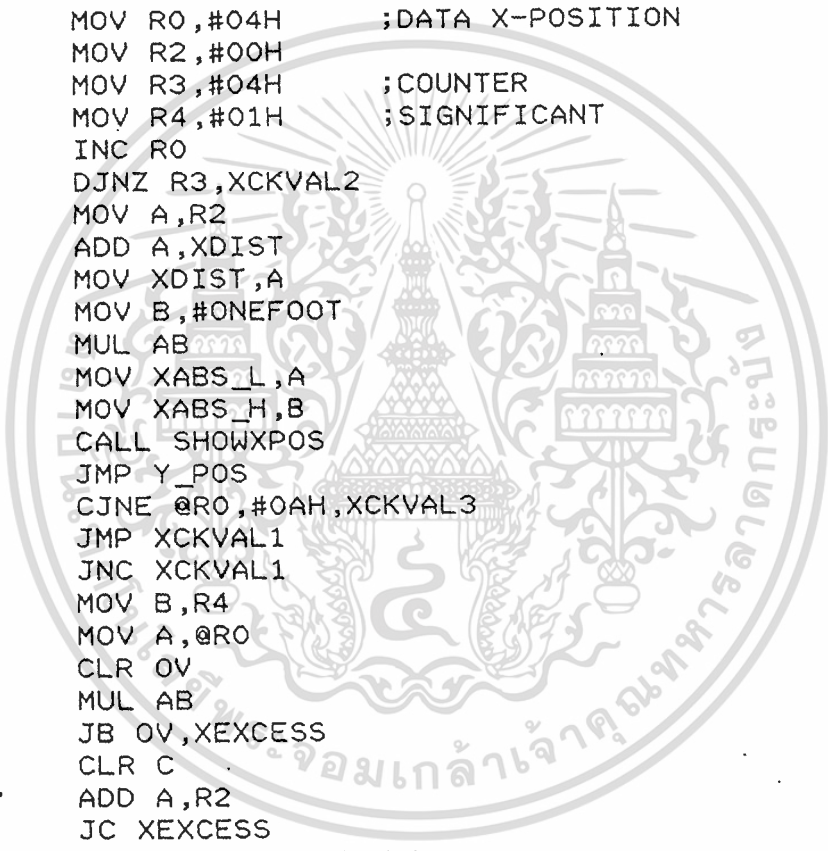
```

เอกสารนี้เป็นเอกสารที่สงวนลิขสิทธิ์ของมหาวิทยาลัยเทคโนโลยีพระจอมเกล้าเจ้าคุณทหารลาดกระบัง
 เอกสารนี้เป็นการศึกษาเท่านั้น ไม่อนุญาตให้นำไปใช้ประโยชน์ด้านการค้า
 ไม่ว่ากรณีใดๆ ทั้งสิ้น อีเมล: office@kmutt.ac.th และต้องอ้างอิงถึงเจ้าของเอกสารทุกครั้งที่มีการนำไปใช้

```

XCKTHIRD:      JNC XTHIRD
                CJNE A,#CANKEY,XWRTHIRD
                JMP X_POS
XWRTHIRD:      MOV R1,#XPOS3MEM
                MOV R5,A
                CALL WRITEKEY
;*****
XFORTH:        JNB IE0,$          ;WAIT FOR X-FORTH KEY
                ANL A,#0FH
                CJNE A,#CANKEY,XCKFORTH
                JMP X_POS
XCKFORTH:      CJNE A,#GOKEY,XFORTH
                JMP XCKVALUE
;*****
;             CHECK X-POSITION RECIEVE FROM KEYBOARD
;*****
XCKVALUE:      MOV R0,#04H          ;DATA X-POSITION
                MOV R2,#00H
                MOV R3,#04H          ;COUNTER
                MOV R4,#01H          ;SIGNIFICANT
XCKVAL1:       INC R0
                DJNZ R3,XCKVAL2
                MOV A,R2
                ADD A,XDIST
                MOV XDIST,A
                MOV B,#ONEFOOT
                MUL AB
                MOV XABS_L,A
                MOV XABS_H,B
                CALL SHOWXPOS
                JMP Y_POS
XCKVAL2:       CJNE @R0,#0AH,XCKVAL3
                JMP XCKVAL1
XCKVAL3:       JNC XCKVAL1
                MOV B,R4
                MOV A,@R0
                CLR OV
                MUL AB
                JB OV,XEXCESS
                CLR C
                ADD A,R2
                JC XEXCESS
                CJNE A,#31,XCKVAL4
                JMP XEXCESS
XCKVAL4:       JNC XEXCESS
                XCH A,R2
                MOV B,#10
                MOV A,R4
                MUL AB
                XCH A,R4
                JMP XCKVAL1
;*****
XEXCESS:       CALL EXCESS
                JMP X_POS
;*****
;             SHOW X-POSITION TO LCD DISPLAY
;*****
SHOWXPOS:      MOV R1,#XPOS1MEM
                JB XCOORD,XFILLMIN
                CLR A

```



เอกสารที่ส่งมอบให้ท่านศึกษาเท่านั้น ไม่อนุญาตให้นำไปใช้ประโยชน์ด้านการค้า
 ไม่ว่ากรณีใดๆ ทั้งสิ้น อนุญาตให้นำไปใช้ได้แต่เพียงเนื้อหา และต้องอ้างอิงถึงเจ้าของเอกสารทุกครั้งที่มีการนำไปใช้

```

CALL FILLPOS
XFILLPOS:  MOV A,XDIST
           MOV B,#10
           DIV AB
           INC R1
           CALL FILLPOS
           INC R1
           MOV A,B
           CALL FILLPOS
           CALL SHOWLCD
           RET ;RETURN FROM SHOWXPOS

XFILLMIN:  MOV A,#MIKEY
           CALL FILLPOS
           JMP XFILLPOS

;*****
;ROUTINE FILL CHARACTER TO SELECTED BUFFER ADDRESS
;*****
FILLPOS:   MOV DPTR,#POSSHOW
           MOVC A,@A+DPTR
           MOV @R1,A
           RET

POSSHOW:   DB '0123456789 - '
;*****
; RECIEVE Y-POSITION
;*****
Y_POS:    MOV YDIST,#00H ;CLEAR Y-POSITION
           CLR YCOOR ;CLEAR Y-SIGN
           MOV R0,#05H ;SET POSITION MEMORY
           MOV R1,#YPOS1MEM
           MOV R2,#03H ;COUNTER

YCLRCHAR: MOV @R1,#20H ;BLANK CHARACTER
           MOV @R0,#0AH
           INC R1
           INC R0
           DJNZ R2,YCLRCHAR
           CALL SHOWLCD
           MOV A,#0C5H ;SET DDRAM BLINK ADDRESS
           CALL SENDPA2
           CALL ENACODE
           MOV A,#0001111B ;DISPLAY ON,CURSOR ON
           ;BLINK ON

           CALL ENACODE
;*****
YFIRST:   JNB IEO,$ ;WAIT FOR Y-FIRST KEY
           ANL A,#0FH
           CJNE A,#CANKEY,YCKFIRST
           JMP X_POS

YCKFIRST: JC YWRFIRST
           CJNE A,#MIKEY,YFIRST
           SETB YCOOR

YWRFIRST: MOV R1,#YPOS1MEM
           MOV R7,A
           CALL WRITEKEY
           MOV A,#0C6H
           CALL SENDPA2
           CALL ENACODE
;*****ใช้ประโยชน์ด้านการค้า
YSECOND: JNB IEO,$ ;WAIT FOR Y-SECOND KEY
           ANL A,#0FH

```

```

        CJNE A,#GOKEY,YCKSEC
        CJNE R7,#MIKEY,YCKVALUE
        JMP YSECOND
YCKSEC:    JNC YSECOND
        CJNE A,#CANKEY,YWRSEC
        JMP Y_POS
YWRSEC:    MOV R1,#YPOS2MEM
        MOV R6,A
        CALL WRITEKEY
        MOV A,#0C7H
        CALL SENDPA2
        CALL ENACODE
;*****
YTHIRD:    JNB IE0,$           ;WAIT FOR Y-THIRD KEY
        ANL A,#0FH
        CJNE A,#GOKEY,YCKTHIRD
        JMP YCKVALUE
YCKTHIRD:  JNC YTHIRD
        CJNE A,#CANKEY,YWRTHIRD
        JMP Y_POS
YWRTHIRD:  MOV R1,#YPOS3MEM
        MOV R5,A
        CALL WRITEKEY
;*****
YFORTH:    JNB IE0,$           ;WAIT FOR Y-FORTH KEY
        ANL A,#0FH
        CJNE A,#CANKEY,YCKFORTH
        JMP Y_POS
YCKFORTH:  CJNE A,#GOKEY,YFORTH
        JMP YCKVALUE
;*****
;          CHECK Y-POSITION RECIEVE FROM KEYBOARD
;*****
YCKVALUE:  MOV R0,#04H
        MOV R2,#00H
        MOV R3,#04H           ;COUNTER
        MOV R4,#01H           ;SIGNIFICANT
YCKVAL1:   INC R0
        DJNZ R3,YCKVAL2
        MOV A,R2
        ADD A,YDIST
        MOV YDIST,A
        MOV B,#ONEFOOT
        MUL AB
        MOV YABS_L,A
        MOV YABS_H,B
        CALL SHOWYPOS
        JMP RETGETAR
YCKVAL2:   CJNE @R0,#0AH,YCKVAL3
        JMP YCKVAL1
YCKVAL3:   JNC YCKVAL1
        MOV B,R4
        MOV A,@R0
        CLR OV
        MUL AB
        JB OV,YEXCESS
        CLR C

```

เอกสารนี้เป็นเอกสารที่ส่ง ADD A,R2 ใช้งานเพื่อการศึกษาเท่านั้น ไม่อนุญาตให้นำไปใช้ประโยชน์ด้านการค้า
 ไม่ว่ากรณีใดๆ ทั้งสิ้น อี JC YEXCESS
 CJNE A,#31,YCKVAL4 ะต้องอ้างอิงถึงเจ้าของเอกสารทุกครั้งที่มีการนำไปใช้

```

                JMP YEXCESS
YCKVAL4:      JNC YEXCESS
                XCH A,R2
                MOV B,#10
                MOV A,R4
                MUL AB
                XCH A,R4
                JMP YCKVAL1
;*****
YEXCESS:      PUSH 15H
                PUSH 16H
                PUSH 17H
                CALL EXCESS
                POP 17H
                POP 16H
                POP 15H
                JMP Y_POS
;*****
;          SHOW Y-POSITION TO LCD DISPLAY
;*****
SHOWYPOS:     MOV R1,#YPOS1MEM
                JB YCOOR,YFILLMIN
                CLR A
                CALL FILLPOS
YFILLPOS:     MOV A,YDIST
                MOV B,#10
                DIV AB
                INC R1
                CALL FILLPOS
                INC R1
                MOV A,B
                CALL FILLPOS
                CALL SHOWLCD
                RET          ;RETURN FROM SHOWYPOS
YFILLMIN:     MOV A,#MIKEY
                CALL FILLPOS
                JMP YFILLPOS
;*****
;          RETURN FROM GETARGET ROUTINE
;*****
RETGETAR:     MOV A,#00001100B ;CURSOR OFF,BLINK OFF
                CALL ENACODE
                RET          ;RETURN FROM GETARGET
;*****
WRITEKEY:     MOV DPTR,#KEYSHOW
                MOVC A,@A+DPTR
                MOV @R1,A
                CALL SHOWLCD
                RET
KEYSHOW:      DB '0123456789 - '
;*****
;          SHOW EXCESS MESSAGE WHEN VALUE IS MORE THAN 30 FEET
;*****
EXCESS:       MOV DPTR,#MESS6
                CALL FILLDMEM
                CALL SHOWLCD
                CALL DELAY
                CALL DELAY
                CALL DELAY

```

```

CALL DELAY
MOV DPTR,#MESS5
CALL FILLDMEM
RET

```

```

;*****
; ROUTINE GO TO TARGET POSITION
;AND CONTROL A CAR TO AVOIL ESCHEWING OBJECT
;*****

```

```

GOTOTAR: CALL INIGOFWD
MOV SPD,#11100000B ;INITIAL SPEED

```

```

ACHIEVE: MOV A,XABS_H
CLR C
ADD A,YABS_H
JC SCANOBJ ;SCAN OBJECT BY SENSOR
JNZ SCANOBJ
MOV A,XABS_L
CLR C
ADD A,YABS_L
JC SCANOBJ
CJNE A,#30,ENDORNOT
JMP SCANOBJ

```

```

ENDORNOT: JNC SCANOBJ
CALL BREAK
RET ;RETURN FROM ROUNTINE GOTOTAR

```

```

SCANOBJ: CALL SENSOR
CALL DECISE
CALL GOFWD
JMP ACHIEVE

```

```

;*****
; ROUTINE INITIAL VALUE WHEN BEGIN GO STREIGHT
;*****

```

```

INIGOFWD: MOV TMOD,#55H ;SET COUNTER MODE 1
MOV TCON,#01010000B ;ON COUNTER
MOV TH0,#00H
MOV TH1,#00H
MOV TLO,#00H
MOV TL1,#00H
MOV ABSBUF_L,YABS_L
MOV ABSBUF_H,YABS_H
RET

```

```

;*****
BREAK: CLR A
CALL SENDPC2
RET

```

```

;*****
;ROUTINE CHECK OBJECTS NEAR A CAR
; r2 = sensor selector
; r3 = distance
; r5 = counter
; r6,r7 = delay register
;*****

```

```

SENSOR: MOV R2,#01H
MOV R5,#04H ;COUNTER
SETB IT1 ;FALLING EDGE TRIGGERED
CLR OBJM

```

```

BEGIN_SEN: MOV A,#00001111B ;SET PC.7 (CLEAR SIGNAL)

```

```

CALL SENDPCWR1 เพื่อการศึกษาเท่านั้น ไม่อนุญาตให้นำไปใช้ประโยชน์ด้านการค้า
CLR EX1 ;DISABLE INT1
CALL SELECT

```

ไม่ว่ากรณีใดๆ ทั้งสิ้น อีเมล: info@kajonkajon.com และต้องอ้างอิงถึงเจ้าของเอกสารทุกครั้งที่มีการนำไปใช้

```

MOV A,#00001110B ;CLEAR PC.7 (STOP CLEAR SIGNAL)
CALL SNDPCWR1
SETB EX1 ;ENABLE INT1

```

```

WAIT_SEN: MOV R6,#6 ; DELAY TIME ABOUT 2.9 msec
MEASTIME: MOV R7,#240 ;(SOUND CAN GO ABOUT 2*50 cm.)
          DJNZ R7,$
          DJNZ R6,MEASTIME
          CLR EX1 ;DISABLE INT1
          MOV DPTR,#TABLE
          MOV A,R2
          INC R2
          DEC A
          RL A
          JMP @A+DPTR

```

```

TABLE:   JMP CASE1
         JMP CASE2
         JMP CASE3
         JMP CASE4

```

```

CASE1:   CLR OBJL
         SJMP COUNTER

```

```

CASE2:   CLR OBJML
         SJMP COUNTER

```

```

CASE3:   CLR OBJMR
         SJMP COUNTER

```

```

CASE4:   CLR OBJR
         SJMP COUNTER

```

```

COUNTER: DJNZ R5,BEGIN_SEN
         RET ;RETURN FROM SENSOR

```

```

;*****
; ROUTINE SELECT SENSOR TO MEASURE OBJECT-DISTANCE
;*****

```

```

SELECT:  MOV A,R2
SENS1:   CJNE A,#01,SENS2 ;SELECT SENSOR1
         MOV A,#00001001B ;SET PC1.4
         CALL SNDPCWR1
         RET

```

```

SENS2:   CJNE A,#02,SENS3 ;SELECT SENSOR2
         MOV A,#00001011B ;SET PC1.5
         CALL SNDPCWR1
         RET

```

```

SENS3:   CJNE A,#03,SENS4 ;SELECT SENSOR3
         MOV A,#00110000B ;SET PC1.4,PC1.5
         CALL SENDPC1
         RET

```

```

SENS4:   MOV A,#00001101B ;SELECT SENSOR4
         CALL SNDPCWR1
         RET

```

```

;*****
; ROUTINE RECIEVE DINTANCE VALUE
;*****

```

```

INTR:    CLR EX1 ;DISABLE INT1

```

```

CALL GETPB1 ;GET DISTANCE VALUE
MOV R3,A
CALL CKOBJ

```

เอกสารนี้เป็นเอกสารที่สงวนลิขสิทธิ์ไว้สำหรับงานเพื่อใช้ในการศึกษาและต้องอ้างอิงถึงเจ้าของเอกสารทุกครั้งที่มีการนำไปใช้

```
INC R2
JMP COUNTER
```

```
;*****
; ROUTINE DECISE OBJECT DISTANCE COMPARE
; WITH CRITICAL DISTANCE
;*****
```

```
CKOBJ: CJNE R2,#01H,SEN_2
        CJNE R3,#19H,SET1
        SETB OBJL
        JMP JMP1
SET1:   JNC NOTSET1
        SETB OBJL
NOTSET1: CLR OBJL
JMP1:   RET
```

```
SEN_2: CJNE R2,#02H,SEN_3
        CJNE R3,#14H,SET2
        SETB OBJML
        JMP JMP2
SET2:   JNC NOTSET2
        SETB OBJML
NOTSET2: CLR OBJML
JMP2:   RET
```

```
SEN_3: CJNE R2,#03H,SEN_4
        CJNE R3,#14H,SET3
        SETB OBJMR
        JMP JMP3
SET3:   JNC NOTSET3
        SETB OBJMR
NOTSET3: CLR OBJMR
JMP3:   RET
```

```
SEN_4: CJNE R3,#19H,SET4
        SETB OBJR
        JMP JMP4
SET4:   JNC NOTSET4
        SETB OBJR
NOTSET4: CLR OBJR
JMP4:   RET
```

```
RET ;RETURN FROM SENSOR
```

```
;*****
; ROUTINE DECISE MOBILE DIRECTION OF A CAR
;*****
```

```
DECISE: MOV A,YABS_H
        JNZ DETECT1
        MOV A,YABS_L
        CJNE A,#15,STOP
        JMP DETECT1
STOP:   JNC DETECT1
        .CALL BREAK
        MOV C,YCOOR
        CPL C
        MOV YCOOR,C
        RET
```

```
DETECT1: MOV C,OBJM
        ORL C,OBJML
        ORL C,OBJMR
        MOV BUFB,C
```

```

JNB YCOOR,REVERSE
MOV C,XCOOR
ANL C,/OBJL
JC CALLTURN
MOV C,OBJR
ORL C,XCOOR
JNC CALRTURN
MOV C,BUFB
JC REVERSE
RET ;RETURN FROM DECISE

```

```

REVERSE: MOV C,BUFB ;CHECK REVERSE

```

```

ANL C,OBJL
ANL C,OBJR
JNC TURN

```

```

CALL BREAK
CALL INIGOFWD

```

```

REV: CALL GOREV ;REVERSE LOOP

```

```

JNB YCOOR,INREV
MOV A,YABS_H
JNZ INREV
MOV A,YABS_L
CJNE A,#10,INNEREV

```

```

JMP INREV

```

```

INNEREV:

```

```

JNC INREV
MOV C,YCOOR
CPL C

```

```

MOV YCOOR,C
CALL INIGOFWD

```

```

INREV:

```

```

CALL SENSOR
MOV C,OBJR
ANL C,OBJL

```

```

JC REV

```

```

TURN:

```

```

CALL BREAK ;CHECK TURN

```

```

MOV C,OBJL
ORL C,OBJR

```

```

JNC MLMR

```

```

CLR C

```

```

ORL C,/OBJL
ORL C,OBJR

```

```

JC CALLTURN

```

```

CALRTURN:

```

```

CALL RTURN
CALL INIGOFWD

```

```

RET ;RETURN FROM DECISE

```

```

CALLTURN:

```

```

CALL LTURN
CALL INIGOFWD

```

```

RET ;RETURN FROM DECISE

```

```

MLMR:

```

```

MOV C,OBJML
ORL C,OBJMR

```

```

JNC HOWTURN

```

```

MOV C,OBJML
ANL C,OBJMR

```

```

JC HOWTURN

```

```

CLR C

```

```

ORL C,/OBJML
ORL C,OBJMR

```

```

JC CALLTURN

```

```

CALL RTURN
CALL INIGOFWD

```

```

RET ;RETURN FROM DECISE

```

```

HOWTURN:      JB XCOORD,CALLTURN
               CALL RTURN
               CALL INIGOFWD
               RET                ;RETURN FROM DECISE
;*****
;
;   ROUTINE TURN LEFT
;*****
LTURN:        MOV TLO,#0ADH
               MOV TL1,#0ADH
               MOV TH0,#0ADH
               MOV TH1,#0ADH
               MOV TMOD,#66H      ;SET COUNTER MODE 2
               MOV RO,#PORTA1    ;PORT CONTROL SPEED
               MOV A,SPD
               MOVX @RO,A
               MOV TCON,#01010000B ;ON COUNTER
               MOV RO,#PORTC2    ;PORT CONTROL MOTOR
               MOV CTRLMEM,#00001101B ;RIGHT WHEEL ON ,FORWARD
                                   ;LEFT WHEEL ON ,REVERSE

               MOV A,CTRLMEM
               MOVX @RO,A
LCKTF0:      JNB TF0,LCKTF1
               CLR CTRLMEM.2     ;TO OVERFLOW,OFF LEFT MOTOR
               MOV A,CTRLMEM
               MOVX @RO,A
LCKTF1:      JNB TF1,LCKTF0
               CLR CTRLMEM.0     ;T1 OVERFLOW,OFF RIGHT MOTOR
               MOV A,CTRLMEM
               MOVX @RO,A

               JNB TF0,LCKTF1
               CLR CTRLMEM.2
               MOV A,CTRLMEM
               MOVX @RO,A

;RETURN TURN LEFT AND CHANGE X,Y POSITION
RETLTURN:    MOV A,YABS_L
               XCH A,XABS_L
               MOV YABS_L,A
               MOV A,YABS_H
               XCH A,XABS_H
               MOV YABS_H,A
               MOV A,XDIST
               XCH A,YDIST
               MOV XDIST,A

               MOV C,XCOORD
               CPL C
               MOV BUFB,C
               MOV C,YCOORD
               MOV XCOORD,C
               MOV C,BUFB
               MOV YCOORD,C
               CALL SHOWXPOS
               CALL SHOWYPOS
               CLR TF0
               CLR TF1
               RET                ;RETURN FROM LTURN
;*****
;
;   ROUTINE TURN RIGHT
;*****

```

```

RTURN:      MOV TLO,#0ADH
            MOV TL1,#0ADH
            MOV TH0,#0ADH
            MOV TH1,#0ADH
            MOV TMOD,#66H           ;SET COUNTER MODE 2
            MOV R0,#PORTA1         ;PORT CONTROL SPEED
            MOV A,SPD
            MOVX @R0,A
            MOV TCON,#01010000B    ;ON COUNTER
            MOV R0,#PORTC2         ;PORT CONTROL MOTOR
            MOV CTRLMEM,#00000111B ;RIGHT WHEEL ON ,REVERSE
                                   ;LEFT WHEEL ON ,FORWARD

            MOV A,CTRLMEM
            MOVX @R0,A

RCKTF0:     JNB TF0,RCKTF1
            CLR CTRLMEM.2          ;TO OVERFLOW,OFF LEFT MOTOR
            MOV A,CTRLMEM
            MOVX @R0,A

RCKTF1:     JNB TF1,RCKTF0
            CLR CTRLMEM.0          ;T1 OVERFLOW,OFF RIGHT MOTOR
            MOV A,CTRLMEM
            MOVX @R0,A

            JNB TF0,RCKTF1
            CLR CTRLMEM.2
            MOV A,CTRLMEM
            MOVX @R0,A

;RETURN TURN RIGHT AND CHANGE X,Y POSITION
RETRTURN:   MOV A,YABS_L
            XCH A,XABS_L
            MOV YABS_L,A
            MOV A,YABS_H
            XCH A,XABS_H
            MOV YABS_H,A
            MOV A,XDIST
            XCH A,YDIST
            MOV XDIST,A

            MOV C,YCOOR
            CPL C
            MOV BUFB,C
            MOV C,XCOOR
            MOV YCOOR,C
            MOV C,BUFB
            MOV XCOOR,C
            CALL SHOWXPOS
            CALL SHOWYPOS
            CLR TF0
            CLR TF1
            RET

;*****
;      ROUTINE GO FORWARD AND MEASURE DISTANCE
;*****
GOFWD:      MOV A,#00000101B       ;ON MOTOR FORWARD
            CALL GOSTR

FWDTUNE:    JB YCOOR,FWDADD
            CLR C
            MOV A,ABSBUF_L
            SUBB A,TL1
            MOV YABS_L,A

```

เอกสารนี้เป็นเอกสารที่สงวนลิขสิทธิ์ของมหาวิทยาลัยเทคโนโลยีพระจอมเกล้าเจ้าคุณทหารลาดกระบัง เพื่อการศึกษาเท่านั้น ไม่อนุญาตให้นำไปใช้ประโยชน์ด้านการค้า
ไม่ว่ากรณีใดๆ ทั้งสิ้น อีกนอเหนือหา และต้องอ้างอิงถึงเจ้าของเอกสารทุกครั้งที่มีการนำไปใช้

```

MOV A,ABSBUF_H
SUBB A,TH1
MOV YABS_H,A
CALL CALCU
JMP FWDPLY
FWDADD: CLR C
MOV A,ABSBUF_L
ADD A,TL1
MOV YABS_L,A
MOV A,ABSBUF_H
ADDC A,TH1
MOV YABS_H,A
CALL CALCU
FWDPLY: MOV A,YDIST
CJNE A,03H,CH_FWD
RET ;RETURN FROM GOFWD
CH_FWD: MOV YDIST,R3
CALL SHOWYPOS
RET ;RETURN FROM GOFWD
;*****
; ROUTINE GO REVERSE AND MEASURE DISTANCE
;*****
GOREV: MOV A,#00001111B ;ON MOTOR REVERSE
CALL GOSTR
JNB YCOOR,REVADD
CLR C
MOV A,ABSBUF_L
SUBB A,TL1
MOV YABS_L,A
MOV A,ABSBUF_H
SUBB A,TH1
MOV YABS_H,A
CALL CALCU
JMP REVDPLY
REVADD: CLR C
MOV A,ABSBUF_L
ADD A,TL1
MOV YABS_L,A
MOV A,ABSBUF_H
ADDC A,TH1
MOV YABS_H,A
CALL CALCU
REVDPLY: MOV A,YDIST
CJNE A,03H,CH_REV
RET ;RETURN FROM GOREV
CH_REV: CALL SHOWYPOS
RET ;RETURN FROM GOREV
;*****
; ROUTINE CONTROL A CAR TO STREIGHTLY RUN
;*****
GOSTR: CALL SENDPC2
MOV A,SPD
CALL SENDPA1
MOV A,TH1
CJNE A,TH0,DEC_INC
MOV A,TL1
CJNE A,TLO,DEC_INC
RET ;RETURN GOSTR
DEC_INC: JC DECSPD
MOV A,SPD

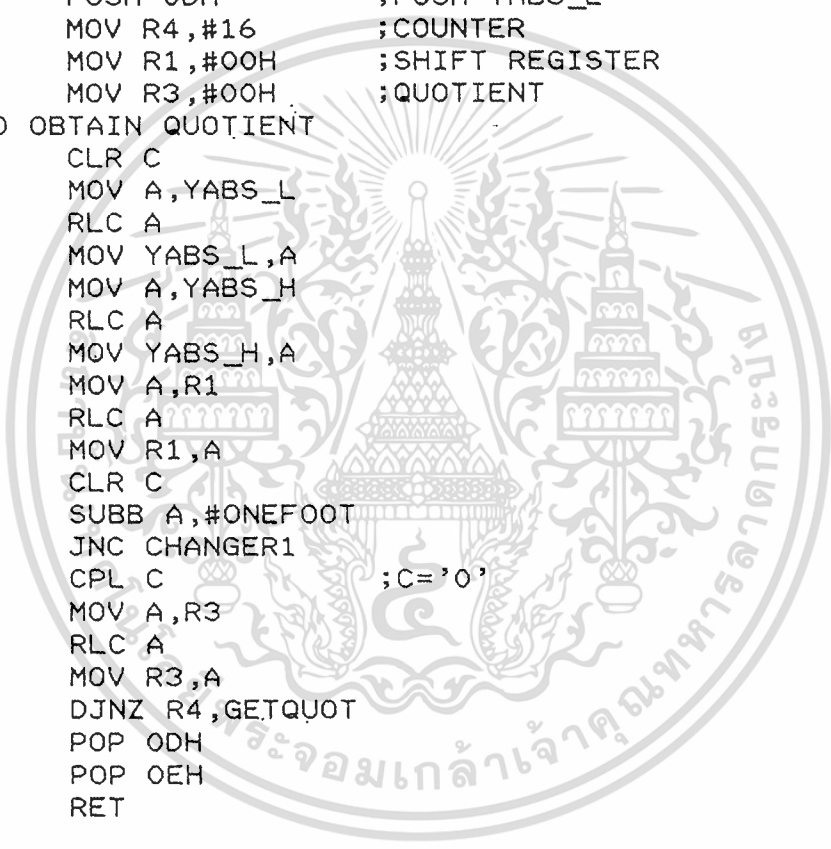
```

เอกสารนี้เป็นเอกสารที่สงวนลิขสิทธิ์สำหรับการใช้งานเพื่อการศึกษาเท่านั้น เมื่อผู้ยืมได้นำไปใช้ประโยชน์ด้านการค้า
ไม่ว่ากรณีใดๆ ทั้งสิ้น อีกฝ่ายหนึ่งขอสงวนเนื้อหา และต้องอ้างอิงถึงเจ้าของเอกสารทุกครั้งที่มีการนำไปใช้

```

CJNE A,#OFFH,INCSPD
JMP RETGOSTR
INCSPD:    INC SPD          ;INCREMENT MOTOR SPEED
           MOV A,SPD
           CALL SENDPA1
           JMP RETGOSTR
DECSPD:    MOV A,SPD          ;DECREMENT MOTOR SPEED
           JZ RETGOSTR
           DEC SPD
           MOV A,SPD
           CALL SENDPA1
RETGOSTR:  RET
;*****
;    ROUTINE CALCULATE DISTANCE COORDINATE
;*****
CALCU:     PUSH 0EH          ;PUSH YABS_H
           PUSH 0DH          ;PUSH YABS_L
           MOV R4,#16        ;COUNTER
           MOV R1,#00H       ;SHIFT REGISTER
           MOV R3,#00H       ;QUOTIENT
;CALCULATE TO OBTAIN QUOTIENT
GETQUOT:   CLR C
           MOV A,YABS_L
           RLC A
           MOV YABS_L,A
           MOV A,YABS_H
           RLC A
           MOV YABS_H,A
           MOV A,R1
           RLC A
           MOV R1,A
           CLR C
           SUBB A,#ONEFOOT
           JNC CHANGER1
           CPL C             ;C='0'
           MOV A,R3
           RLC A
           MOV R3,A
           DJNZ R4,GETQUOT
           POP 0DH
           POP 0EH
           RET
CHANGER1:  CPL C             ;C='1'
           MOV R1,A
           MOV A,R3
           RLC A
           MOV R3,A
           DJNZ R4,GETQUOT
           POP 0DH
           POP 0EH
           RET
;*****
;    ROUTINE SHOW NEW Y-POSITION TO DISPLAY
;*****
YDPLY:     MOV A,YDIST
           CJNE A,03H,CH_DPLY
           RET              ;RETURN FROM GOFWD OR GOREV
CH_DPLY:   MOV YDIST,R3
           CALL SHOWYPOS

```



เอกสารนี้เป็นเอกสารที่สงวนลิขสิทธิ์ไว้สำหรับงานเพื่อการศึกษาเท่านั้น เมื่ออนุญาตให้นำไปใช้ประโยชน์ด้านการค้า
 ไม่ว่าจะกรณีใดๆ ทั้งสิ้น ย้ำห้ามเผยแพร่โดยไม่ขออนุญาต และต้องอ้างอิงถึงเจ้าของเอกสารทุกครั้งที่มีการนำไปใช้

RET

;RETURN FROM GOFWD OR GOREV

END



เอกสารนี้เป็นเอกสารที่สงวนไว้สำหรับการใช้งานเพื่อการศึกษาเท่านั้น ไม่อนุญาตให้นำไปใช้ประโยชน์ด้านการค้า
ไม่ว่ากรณีใดๆ ทั้งสิ้น อีกทั้งห้ามมิให้ตัดแปลงเนื้อหา และต้องอ้างอิงถึงเจ้าของเอกสารทุกครั้งที่มีการนำไปใช้



ภาคผนวก ข ข้อมูลการใช้งานไอซีที่สำคัญ

เอกสารนี้เป็นเอกสารที่สงวนไว้สำหรับการใช้งานเพื่อการศึกษาเท่านั้น ไม่อนุญาตให้นำไปใช้ประโยชน์ด้านการค้า
ไม่ว่ากรณีใดๆ ทั้งสิ้น อีกทั้งห้ามมิให้ตัดแปลงเนื้อหา และต้องอ้างอิงถึงเจ้าของเอกสารทุกครั้งที่มีการนำไปใช้

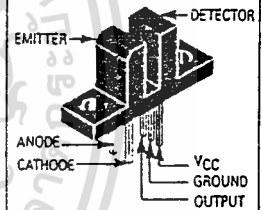
Slotted Optical Switches Logic Output

These devices consist of a GaAs LED facing a silicon, high-speed integrated circuit detector in a molded plastic housing. A slot in the housing between the emitter and the detector provides a means of mechanically interrupting the signal and switching the output from an on-state to an off-state. The detector incorporates a schmitt trigger which provides hysteresis for noise immunity and pulse shaping. The detector circuit is optimized for simplicity of operation and has an open-collector output for application flexibility.

MOC75T1,2
MOC75U1,2

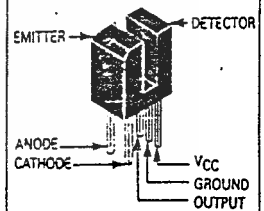
SLOTTED
 OPTICAL SWITCHES
 LOGIC OUTPUT

T PACKAGE



CASE 354C-01
 PLASTIC

U PACKAGE



CASE 354B-01
 PLASTIC

ABSOLUTE MAXIMUM RATINGS: ($T_A = 25^\circ\text{C}$ unless otherwise noted)

| Rating | Symbol | Value | Unit |
|--|-----------|------------|------------------|
| INPUT LED | | | |
| Power Dissipation | P_D | 100 | mW |
| Forward Current (Continuous) | I_F | 60 | mA |
| Forward Current (Peak) (Pulse Width $\leq 1 \mu\text{s}$, PRR < 300 PPS) | I_F | 1.5 | A |
| Reverse Voltage | V_R | 6 | V |
| OUTPUT DETECTOR | | | |
| Output Voltage Range | V_O | 0-16 | V |
| Supply Voltage Range | V_{CC} | 0-16 | V |
| Output Current | I_O | 50 | mA |
| Power Dissipation | P_D | 150* | mW |
| TOTAL DEVICE | | | |
| Storage Temperature | T_{stg} | -40 to +85 | $^\circ\text{C}$ |
| Operating Temperature | T_J | -40 to +85 | $^\circ\text{C}$ |
| Lead Soldering Temperature (5 seconds maximum) | T_L | 260 | $^\circ\text{C}$ |

*Derate 2 mW/ $^\circ\text{C}$ above 25°C ambient.

MOC75T1, MOC75T2, MOC75U1, MOC75U2

INDIVIDUAL ELECTRICAL CHARACTERISTICS (0–70°C) (See Note 1)

| Characteristic | Symbol | Min | Typ | Max | Unit | |
|--|--|--|------------|----------|---------------|---------------|
| INPUT LED | | | | | | |
| Forward Voltage ($I_F = 20 \text{ mA}$) | V_F | — | 1.1 | 1.6 | V | |
| Reverse Current ($V_R = 3 \text{ V}$) | I_R | — | — | 10 | μA | |
| Reverse Breakdown Voltage ($I_R = 100 \mu\text{A}$) | $V_{(BR)R}$ | 6 | — | — | V | |
| Capacitance ($V = 0 \text{ V}$, $f = 1 \text{ MHz}$) | C | — | — | 100 | pF | |
| OUTPUT DETECTOR | | | | | | |
| Operating Voltage | V_{CC} | 3 | — | 15 | V | |
| Supply Current ($I_F = 0$, $V_{CC} = 5 \text{ V}$) | $I_{CC(\text{off})}$ | — | 1.3 | 5 | mA | |
| Output Current, High ($I_F = 0$, $V_{CC} = V_O = 15 \text{ V}$) | I_{OH} | — | — | 100 | μA | |
| COUPLED (0–70°C) (See Note 1) | | | | | | |
| Threshold Current, ON ($R_L = 270 \Omega$, $V_{CC} = 5 \text{ V}$) | MOC75(T,U)1 MOC75(T,U)2 | $I_{F(\text{on})}$ | — — | 20 10 | 30 15 | mA |
| Threshold Current, OFF ($R_L = 270 \Omega$, $V_{CC} = 5 \text{ V}$) | MOC75(T,U)1 MOC75(T,U)2 | $I_{F(\text{off})}$ | 0.5 0.5 | 15 8 | — — | mA |
| Hysteresis Ratio ($R_L = 270 \Omega$, $V_{CC} = 5 \text{ V}$) | | $\frac{I_{F(\text{off})}}{I_{F(\text{on})}}$ | — | 0.75 | — | — |
| Supply Current ($I_F = I_{F(\text{on})}$, $V_{CC} = 5 \text{ V}$) | | $I_{CC(\text{on})}$ | — | 3 | 5 | mA |
| Output Voltage, Low ($I_F = I_{F(\text{on})}$, $V_{CC} = 5 \text{ V}$, $R_L = 270 \Omega$) | | V_{OL} | — | 0.2 | 0.4 | V |
| Turn-On Time | $R_L = 270 \Omega$, $V_{CC} = 5 \text{ V}$, $I_F = I_{F(\text{on})}$, $T_A = 25^\circ\text{C}$ | t_{on} | — | 1.2 | — | μs |
| Fall Time | | t_f | — | 0.1 | — | |
| Turn-Off Time | | t_{off} | — | 1.2 | — | |
| Rise Time | | t_r | — | 0.1 | — | |

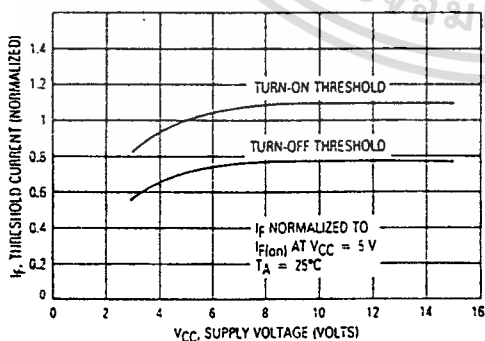


Figure 1. Normalized Threshold Current versus Supply Voltage

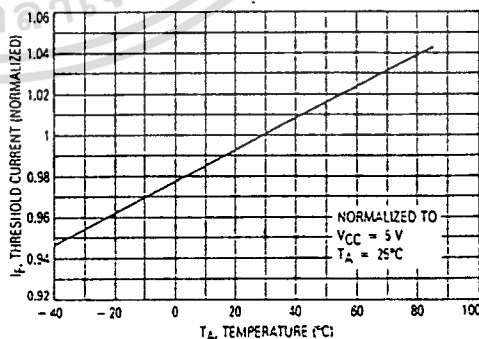


Figure 2. Threshold Current versus Temperature

เอกสารนี้เป็นเอกสารที่สงวนไว้สำหรับการใช้งานเพื่อการศึกษาเท่านั้น ไม่อนุญาตให้นำไปใช้ประโยชน์ด้านการค้า
ไม่ว่ากรณีใดๆ ทั้งสิ้น อีกทั้งห้ามมิให้ดัดแปลงเนื้อหา และต้องอ้างอิงถึงเจ้าของเอกสารทุกครั้งที่มีการนำไปใช้

MOC75T1, MOC75T2, MOC75U1, MOC75U2

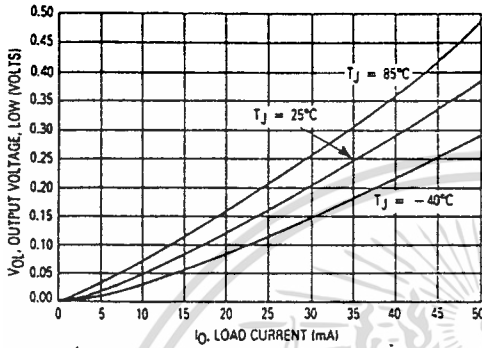


Figure 3. Output Voltage versus Load Current

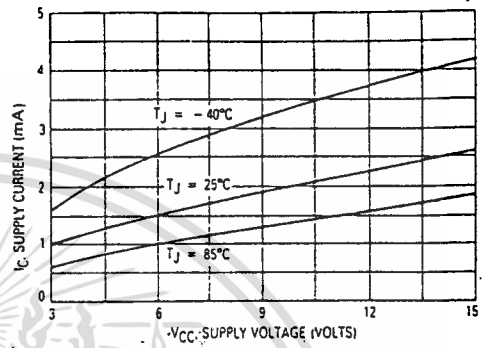


Figure 4. Supply Current versus Supply Voltage — Output High

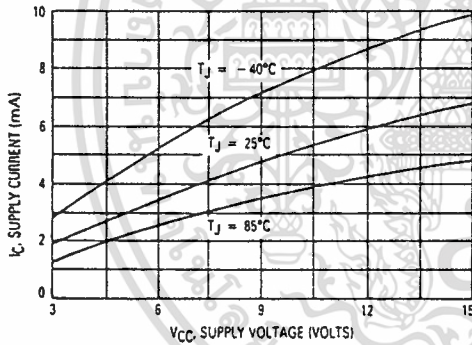


Figure 5. Supply Current versus Supply Voltage — Output Low

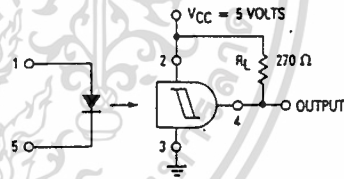


Figure 6. Test Circuit for Threshold Current Measurements

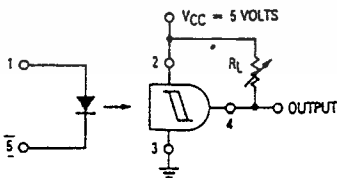


Figure 7. Test Circuit for Output Voltage versus Load Current Measurements

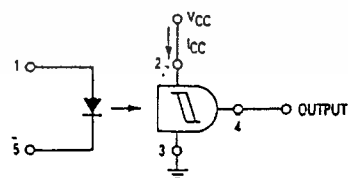


Figure 8. Test Circuit for Supply Current versus Supply Voltage Measurements

เอกสารนี้เป็นเอกสารที่สงวนไว้สำหรับการใช้งานเพื่อการศึกษาเท่านั้น ไม่อนุญาตให้นำไปใช้ประโยชน์ด้านการค้า ไม่ว่าจะกรณีใดๆ ทั้งสิ้น อีกทั้งห้ามมิให้ดัดแปลงเนื้อหา และต้องอ้างอิงถึงเจ้าของเอกสารทุกครั้งที่มีการนำไปใช้

MOC75T1, MOC75T2, MOC75U1, MOC75U2

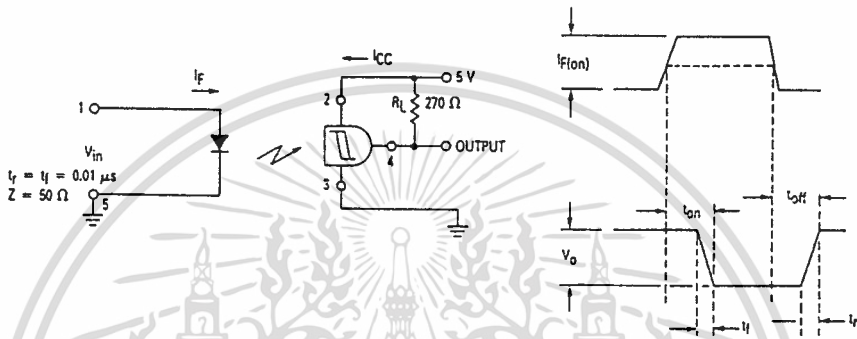


Figure 9. Switching Test Circuit

OUTLINE DIMENSIONS

U PACKAGE
CASE 354B-01

| DIM | MILLIMETERS | | INCHES | |
|-----|-------------|-------|-----------|-------|
| | MIN | MAX | MIN | MAX |
| A | 6.19 | 6.50 | 0.244 | 0.256 |
| B | 10.64 | 10.94 | 0.419 | 0.431 |
| C | 0.35 | 0.55 | 0.014 | 0.022 |
| D | 7.36 BSC | | 0.290 BSC | |
| E | 7.54 BSC | | 0.295 BSC | |
| F | 0.43 | 0.56 | 0.017 | 0.022 |
| G | 11.90 | 12.19 | 0.472 | 0.480 |
| H | 1.07 | 1.32 | 0.115 | 0.129 |
| I | 4.36 | 4.52 | 0.172 | 0.178 |
| J | 2.38 | 2.88 | 0.094 | 0.108 |
| K | 0.88 | 1.14 | 0.035 | 0.045 |
| L | 2.54 NOM | | 0.100 NOM | |
| M | 1.27 BSC | | 0.050 BSC | |

STYLE 1:
1. PIN 1 CATHODE
2. VCC
3. GROUND
4. OUTPUT
5. ANODE

- NOTES:
1. DIMENSIONS R AND S ARE DATUMS AND \perp IS A DATUM SURFACE.
2. POSITIONAL TOLERANCE FOR LEAD DIMENSION J:
+ 0.51 (0.020) (M) (T) (S) (R)
3. POSITIONAL TOLERANCE FOR LEAD DIMENSION D:
+ 0.51 (0.020) (M) (T) (S) (R) (B) (C)
4. DIMENSIONING AND TOLERANCING ARE PER Y14.75, 1982.

T PACKAGE
CASE 354C-01

| DIM | MILLIMETERS | | INCHES | |
|-----|-------------|-------|-----------|-------|
| | MIN | MAX | MIN | MAX |
| A | 24.13 | 25.01 | 0.950 | 0.985 |
| B | 6.19 | 6.50 | 0.244 | 0.256 |
| C | 10.64 | 10.94 | 0.419 | 0.431 |
| D | 0.35 | 0.55 | 0.014 | 0.022 |
| E | 5.24 | 6.55 | 0.206 | 0.258 |
| F | 7.36 BSC | | 0.290 BSC | |
| G | 7.54 BSC | | 0.295 BSC | |
| H | 0.43 | 0.56 | 0.017 | 0.022 |
| I | 7.36 | | 0.290 | |
| J | 13.08 BSC | | 0.515 BSC | |
| K | 11.90 | 12.19 | 0.472 | 0.480 |
| L | 3.24 | 3.37 | 0.127 | 0.133 |
| M | 3.07 | 3.37 | 0.121 | 0.133 |
| N | 4.36 | 4.52 | 0.172 | 0.178 |
| O | 2.38 | 2.88 | 0.094 | 0.108 |
| P | 0.88 | 1.14 | 0.035 | 0.045 |
| Q | 2.54 NOM | | 0.100 NOM | |
| R | 1.27 BSC | | 0.050 BSC | |

STYLE 1:
1. PIN 1 CATHODE
2. VCC
3. GROUND
4. OUTPUT
5. ANODE

- NOTES:
1. DIMENSIONS A AND B ARE DATUMS AND \perp IS A DATUM SURFACE.
2. POSITIONAL TOLERANCE FOR MOUNTING HOLES:
+ 0.38 (0.015) (M) (T) (S) (R) (B) (C)
3. POSITIONAL TOLERANCE FOR LEAD DIMENSION J:
+ 0.51 (0.020) (M) (T) (S) (R)
4. POSITIONAL TOLERANCE FOR LEAD DIMENSION D:
+ 0.51 (0.020) (M) (T) (S) (R) (B) (C)
5. DIMENSIONING AND TOLERANCING PER Y14.75, 1982.



MM54C922/MM74C922 16-Key Encoder MM54C923/MM74C923 20-Key Encoder

general description

These CMOS key encoders provide all the necessary logic to fully encode an array of SPST switches. The keyboard scan can be implemented by either an external clock or external capacitor. These encoders also have on-chip pull-up devices which permit switches with up to 50 k Ω on resistance to be used. No diodes in the switch array are needed to eliminate ghost switches. The internal debounce circuit needs only a single external capacitor and can be defeated by omitting the capacitor. A Data Available output goes to a high level when a valid keyboard entry has been made. The Data Available output returns to a low level when the entered key is released, even if another key is depressed. The Data Available will return high to indicate acceptance of the new key after a normal debounce period; this two key roll over is provided between any two switches.

An internal register remembers the last key pressed even after the key is released. The TRI-STATE[®] outputs

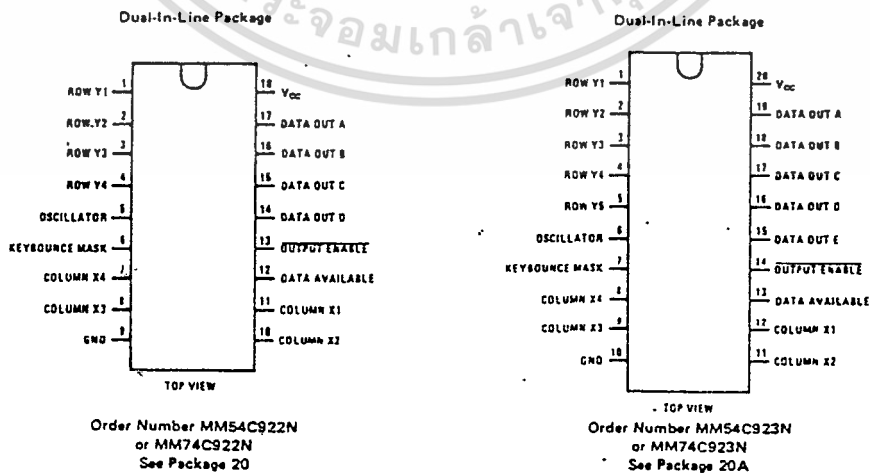
provide for easy expansion and bus operation and are LPTTL compatible.

features

- .50 k Ω maximum switch on resistance
- On or off chip clock
- On chip row pull-up devices
- 2 key roll-over
- Keybounce elimination with single capacitor
- Last key register at outputs
- TRI-STATE outputs LPTTL compatible
- Wide supply range
- Low power consumption

3V to 15V

connection diagrams



เอกสารนี้เป็นเอกสารที่สงวนไว้สำหรับการใช้งานเพื่อการศึกษาเท่านั้น ไม่อนุญาตให้นำไปใช้ประโยชน์ด้านการค้า
ไม่ว่ากรณีใดๆ ทั้งสิ้น อีกทั้งห้ามมิให้ดัดแปลงเนื้อหา และต้องอ้างอิงถึงเจ้าของเอกสารทุกครั้งที่มีการนำไปใช้

absolute maximum ratings

| | | | |
|-----------------------------|------------------------------------|--|-----------|
| Voltage at Any Pin | $V_{CC} - 0.3V$ to $V_{CC} + 0.3V$ | Package Dissipation | 500 mW |
| Operating Temperature Range | 55°C to +125°C | Operating VCC Range | 3V to 15V |
| MM54C922, MM54C923 | -40°C to +85°C | VCC | 18V |
| MM74C922, MM74C923 | -65°C to +150°C | Lead Temperature (Soldering, 10 seconds) | 300°C |
| Storage Temperature Range | | | |

dc electrical characteristics

Min./max limits apply across temperature range unless otherwise noted

| PARAMETER | CONDITIONS | MIN | TYP | MAX | UNITS | |
|-----------------------------|--|---|-----------|--------|-------|----|
| CMOS TO CMOS | | | | | | |
| V _{T+} | Positive-Going Threshold Voltage at Osc and KBM Inputs | VCC = 5V, I _{IN} ≥ 0.7 mA | 3 | 3.6 | 4.3 | V |
| | | VCC = 10V, I _{IN} ≥ 1.4 mA | 6 | 6.8 | 8.6 | V |
| | | VCC = 15V, I _{IN} ≥ 2.1 mA | 9 | 10 | 12.9 | V |
| V _{T-} | Negative-Going Threshold Voltage at Osc and KBM Inputs | VCC = 5V, I _{IN} ≥ 0.7 mA | 0.7 | 1.4 | 2 | V |
| | | VCC = 10V, I _{IN} ≥ 1.4 mA | 1.4 | 3.2 | 4 | V |
| | | VCC = 15V, I _{IN} ≥ 2.1 mA | 2.1 | 5 | 6 | V |
| V _{IN(1)} | Logical "1" Input Voltage, Except Osc and KBM Inputs | VCC = 5V | 3.5 | 4.5 | | V |
| | | VCC = 10V | 8 | 9 | | V |
| | | VCC = 15V | 12.5 | 13.5 | | V |
| V _{IN(0)} | Logical "0" Input Voltage, Except Osc and KBM Inputs | VCC = 5V | | 0.5 | 1.5 | V |
| | | VCC = 10V | | 1 | 2 | V |
| | | VCC = 15V | | 1.5 | 2.5 | V |
| I _{IP} | Row Pull-Up Current at Y1, Y2, Y3, Y4 and Y5 Inputs | VCC = 5V, V _{IN} = 0.1 VCC | | -2 | -5 | μA |
| | | VCC = 10V | | -10 | -20 | μA |
| | | VCC = 15V | | -22 | -45 | μA |
| V _{OUT(1)} | Logical "1" Output Voltage | VCC = 5V, I _O = -10μA | 4.5 | | | V |
| | | VCC = 10V, I _O = -10μA | 9 | | | V |
| | | VCC = 15V, I _O = -10μA | 13.5 | | | V |
| V _{OUT(0)} | Logical "0" Output Voltage | VCC = 5V, I _O = 10μA | | | 0.5 | V |
| | | VCC = 10V, I _O = 10μA | | | 1 | V |
| | | VCC = 15V, I _O = 10μA | | | 1.5 | V |
| R _{on} | Column "ON" Resistance at X1, X2, X3 and X4 Outputs | VCC = 5V, V _O = 0.5V | | 500 | 1400 | Ω |
| | | VCC = 10V, V _O = 1V | | 300 | 700 | Ω |
| | | VCC = 15V, V _O = 1.5V | | 200 | 500 | Ω |
| I _{CC} | Supply Current | VCC = 5V, Osc at 0V | | 0.55 | 1.1 | mA |
| | | VCC = 10V | | 1.1 | 1.9 | mA |
| | | VCC = 15V | | 1.7 | 2.6 | mA |
| I _{IN(1)} | Logical "1" Input Current at Output Enable | VCC = 15V, V _{IN} = 15V | | 0.005 | 1.0 | μA |
| I _{IN(0)} | Logical "0" Input Current at Output Enable | VCC = 15V, V _{IN} = 0V | -1.0 | -0.005 | | μA |
| CMOS/LPTTL INTERFACE | | | | | | |
| V _{IN(1)} | Logical "1" Input Voltage, Except Osc and KBM Inputs | 54C, VCC = 4.5V | VCC - 1.5 | | | V |
| | | 74C, VCC = 4.75V | VCC - 1.5 | | | V |
| V _{IN(0)} | Logical "0" Input Voltage, Except Osc and KBM Inputs | 54C, VCC = 4.5V | | | 0.8 | V |
| | | 74C, VCC = 4.75V | | | 0.8 | V |
| V _{OUT(1)} | Logical "1" Output Voltage | 54C, VCC = 4.5V, I _O = -360μA | 2.4 | | | V |
| | | 74C, VCC = 4.75V, I _O = -360μA | 2.4 | | | V |
| V _{OUT(0)} | Logical "0" Output Voltage | 54C, VCC = 4.5V, I _O = -360μA | | | 0.4 | V |
| | | 74C, VCC = 4.75V, I _O = -360μA | | | 0.4 | V |

เอกสารนี้เป็นเอกสารที่สงวนไว้สำหรับการใช้งานเพื่อการศึกษาเท่านั้น ไม่อนุญาตให้นำไปใช้ประโยชน์ด้านการค้า
ไม่ว่ากรณีใดๆ ทั้งสิ้น อีกทั้งห้ามมิให้ดัดแปลงเนื้อหา และต้องอ้างอิงถึงเจ้าของเอกสารทุกครั้งที่มีการนำไปใช้

dc electrical characteristics (con't)

| PARAMETER | CONDITIONS | MIN | TYP | MAX | UNITS |
|---|---|-------|------|-----|-------|
| OUTPUT DRIVE (See 54C/74C Family Characteristics Data Sheet) | | | | | |
| I _{SOURCE} Output Source Current (P-Channel) | V _{CC} = 5V, V _{OUT} = 0V, T _A = 25°C | -1.75 | -3.3 | | mA |
| I _{SOURCE} Output Source Current (P-Channel) | V _{CC} = 10V, V _{OUT} = 0V, T _A = 25°C | -8 | -15 | | mA |
| I _{SINK} Output Sink Current (N-Channel) | V _{CC} = 5V, V _{OUT} = V _{CC} , T _A = 25°C | 1.75 | 3.6 | | mA |
| I _{SINK} Output Sink Current (N-Channel) | V _{CC} = 10V, V _{OUT} = V _{CC} , T _A = 25°C | 8 | 16 | | mA |

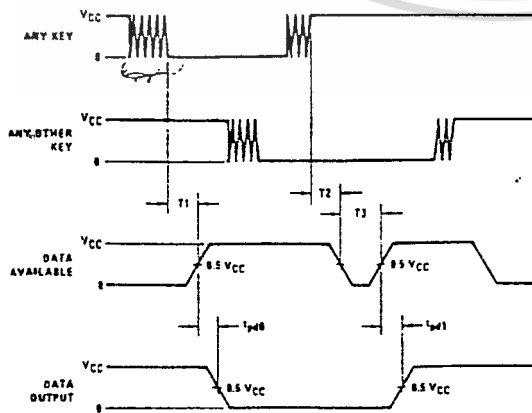
ac electrical characteristics T_A = 25°C

| PARAMETER | CONDITIONS | MIN | TYP | MAX | UNITS |
|--|--|-----|-----------------|-------------------|----------------|
| t _{pd0} , t _{pd1} Propagation Delay Time to Logical "0" or Logical "1" from D.A. | C _L = 50 pF, (Figure 1) V _{CC} = 5V V _{CC} = 10V V _{CC} = 15V | | 60 35 25 | 150 80 60 | ns ns ns |
| t _{OH} , t _{1H} Propagation Delay Time from Logical "0" or Logical "1" into High Impedance State | R _L = 10k, C _L = 5 pF, (Figure 2) V _{CC} = 5V R _L = 10k V _{CC} = 10V C _L = 10 pF V _{CC} = 15V | | 80 65 50 | 200 150 110 | ns ns ns |
| t _{HO} , t _{H1} Propagation Delay Time from High Impedance State to a Logical "0" or Logical "1" | R _L = 10k, C _L = 50 pF, (Figure 2) V _{CC} = 5V R _L = 10k V _{CC} = 10V C _L = 50 pF V _{CC} = 15V | | 100 55 40 | 250 125 90 | ns ns ns |
| C _{IN} Input Capacitance | Any Input, (Note 2) | | 5 | 7.5 | pF |
| C _{OUT} TRI-STATE Output Capacitance | Any Output, (Note 2) | | 10 | | pF |

Note 1: "Absolute Maximum Ratings" are those values beyond which the safety of the device cannot be guaranteed. Except for "Operating Temperature Range" they are not meant to imply that the devices should be operated at these limits. The table of "Electrical Characteristics" provides conditions for actual device operation.

Note 2: Capacitance is guaranteed by periodic testing.

switching time waveforms



T₁ = T₂ = RC, T₃ = 0.7 RC where R = 10k and C is external capacitor at KBM input.

FIGURE 1

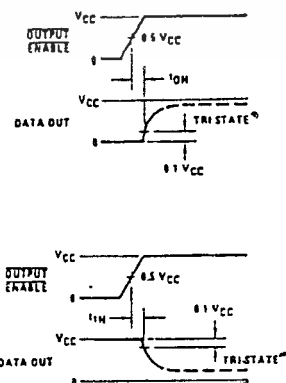
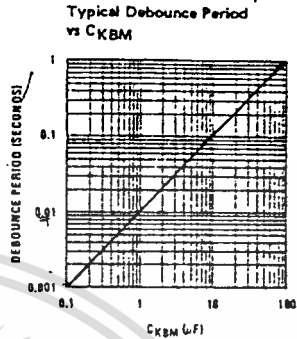
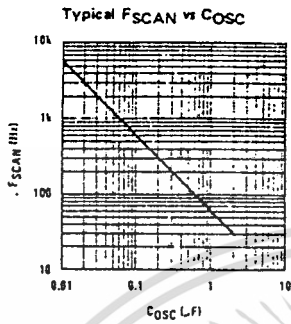


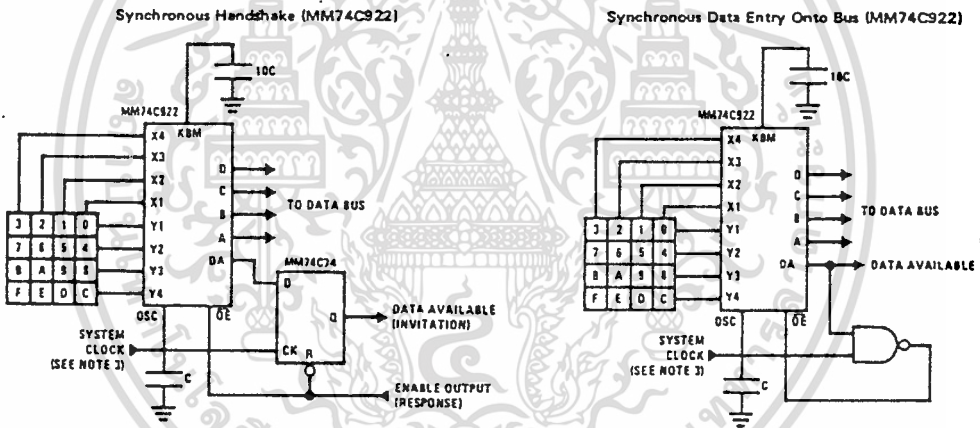
FIGURE 2

เอกสารนี้เป็นเอกสารที่สงวนไว้สำหรับการใช้งานเพื่อการศึกษาเท่านั้น ไม่อนุญาตให้นำไปใช้ประโยชน์ด้านการค้า
ไม่ว่ากรณีใดๆ ทั้งสิ้น อีกทั้งห้ามมิให้ดัดแปลงเนื้อหา และต้องอ้างอิงถึงเจ้าของเอกสารทุกครั้งที่มีการนำไปใช้

typical performance characteristics (con't)



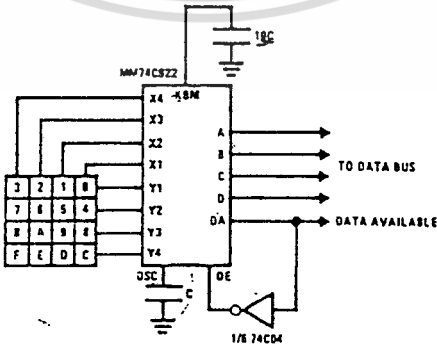
typical applications



Outputs are enabled when valid entry is made and go into TRI-STATE when key is released.

Asynchronous Data Entry Onto Bus (MM74C922)

Keyboard Suppliers
Mini Key Series KL
Digitran Company
Pasadena, California
Computronics Engineering
7235 Hollywood Blvd
Hollywood, California 90046



Outputs are in TRI-STATE until key is pressed, then data is placed on bus. When key is released, outputs return to TRI-STATE.

Note 3: The keyboard may be synchronously scanned by omitting the capacitor at osc. and driving osc. directly if the system clock rate is lower than 10 kHz.

เอกสารนี้เป็นเอกสารที่สงวนไว้สำหรับการใช้งานเพื่อการศึกษาเท่านั้น ไม่อนุญาตให้นำไปใช้ประโยชน์ด้านการค้า
ไม่ว่ากรณีใดๆ ทั้งสิ้น อีกทั้งห้ามมิให้ดัดแปลงเนื้อหา และต้องอ้างอิงถึงเจ้าของเอกสารทุกครั้งที่มีการนำไปใช้

| Instruction | Code | | | | | | | | | | Execution Time (max) (when fcp or fosc is 250 kHz) |
|-----------------------------|--|-----|-----------------|-----------------|-----------------|-----------------|-----------------|-----------------|-----------------|-----------------|---|
| | RS | R/W | DB ₇ | DB ₆ | DB ₅ | DB ₄ | DB ₃ | DB ₂ | DB ₁ | DB ₀ | |
| Clear Display | 0 | 0 | 0 | 0 | 0 | 0 | 0 | 0 | 0 | 1 | 1.64 ms |
| Return Home | 0 | 0 | 0 | 0 | 0 | 0 | 0 | 0 | 1 | * | 1.64 ms |
| Entry Mode Set | 0 | 0 | 0 | 0 | 0 | 0 | 0 | 1 | I/D | S | 40 μ s |
| Display On/Off Control | 0 | 0 | 0 | 0 | 0 | 0 | 1 | D | C | B | 40 μ s |
| Cursor or Display Shift | 0 | 0 | 0 | 0 | 0 | 1 | S/C | R/L | * | * | 40 μ s |
| Function Set | 0 | 0 | 0 | 0 | 1 | DL | N | F | * | * | 40 μ s |
| Set CG RAM Address | 0 | 0 | 0 | 1 | ACG | | | | | | 40 μ s |
| Set DD RAM Address | 0 | 0 | 1 | ADD | | | | | | 40 μ s | |
| Read Busy Flag & Address | 0 | 1 | BF | AC | | | | | | 0 μ s | |
| Write Data to CG or DD RAM | 1 | 0 | Write Data | | | | | | | | 40 μ s |
| Read Data from CG or DD RAM | 1 | 1 | Read Data | | | | | | | | 40 μ s |
| | I/D=1: Increment I/D=0: Decrement S =1: Accompanies display shift S/C=1: Display shift S/C=0: Cursor move R/L=1: Shift to the right R/L=0: Shift to the left DL=1: 8 bits, DL=0: 4 bits N =1: 2 lines, N=0: 1 line F =1: 5x10 dots, F=0: 5x7 dots BF =1: Internally operating BF =0: Can accept instruction | | | | | | | | | | Execution time changes when frequency changes Example: When fcp or fosc is 270 kHz: $40\mu s \times \frac{250}{270} = 37\mu s$ |

เอกสารนี้เป็นเอกสารที่สงวนไว้สำหรับกรรเรียนงานและการศึกษาเท่านั้น ไม่ควรคัดลอกไปใช้ประโยชน์ด้านการค้า
 ไม่ว่ากรณีใดๆ ทั้งสิ้น อีกทั้งห้ามมิให้ดัดแปลงเนื้อหา และต้องอ้างอิงถึงเจ้าของเอกสารทุกครั้งที่มีการนำไปใช้

MOTOROLA
SEMICONDUCTOR
 TECHNICAL DATA

MC1408
MC1508

**EIGHT-BIT MULTIPLYING
 DIGITAL-TO-ANALOG CONVERTER**

... designed for use where the output current is a linear product of an eight-bit digital word and an analog input voltage.

- Eight-Bit Accuracy Available in Both Temperature Ranges
 Relative Accuracy: $\pm 0.19\%$ Error maximum
 (MC1408LB, MC1408PB, MC1508LB)
- Seven and Six-Bit Accuracy Available with MC1408 Designated by 7 or 6 Suffix after Package Suffix
- Fast Settling Time -- 300 ns typical
- Noninverting Digital Inputs are MTTL and CMOS Compatible
- Output Voltage Swing -- +0.4 V to -5.0 V
- High-Speed Multiplying Input
 Slew Rate 4.0 mA/ μ s
- Standard Supply Voltages: +5.0 V and -5.0 V to -15 V

**EIGHT-BIT MULTIPLYING
 DIGITAL-TO-ANALOG
 CONVERTER**

**SILICON MONOLITHIC
 INTEGRATED CIRCUIT**



**- L SUFFIX
 CERAMIC PACKAGE
 CASE 620**

**P SUFFIX
 PLASTIC PACKAGE
 CASE 648**



ORDERING INFORMATION

| Device | Temperature Range | Package |
|----------|-------------------|---------|
| MC1408PB | 0 to +75°C | Plastic |
| MC1408LB | | Ceramic |
| MC1508LB | -55 to -125°C | Ceramic |

FIGURE 1 -- D-to-A TRANSFER CHARACTERISTICS

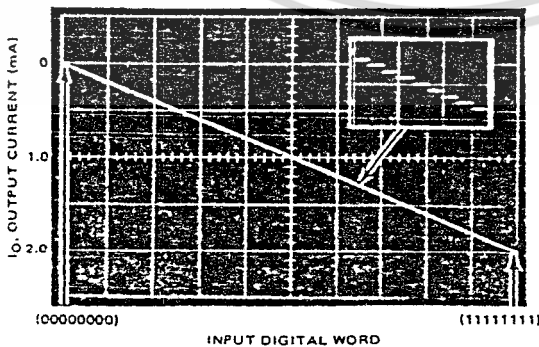
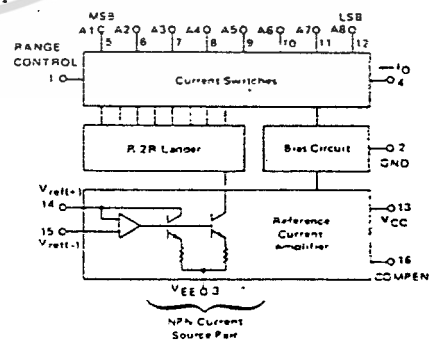


FIGURE 2 -- BLOCK DIAGRAM



เอกสารนี้เป็นเอกสารที่สงวนไว้สำหรับการใช้งานเพื่อการศึกษาเท่านั้น ไม่อนุญาตให้นำไปใช้ประโยชน์ด้านการค้า
 ไม่ว่ากรณีใดๆ ทั้งสิ้น อีกทั้งห้ามมิให้ดัดแปลงเนื้อหา และต้องอ้างอิงถึงเจ้าของเอกสารทุกครั้งที่มีการนำไปใช้

MC1408, MC1508

MAXIMUM RATINGS (T_A = +25°C unless otherwise noted.)

| Rating | Symbol | Value | Unit |
|--|-------------------------------------|-----------------------------------|------|
| Power Supply Voltage | V _{CC} V _{EE} | +5.5 -16.5 | Vdc |
| Digital Input Voltage | V ₅ thru V ₁₂ | 0 to +5.5 | Vdc |
| Applied Output Voltage | V _O | +0.5, -5.2 | Vdc |
| Reference Current | I ₁₄ | 5.0 | mA |
| Reference Amplifier Inputs | V ₁₄ , V ₁₅ | V _{CC} , V _{EE} | Vdc |
| Operating Temperature Range MC1508 MC1408 Series | T _A | -55 to +125 0 to +75 | °C |
| Storage Temperature Range | T _{stg} | -65 to +150 | °C |

ELECTRICAL CHARACTERISTICS (V_{CC} = +5.0 Vdc, V_{EE} = -15 Vdc, R₁₄ = 2.0 mA, MC1508L8: T_A = -55°C to -125°C, MC1408L Series: T_A = 0 to +75°C unless otherwise noted. All digital inputs at high logic level.)

| Characteristics | Figure | Symbol | Min | Typ | Max | Unit |
|--|--------|---------------------------------------|--------------|-------------------------|----------------------------|--------|
| Relative Accuracy (Error relative to full scale I _O) MC1508L, MC1408L8, MC1408P8 | 4 | E _r | — | — | ± 0.19 ± 0.39 ± 0.78 | % |
| Settling Time to within ± 1/2 LSB (includes t _{PHL}) (T _A = +25°C) (Note 2) | 5 | t _s | — | 300 | — | ns |
| Propagation Delay Time T _A = +25°C | 5 | t _{PHL} t _{PHL} | — | 30 | 100 | ns |
| Output Full Scale Current Drift | | TC _{IO} | — | -20 | — | PPM/°C |
| Digital Input Logic Levels (MSB) High Level: Logic "1" Low Level: Logic "0" | 3 | V _{IH} V _{IL} | 2.0 | — | — 0.8 | Vdc |
| Digital Input Current (MSB) High Level: V _{IH} = 5.0 V Low Level: V _{IL} = 0.8 V | 3 | I _{IH} I _{IL} | — | 0 -0.4 | 0.04 -0.8 | mA |
| Reference Input Bias Current (Pin 15) | 3 | I ₁₅ | — | -1.0 | -5.0 | µA |
| Output Current Range V _{EE} = -5.0 V V _{EE} = -15 V, T _A = 25°C | 3 | I _{OR} | 0 0 | 2.0 2.0 | 2.1 4.2 | mA |
| Output Current V _{REF} = 2.200 V, R ₁₄ = 1000 Ω | 3 | I _O | 1.9 | 1.99 | 2.1 | mA |
| Output Current (All Bits Low) | 3 | I _{O(min)} | — | 0 | 4.0 | µA |
| Output Voltage Compliance (E _r ≤ 0.19% at T _A = +25°C) Pin 1 Grounded Pin 1 Oper. V _{EE} below -10 V | 3 | V _O | — | — | -0.55, +0.4 -5.0, +0.4 | Vdc |
| Reference Current Slew Rate | 6 | SR I _{ref} | — | 4.0 | — | mA/µs |
| Output Current: Power Supply Sensitivity | | PSRR(-) | — | 0.5 | 2.7 | µA/V |
| Power Supply Current (All Bits Low) | 3 | I _{CC} I _{EE} | — | +13.5 -7.5 | +22 -13 | mA |
| Power Supply Voltage Range (T _A = +25°C) | 3 | V _{CCR} V _{VEER} | +4.5 -4.5 | +5.0 -15 | -5.5 -16.5 | Vdc |
| Power Dissipation All Bits Low V _{EE} = -5.0 Vdc V _{EE} = -15 Vdc All Bits High V _{EE} = -5.0 Vdc V _{EE} = -15 Vdc | 3 | PD | — | 105 190 90 160 | 170 305 — | mW |

Notes: 1. All current switches are tested to guarantee at least 50% of rated output current.
2. All bits switched.

เอกสารนี้เป็นเอกสารที่สงวนไว้สำหรับการใช้งานเพื่อการศึกษาเท่านั้น ไม่อนุญาตให้นำไปใช้ประโยชน์ด้านการค้า
ไม่ว่ากรณีใดๆ ทั้งสิ้น อีกทั้งห้ามมิให้ดัดแปลงเนื้อหา และต้องอ้างอิงถึงเจ้าของเอกสารทุกครั้งที่มีการนำไปใช้

MC1408, MC1508

TEST CIRCUITS

FIGURE 3 - NOTATION DEFINITIONS TEST CIRCUIT

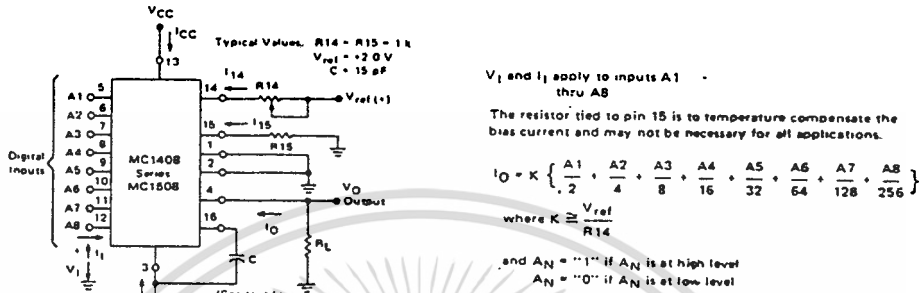


FIGURE 4 - RELATIVE ACCURACY TEST CIRCUIT

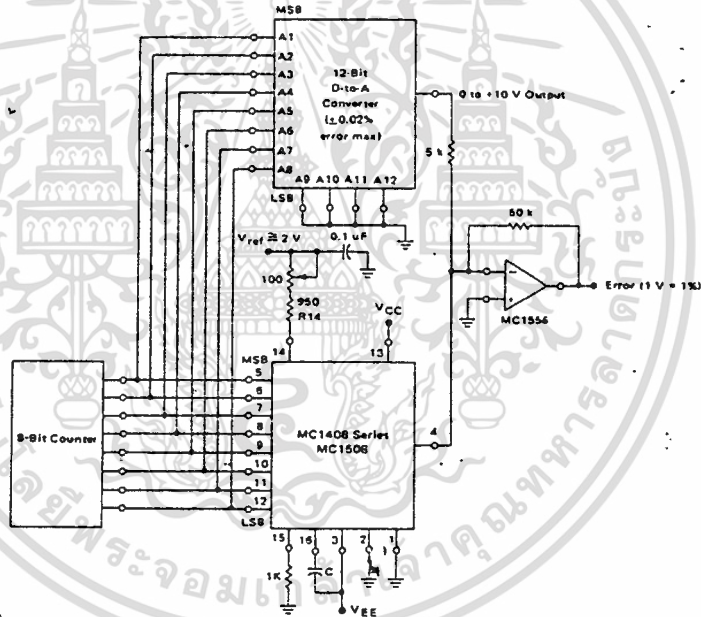
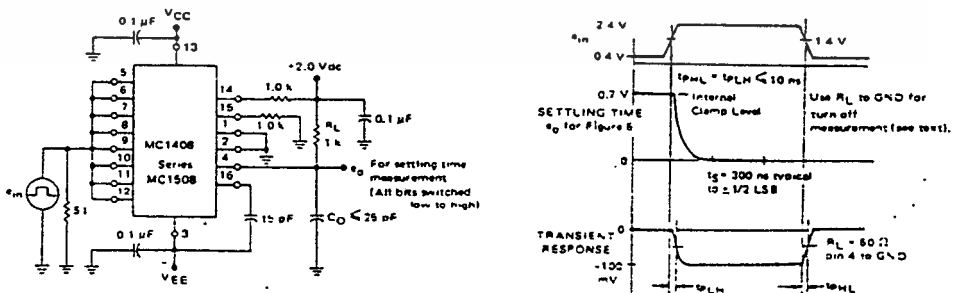


FIGURE 5 - TRANSIENT RESPONSE and SETTLING TIME



เอกสารนี้เป็นเอกสารที่สงวนไว้สำหรับการใช้งานเพื่อการศึกษาเท่านั้น ไม่อนุญาตให้นำไปใช้ประโยชน์ด้านการค้า
 ไม่ว่ากรณีใดๆ ทั้งสิ้น อีกทั้งห้ามมิให้ดัดแปลงเนื้อหา และต้องอ้างอิงถึงเจ้าของเอกสารทุกครั้งที่มีการนำไปใช้

MC1408, MC1508

TEST CIRCUITS (continued)

FIGURE 6 - REFERENCE CURRENT SLEW RATE MEASUREMENT

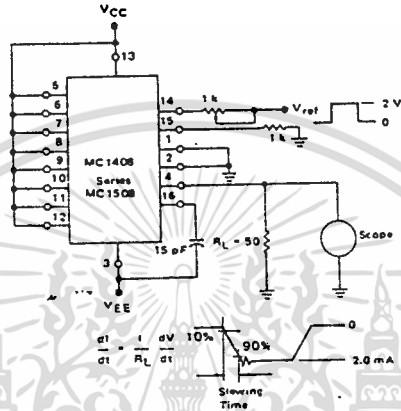


FIGURE 7 - POSITIVE V_{ref}

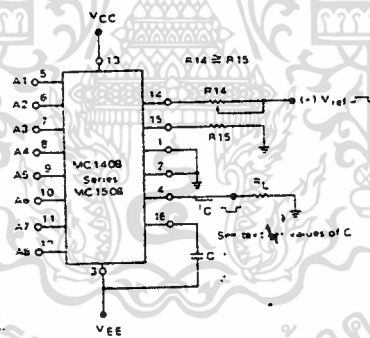
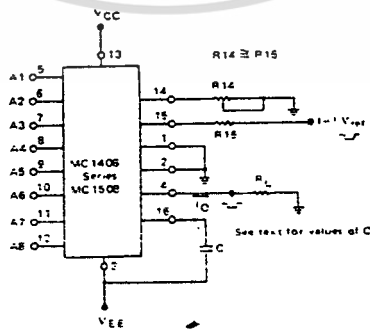


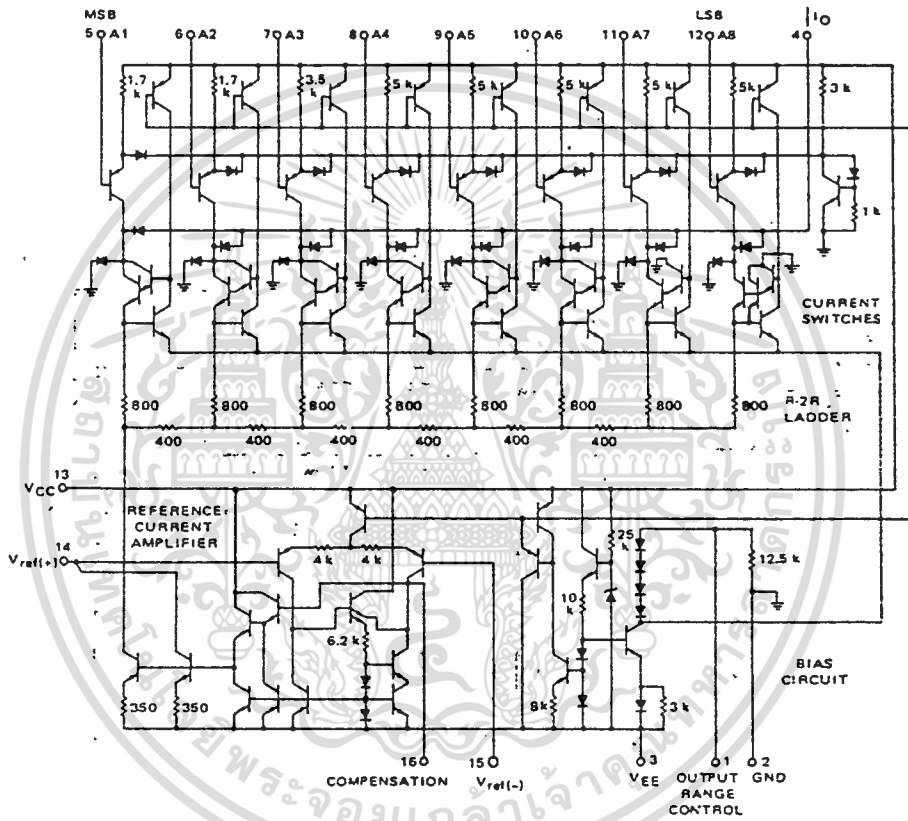
FIGURE 8 - NEGATIVE V_{ref}



เอกสารนี้เป็นเอกสารที่สงวนไว้สำหรับการใช้งานเพื่อการศึกษาเท่านั้น ไม่อนุญาตให้นำไปใช้ประโยชน์ด้านการค้า
ไม่ว่ากรณีใดๆ ทั้งสิ้น อีกทั้งห้ามมิให้ตัดแปลงเนื้อหา และต้องอ้างอิงถึงเจ้าของเอกสารทุกครั้งที่มีการนำไปใช้

MC1408, MC1508

FIGURE 9 - MC1408, MC1508 SERIES EQUIVALENT
CIRCUIT SCHEMATIC
DIGITAL INPUTS



CIRCUIT DESCRIPTION

The MC1408 consists of a reference current amplifier, an R-2R ladder, and eight high-speed current switches. For many applications, only a reference resistor and reference voltage need be added.

The switches are noninverting in operation, therefore a high state on the input turns on the specified output current component. The switch uses current steering for high speed, and a termination amplifier consisting of an active load gain stage with unity gain feedback. The termination amplifier holds the parasitic capacitance of the ladder at a constant voltage during switching, and provides

a low impedance termination of equal voltage for all legs of the ladder.

The R-2R ladder divides the reference amplifier current into binary-related components, which are fed to the switches. Note that there is always a remainder current which is equal to the least significant bit. This current is shunted to ground, and the maximum output current is 255/256 of the reference amplifier current, or 1.992 mA for a 2.0 mA reference amplifier current if the NPN current source pair is perfectly matched.

Switchmode Pulse Width Modulation Control Circuit

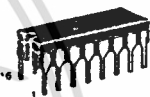
The TL494 is a fixed frequency, pulse width modulation control circuit designed primarily for SWITCHMODE power supply control.

This device features:

- Complete Pulse Width Modulation Control Circuitry
- On-Chip Oscillator with Master or Slave Operation
- On-Chip Error Amplifiers
- On-Chip 5.0 V Reference
- Adjustable Dead-Time Control
- Uncommitted Output Transistors Rated to 500 mA Source or Sink
- Output Control for Push-Pull or Single-Ended Operation
- Undervoltage Lockout

**SWITCHMODE
PULSE WIDTH MODULATION
CONTROL CIRCUIT**

**SILICON MONOLITHIC
INTEGRATED CIRCUITS**

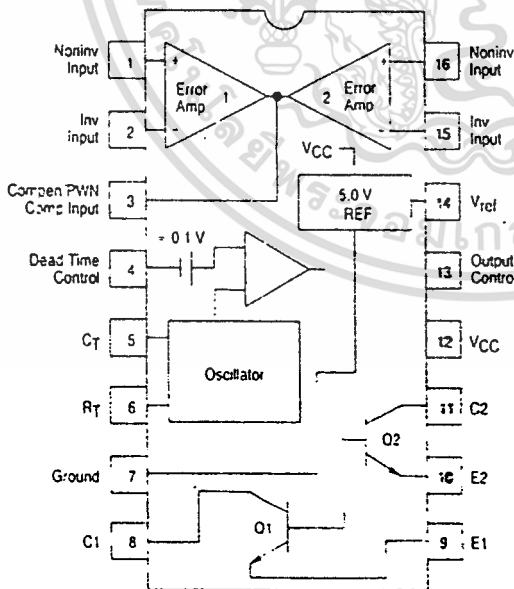


**J SUFFIX
CERAMIC PACKAGE
CASE 620**



**N SUFFIX
PLASTIC PACKAGE
CASE 648**

PIN CONNECTIONS



ORDERING INFORMATION

| Device | Temperature Range | Package |
|---------|-------------------|---------|
| TL494CN | 0° to +70°C | Plastic |
| TL494CJ | | Ceramic |
| TL494IN | -25 to +85°C | Plastic |
| TL494IJ | | Ceramic |
| TL494LJ | -55 to +125°C | Ceramic |

TL494

MAXIMUM RATINGS (Full operating ambient temperature range applies, unless otherwise noted.)

| Rating | Symbol | TL494C | TL494I | TL494M | Unit |
|---|-----------------------------------|-----------------|-------------|-------------|------|
| Power Supply Voltage | V _{CC} | 42 | | | V |
| Collector Output Voltage | V _{C1} , V _{C2} | 42 | | | V |
| Collector Output Current (Each transistor) (Note 1) | I _{C1} , I _{C2} | 500 | | | mA |
| Amplifier Input Voltage Range | V _{IR} | -0.3 to +42 | | | V |
| Power Dissipation @ T _A ≤ 45°C | P _D | 1000 | | | mW |
| Operating Junction Temperature | T _J | Plastic Package | 125 | — | °C |
| | | Ceramic Package | 150 | | |
| Storage Temperature Range | T _{stg} | Plastic Package | -55 to +125 | — | °C |
| | | Ceramic Package | -65 to +150 | | |
| Operating Ambient Temperature Range | T _A | 0 to +70 | -25 to +85 | -55 to +125 | °C |

NOTES: 1. Maximum thermal limits must be observed.

THERMAL CHARACTERISTICS

| Characteristics | Symbol | N Suffix | J Suffix | Unit |
|---|------------------|----------|----------|------|
| Thermal Resistance, Junction to Ambient | R _{θJA} | 80 | 100 | °C/W |
| Derating Ambient Temperature | T _A | 45 | 50 | °C |

RECOMMENDED OPERATING CONDITIONS

| Condition/Value | Symbol | TL494 | | | Unit |
|--|-----------------------------------|--------|-------|-----------------------|------|
| | | Min | Typ | Max | |
| Power Supply Voltage | V _{CC} | 7.0 | 15 | 40 | V |
| Collector Output Voltage | V _{C1} , V _{C2} | — | 30 | 40 | V |
| Collector Output Current (Each transistor) | I _{C1} , I _{C2} | — | — | 200 | mA |
| Amplifier Input Voltage | V _{in} | -0.3 | — | V _{CC} - 2.0 | V |
| Current Into Feedback Terminal | I _{fb} | — | — | 0.3 | mA |
| Reference Output Current | I _{ref} | — | — | 10 | mA |
| Timing Resistor | R _T | 1.8 | 30 | 500 | kΩ |
| Timing Capacitor | C _T | 0.0047 | 0.001 | 10 | μF |
| Oscillator Frequency | f _{osc} | 1.0 | 40 | 200 | kHz |

เอกสารนี้เป็นเอกสารที่สงวนไว้สำหรับการใช้งานเพื่อการศึกษาเท่านั้น ไม่อนุญาตให้นำไปใช้ประโยชน์ด้านการค้า
ไม่ว่ากรณีใดๆ ทั้งสิ้น อีกทั้งห้ามมิให้ดัดแปลงเนื้อหา และต้องอ้างอิงถึงเจ้าของเอกสารทุกครั้งที่มีการนำไปใช้

TL494

ELECTRICAL CHARACTERISTICS ($V_{CC} = 15\text{ V}$, $C_T = 0.01\ \mu\text{F}$, $R_T = 12\ \text{k}\Omega$ unless otherwise noted.)

For typical values $T_A = 25^\circ\text{C}$, for min/max values T_A is the operating ambient temperature range that applies, unless otherwise noted.

| Characteristics | Symbol | TL494C,I | | | TL494M | | | Unit |
|---|------------------------------|----------|------------|------------|--------|------------|------------|---------------------|
| | | Min | Typ | Max | Min | Typ | Max | |
| REFERENCE SECTION | | | | | | | | |
| Reference Voltage ($I_O = 1.0\ \text{mA}$) | V_{ref} | 4.75 | 5.0 | 5.25 | 4.75 | 5.0 | 5.25 | V |
| Line Regulation ($V_{CC} = 7.0\ \text{V}$ to $40\ \text{V}$) | Reg_{line} | — | 2.0 | 25 | — | 2.0 | 25 | mV |
| Load Regulation ($I_O = 1.0\ \text{mA}$ to $10\ \text{mA}$) | Reg_{load} | — | 3.0 | 15 | — | 3.0 | 15 | mV |
| Short Circuit Output Current ($V_{ref} = 0\ \text{V}$) | I_{SC} | 15 | 35 | 75 | 15 | 35 | 75 | mA |
| OUTPUT SECTION | | | | | | | | |
| Collector Off-State Current ($V_{CC} = 40\ \text{V}$, $V_{CE} = 40\ \text{V}$) | $I_{C(off)}$ | — | 2.0 | 100 | — | 2.0 | 100 | μA |
| Emitter Off-State Current ($V_{CC} = 40\ \text{V}$, $V_C = 40\ \text{V}$, $V_E = 0\ \text{V}$) | $I_{E(off)}$ | — | — | -100 | — | — | -150 | μA |
| Collector-Emitter Saturation Voltage (Note 2) Common-Emitter ($V_E = 0\ \text{V}$, $I_C = 200\ \text{mA}$) Emitter-Follower ($V_C = 15\ \text{V}$, $I_E = -200\ \text{mA}$) | $V_{sat(C)}$ $V_{sat(E)}$ | — — | 1.1 1.5 | 1.3 2.5 | — — | 1.1 1.5 | 1.5 2.5 | V |
| Output Control Pin Current Low State ($V_{OC} \leq 0.4\ \text{V}$) High State ($V_{OC} = V_{ref}$) | I_{OCL} I_{OCH} | — — | 10 0.2 | — 3.5 | — — | 10 0.2 | — 3.5 | μA mA |
| Output Voltage Rise Time Common-Emitter (See Figure 12) Emitter-Follower (See Figure 13) | t_r | — — | 100 100 | 200 200 | — — | 100 100 | 200 200 | ns |
| Output Voltage Fall Time Common-Emitter (See Figure 12) Emitter-Follower (See Figure 13) | t_f | — — | 25 40 | 100 100 | — — | 25 40 | 100 100 | ns |

NOTE: 2. Low duty cycle pulse techniques are used during test to maintain junction temperature as close to ambient temperature as possible.

เอกสารนี้เป็นเอกสารที่สงวนไว้สำหรับการใช้งานเพื่อการศึกษาเท่านั้น ไม่อนุญาตให้นำไปใช้ประโยชน์ด้านการค้า
ไม่ว่ากรณีใดๆ ทั้งสิ้น อีกทั้งห้ามมิให้ดัดแปลงเนื้อหา และต้องอ้างอิงถึงเจ้าของเอกสารทุกครั้งที่มีการนำไปใช้

TL494

| Characteristics | Symbol | TL494 | | | Unit |
|--|-----------------------------|----------------------|------------|----------|------|
| | | Min | Typ | Max | |
| ERROR AMPLIFIER SECTION | | | | | |
| Input Offset Voltage (V_O (Pin 3) = 2.5 V) | V_{IO} | — | 2.0 | 10 | mV |
| Input Offset Current (V_O (Pin 3) = 2.5 V) | I_{IO} | — | 5.0 | 250 | nA |
| Input Bias Current (V_O (Pin 3) = 2.5 V) | I_{IB} | — | -0.1 | -1.0 | μA |
| Input Common Mode Voltage Range ($V_{CC} = 40$ V, $T_A = 25^\circ\text{C}$) | V_{ICR} | -0.3 to $V_{CC}-2.0$ | | | V |
| Open-Loop Voltage Gain ($\Delta V_O = 3.0$ V, $V_O = 0.5$ V to 3.5 V, $R_L = 2.0$ kΩ) | A_{VOL} | 70 | 95 | — | dB |
| Unity-Gain Crossover Frequency ($V_O = 0.5$ V to 3.5 V, $R_L = 2.0$ kΩ) | f_{C-} | — | 350 | — | kHz |
| Phase Margin at Unity-Gain ($V_O = 0.5$ V to 3.5 V, $R_L = 2.0$ kΩ) | ϕ_m | — | 65 | — | deg. |
| Common Mode Rejection Ratio ($V_{CC} = 40$ V) | CMRR | 65 | 90 | — | dB |
| Power Supply Rejection Ratio ($\Delta V_{CC} = 33$ V, $V_O = 2.5$ V, $R_L = 2.0$ kΩ) | PSRR | — | 100 | — | dB |
| Output Sink Current (V_O (Pin 3) = 0.7 V) | I_{O-} | 0.3 | 0.7 | — | mA |
| Output Source Current (V_O (Pin 3) = 3.5 V) | I_{O+} | 2.0 | 4.0 | — | mA |
| PWM COMPARATOR SECTION (Test Circuit Figure 11) | | | | | |
| Input Threshold Voltage (Zero Duty Cycle) | V_{TH} | — | 2.5 | 4.5 | V |
| Input Sink Current ($V_{Pin 3} = 0.7$ V) | I_{-} | 0.3 | 0.7 | — | mA |
| DEAD-TIME CONTROL SECTION (Test Circuit Figure 11) | | | | | |
| Input Bias Current (Pin 4) ($V_{Pin 4} = 0$ V to 5.25 V) | $I_{IB (DT)}$ | — | -2.0 | -10 | μA |
| Maximum Duty Cycle, Each Output, Push-Pull Mode ($V_{Pin 4} = 0$ V, $C_T = 0.01$ μF, $R_T = 12$ kΩ) ($V_{Pin 4} = 0$ V, $C_T = 0.001$ μF, $R_T = 30$ kΩ) | DCmax | 45 | 48 45 | 50 50 | % |
| Input Threshold Voltage (Pin 4) (Zero Duty Cycle) (Maximum Duty Cycle) | V_{TH} | — 0 | 2.8 | 3.3 | V |
| OSCILLATOR SECTION | | | | | |
| Frequency ($C_T = 0.001$ μF, $R_T = 30$ kΩ) | f_{osc} | — | 40 | — | kHz |
| Standard Deviation of Frequency* ($C_T = 0.001$ μF, $R_T = 30$ kΩ) | σ_{osc} | — | 3.0 | — | % |
| Frequency Change with Voltage ($V_{CC} = 7.0$ V to 40 V, $T_A = 25$ °C) | $\Delta f_{osc} (\Delta V)$ | — | 0.1 | — | % |
| Frequency Change with Temperature ($\Delta T_A = T_{low}$ to T_{high}) ($C_T = 0.01$ μF, $R_T = 12$ kΩ) | $\Delta f_{osc} (\Delta T)$ | — | — | 12 | % |
| UNDERVOLTAGE LOCKOUT SECTION | | | | | |
| Turn-On Threshold (V_{CC} increasing, $I_{ref} = 1.0$ mA) | V_{th} | 5.5 | 6.43 | 7.0 | V |
| TOTAL DEVICE | | | | | |
| Standby Supply Current (Pin 6 at V_{ref} , All other inputs and outputs open) ($V_{CC} = 15$ V) ($V_{CC} = 40$ V) | I_{CC} | — — | 5.5 7.0 | 10 15 | mA |
| Average Supply Current ($C_T = 0.01$ μF, $R_T = 12$ kΩ ($V_{Pin 4} = 2.0$ V) $V_{CC} = 15$ V) (See Figure 12) | — | — | 7.0 | — | mA |

* Standard deviation is a measure of the statistical distribution about the mean as derived from the formula:

$$\sigma = \sqrt{\frac{\sum_{n=1}^N (x_n - \bar{x})^2}{N-1}}$$

เอกสารนี้เป็นเอกสารที่สงวนไว้สำหรับการใช้งานเพื่อการศึกษาเท่านั้น ไม่อนุญาตให้นำไปใช้ประโยชน์ด้านการค้า
ไม่ว่ากรณีใดๆ ทั้งสิ้น อีกทั้งห้ามมิให้ดัดแปลงเนื้อหา และต้องอ้างอิงถึงเจ้าของเอกสารทุกครั้งที่มีการนำไปใช้

TL494

Figure 1. Block Diagram

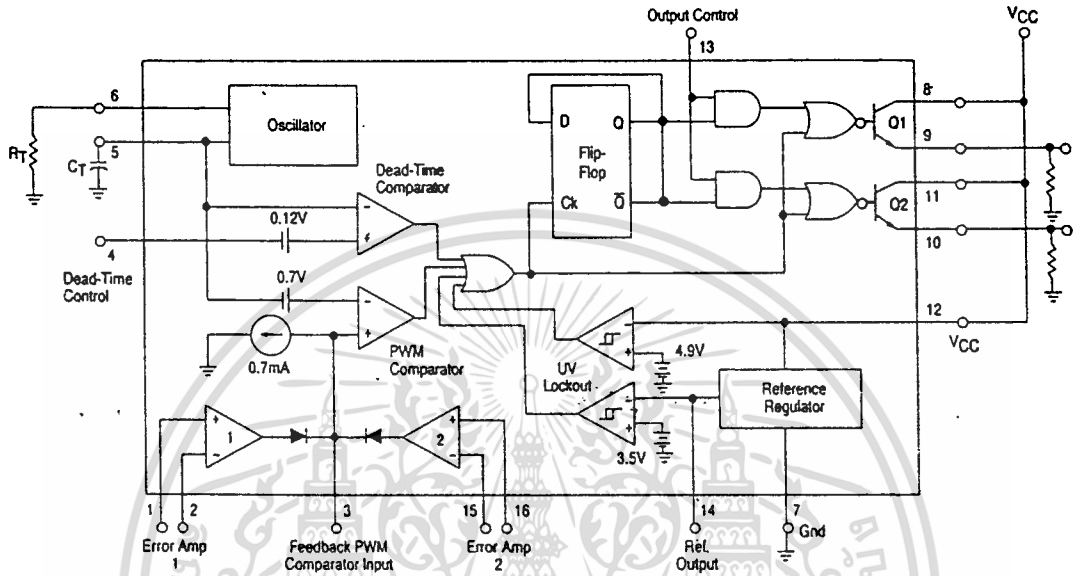
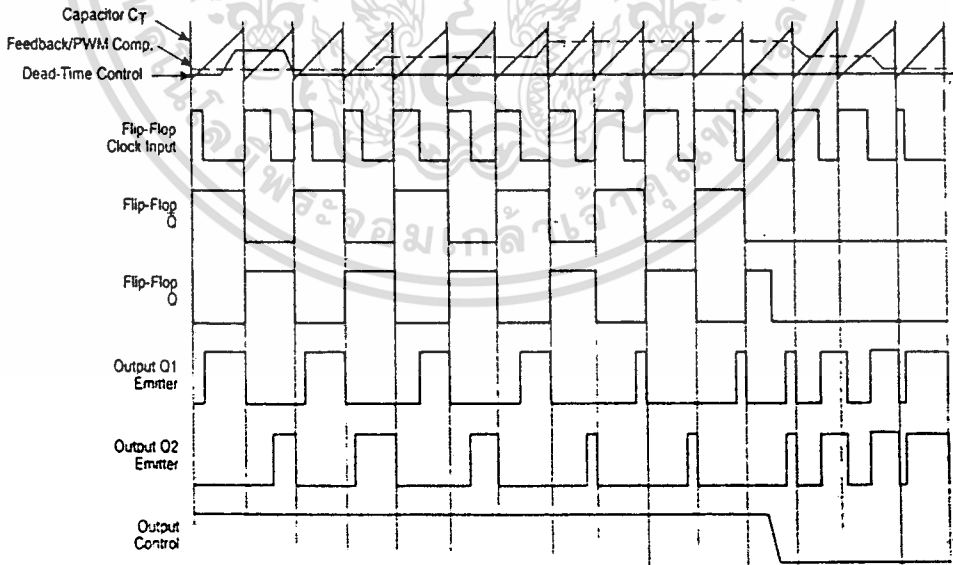


Figure 2. Timing Diagram



เอกสารนี้เป็นเอกสารที่สงวนไว้สำหรับการใช้งานเพื่อการศึกษาเท่านั้น ไม่อนุญาตให้นำไปใช้ประโยชน์ด้านการค้า
ไม่ว่ากรณีใดๆ ทั้งสิ้น อีกทั้งห้ามมิให้ตัดแปลงเนื้อหา และต้องอ้างอิงถึงเจ้าของเอกสารทุกครั้งที่มีการนำไปใช้

กิติกรรมประกาศ

โครงการรถหลบหลีกสิ่งกีดขวางอัตโนมัติ จะสำเร็จลงด้วยดีไม่ได้ถ้าหากขาดซึ่งบุคคลเหล่านี้

ดร. กิติพล ชิตสกุล ผู้จัดทำขอขอบคุณสำหรับคำแนะนำต่าง ๆ ซึ่งเป็นประโยชน์อย่างมากในการดำเนินโครงการ และการแก้ไขปัญหาที่เกิดขึ้น

อ. นพดล ผู้ซึ่งคอยดูแลและให้คำปรึกษาที่คืออยู่เสมอ

เพื่อน ๆ ทุกคนที่คอยเป็นกำลังใจ และให้ความช่วยเหลือตลอดเวลาที่ได้อยู่ร่วมกัน



เอกสารนี้เป็นเอกสารที่สงวนไว้สำหรับการใช้งานเพื่อการศึกษาเท่านั้น ไม่อนุญาตให้นำไปใช้ประโยชน์ด้านการค้า
ไม่ว่ากรณีใดๆ ทั้งสิ้น อีกทั้งห้ามมิให้ตัดแปลงเนื้อหา และต้องอ้างอิงถึงเจ้าของเอกสารทุกครั้งที่มีการนำไปใช้

หนังสืออ้างอิง

1. ทนง โชติสรยุทธ์, "เทคนิคการใช้งานอุลตราโซนิคทรานสดิวเซอร์สำหรับนักทดลอง", วารสารเซมิคอนดักเตอร์อิเล็กทรอนิกส์, ฉบับที่ 44, เมษายน 2524
2. ประเมษฐ์ ประณยานันท์, ปิยพงศ์ เผ่าวิช, "คู่มือและการประยุกต์ใช้งานไมโครคอนโทรลเลอร์ MCS-51"
3. ดร. โยธิน เปรมปราชญ์, "วิเคราะห์และออกแบบระบบควบคุมมอเตอร์", กันยายน 2526
4. วิสุทธิ์ อัสวนนทวงศ์, "พื้นฐาน A/D และ D/A คอนเวอร์เตอร์", วารสารอิเล็กทรอนิกส์เวสต์, ฉบับที่ 135, 2535
5. ศักดิ์ศรี แซ่โล้ว, "เครื่องวัดระยะทางด้วยคลื่นอุลตราโซนิค", วารสารเซมิคอนดักเตอร์อิเล็กทรอนิกส์, ฉบับที่ 58, มกราคม 2527